Masterarbeit

Entwicklung und Evaluation eines Datenerfassungssystems für Arraymessungen am Vulkan.

Rick Plescher



MASTERARBEIT

ENTWICKLUNG UND EVALUATION EINES DATENERFASSUNGSSYSTEMS FÜR ARRAYMESSUNGEN AM VULKAN.

erstellt von

Rick Plescher





Erstgutachter: Prof. Dr. Stefan Weinzierl, TU Berlin Zweigutachterin: Katja Stampka M.Sc., TU Berlin

Thema ausgegeben am: 13.10.2014 Arbeit abzugeben bis zum 11.05.2014 Arbeit abgegeben am: 11.05.2014

> Technische Universität Berlin Fakultät I Geisteswissenschaften Institut für Sprache und Kommunikation Fachgebiet Audiokommunikation



EIDESSTATTLICHE ERKLÄRUNG

Hiermit erkläre ich, dass ich die vorliegende Arbeit selbstständig sowie ohne unerlaubte fremde Hilfe und ausschließlich unter Verwendung der aufgeführten Quellen und Hilfsmittel angefertigt habe.

Berlin, d. 11.05.2015, Rick Plescher

INHALTSVERZEICHNIS

Ab	bbildungsverzeichnis					
Ta	belle	enverzeichnis	v			
Ab	kürz	zungsverzeichnis	vii			
1		leitung Problemstellung und Motivation	1 2 2 5			
2	2.1 2.2	Akustik von Vulkanen Datenerfassung. 2.2.1 Sensoren 2.2.2 Signalkonditionierung 2.2.3 Messkabel. 2.2.4 Hardware 2.2.5 Software. Digitale Signalverarbeitung Arraymesstechnik	7 8 10 13 17 18 21 21 24			
3	Entv 3.1 3.2	wicklung eines mobilen Datenerfassungssystems Anforderungen und zeitlicher Ablauf der Entwicklung Mobile Array Measurement System 3.2.1 Sensoren 3.2.2 Datenerfassung. 3.2.3 Messkabel. 3.2.4 Host-PC. 3.2.5 Messssoftware 3.2.6 Stromversorgung. 3.2.7 Gehäuse.	27 29 30 31 35 36 36 50 52			
4	4.1	luation des mobilen Datenerfassungssystems Evaluation der Software	53 54 54 55 55 56 61			
5	Fazit und Ausblick 63					
T i4	itaraturyarzaichnis 65					

ii Inhaltsverzeichnis

A	Anh	nang	67
	A.1	MATLAB-Files	67
		A.1.1 MAMS Software-Applikation	67

ABBILDUNGSVERZEICHNIS

2.1	Funktionsdiagramm eines PC-basierten DAQ-Systems [1]	9
2.2	Prinzipschaltung eines Kondensatormikrofon [2]	10
2.3	Theoretischer Frequenzverlauf eines elektrostatischen Druck-Auslenkungsempfänger	
	für ebene einfallende Schallwellen [3]	12
2.4	Prinzipielle Schaltung eines IEPE-Sensors mit einer Konstantstromquelle zur Signal-konditionierung [4].	14
2.5	Darstellung eines aufmodulierten Messsignals eines IEPE-Sensors [5]	15
2.6	Aussteuerungsgrenze eines IEPE-Sensors in Abhängigkeit der angeschlossenen Kabelkapazität, dem Speisestrom und der zu untersuchenden Frequenz [5].	16
2.7	Verstärkung eines IEPE-Sensors in Abhängigkeit der angeschlossenen Kabelkapazität,des Konstantstroms und der zu untersuchenden Frequenz [5]	16
2.8	Aufbau eines $\Delta\Sigma$ -Wandler 1. Ordnung [6]	19
	Übertragungsfunktion des Noiseshaping 1./2. und 3. Ordnung [6]	20
	Vergleich des Signalverlaufs eines zeitdiskreten Signals mit hoher und niedriger Amplitudenauflösung (links) und des dazugehörigen Quantisierungsfehlers (rechts)[7]	22
2.11	Darstellung der prinzipiellen Elemente eines FFT-Prozessors[8]	24
3.1	Übersicht über das MAMS	29
3.2	Blockdiagramm der wesentlichen Komponenten der DT9837B-Module	31
3.3	Aufbau von vier DT9837B-Modulen im Labor	34
3.4	Interaktionsdiagramm der Komponenten der DAQ-Hard- und Software unter Verwendung von MATLAB[7]	37
3.5	Zusammenhang zwischen Device Objekt und Hardware Subsystem [7]	38
	Zuordnung von Objekten im MATLAB Workspace und der DAQ-Engine [7]	39
3.7	Hardware Channel IDs und Matlab Index[7]	39
3.8	Extraktion von Messdaten aus der DAQ-Engine mit peekdata()[7]	40
	Extraktion von Messdaten mit getdata()[7]	40
	Datenflussmodell zwischen Data Translation Open Layer Struktur und MATLAB [9]	42
	Auswahlfenster der editMicrophoneData()-Funktion.	44
	Auswahl der gewünschten Abtastrate der aktuellen MAMS-Messung.	44
	Darstellung der MAMS-GUI und der Signalverlaufs-GUI nachdem eine Messung be-	
	endet wurde.	47
	Auswahlfenster des zu kalibrierenden Mikrofons der MAMS-Software-Applikation	48
3.15	Darstellung des Kalibrierfenster einer erfolgreichen Pegelkalibrierung innerhalb der	
	MAMS-Software-Applikation	51
3.16	Erster Gehäuse-Prototyp des MAMS.	52
4.1	Darstellung der Zeitsignals und des Spektrum eines Referenzton mit unterschiedli- chen Amplituden	54
4.2	Messaufbau zur Bestimmung von Synchronisationsabweichungen im RAR der TU Ber-	
4.2	lin (links, Mikrofonarray; rechts, Lautsprecher).	56
4.3	Vollständig aufgebautes MAMS mit neuem Gehäuse (Pelicase, rechts)	57

4.4	Gemessene Werte für das SNR, SINAD, THD, SFDR und ENOB in Abhängigkeit der	
	Signalfrequenz gemittelt über 4 Kanäle mit je vier Messungen mit einer Dauer von	
	jeweils 5 Sekunden(Hanning-Fensterung)	58
4.5	Darstellung des FFT-Spektrums zur Ermittlung des THD eines übersteuerten 1 kHz	
	Sinus-Signals gemessen mit einen DT9837B-Modul	59
4.6	Gemessene Werte für das SNR, SINAD, THD, SFDR und ENOB in Abhängigkeit der	
	Eingangsamplitude gemittelt über 16 Kanäle mit je vier Messungen mit einer Dauer	
	von jeweils 5 Sekunden(Hanning-Fensterung).	60
4.7	Messort des Mirkofonarray am einem Gipfel gegenüber des Vulkans Stromboli	62
4.8	Mit dem MAMS erfasste akustische Signale des Stromboli-Vulkan vom 18.05.2014	62

TABELLENVERZEICHNIS

3.1	Zusammenfassung der wichtigsten elektrischen und mechanischen Merkmale der PCB	
	378B02 Mikrofone	30
3.2	Zusammenfassung der wichtigsten Eigenschaften des DT9837B USB-Messgerät (ge-	
	mäß Hersteller-Datenblatt [9])	34
3.3	Zusammenfassung der Ausstattung des Host-PC (Lenovo Thinkpad X230)	36
3.4	Auswahl von Eventtypen und dazugehörige Callback-Funktionen	41
3.5	Leistungsbedarf der Komponenten des MAMS	51
4.1	Messergebnisse des FFT-Analysator Test für die Kalibrierung.	55

ABKÜRZUNGSVERZEICHNIS

AI Analog Input

API Application programming interface

BAcIO The 2014 Broadband Acquisition and Imaging Operation (BAcIO) at Stromboli

Volcano (Italy)

BNC Bayonet Neill Concelman
CCP Constant Current Power

CMOS-FET complementary metal-oxide-semiconductor field-effect transistor

DAC Digital to Analog Converter

DAQ Data Acquisition bzw.

dBc Decibel below Carrier

dBFS Decibel below Full Scale

DFT diskrete Fouriertransformation
DTOL Data Translation Open Layer
ENOB Effective Number of Bits

FFT Fast Fourier Transformation

FIFO First In First Out

FPGA Field Programable Gate Array

GUI Graphial User Interface

IDFT Inverse Diskrete Fouriertransformation
IEPE Integrated Electronics Piezo Electric

INGV Istituto Nazionale di Geofisica e Vulcanologia ISTA Institut für Technische Akustik (der TU Berlin)

LSB Least Significant Bit

MAMS Mobile Array Measurement System

PLL Phased Locked Loop

RAR (Schall-)Reflexionsarmer Raum
SFDR Spurios Free Dynamic Distortion
SINAD Signal to Noise and Distortion Ratio

SH Sample-and-Hold(-Glied)
SNR Signal to Noise Ratio

THD Total Harmonic Distortion
UTC Universal Time, Coordinated

VERTIGO Volcanic ash: Field, experimental and numerical investigations of processes during

its lifecycle

1

EINLEITUNG

Sinabung, Villarrica, Sakurajima, Shiveluch, Turrialba und der Pico de Fogo sind Namen von Vulkanen mit größeren explosionsartigen Ausbrüchen in den vergangenen Jahren. Einer der wohl bekanntesten Vulkane der letzten Jahre ist der Eyjafjallajökull in Island der mit seinen Eruptionen zwischen April und Mai 2010 zu einer bis dahin nicht gekannten Beeinträchtigung des europäischen Flugverkehrs führte. Grund dafür war die Vulkanasche, welche in einer Höhe zwischen vier bis sechs Kilometer [10] geworfen wurde. Durch die Aschepartikel in der Luft können große Schäden an der Außenhaut der Flugzeuge und der Triebwerke entstehen. Die präventive Einschränkung des europäischen Luftraumes führte zu einem großen wirtschaftlichen Schaden. Die Auswirkungen der Asche beschränken sich nicht nur auf den Luftraum, sondern wirken sich auch auf die in der Nähe eines Vulkans lebenden Menschen aus. Die Infrastruktur kann ebenfalls durch die Asche beschädigt werden und die Gesundheit der Menschen in Mitleidenschaft ziehen.

Die Gefahr die durch die Vulkane entsteht kann nicht verhindert oder kontrolliert werden. Aus diesem Grund ist es wichtig zu verstehen wie die Vulkanasche entsteht und wie sie sich ausbreitet [11]. Die Bedeutung der Gefahren der Vulkanasche anerkennend fördert die Europäische Union seit Januar 2014 das Forschungsprojekt VERTIGO. Ein internationales Netzwerk aus Universitäten und Unternehmen der Luft- und Raumfahrttechnik untersuchen die vielfältigen Aspekte der Vulkanasche. Ziel des Projektes ist es die Entstehung und Auswirkungen der Vulkanasche durch Simulationen, Experimente und Messungen im Feld besser zu verstehen. Die Technische Universität Berlin ist als assoziierter Partner ebenfalls an dem Projekt beteiligt. Die wissenschaftliche Vertretung der TU Berlin erfolgt durch Prof. Dr. Sesterhenn dem Leiter des Fachgebiets für Numerische Fluiddynamik.

Das Forschungsinteresse liegt in der Analyse der vulkanische Eruptionen unter Berücksichtigung der Kenntnisse der Strömungsakustik. Bei einem Vulkanausbruch ist der subjektive Eindruck des dabei entstehenden Geräusche ähnlich wie bei denen die bei einem Flugzeugtriebwerk entstehen. Die Geräusche beim Betrieb eines Flugzeugtriebwerk entstehen durch die turbulenten Vermischung der ausströmende Luft von der Düse und der umliegenden Luft in der Atmosphäre. Diese Art der Strömung wird auch als Freistrahl, turbulenter Freistrahl oder turbulente Strömung bezeichnet. Die Eigenschaften eines Freistrahls sind in den letzten Jahren sehr gut untersucht und dokumentiert worden. Die Kenntnisse über den Freistrahl wurden unter anderem durch die Verwendung von mehrkanaligen Mikrofon-Arrays erreicht, mit denen es Möglichem ist die Verteilung von Schallquellen zu analysieren. Die akustische Analyse von vulkanischen Ausbrüchen mithilfe eines Mikrofonarrays war Ziel einer Forschungsexpedition im Mai 2013 am Stromboli Vulkan, bei der Wissenschaftler der TU Berlin beteiligt waren [12]. Der Vulkan auf der gleichnamigen Insel ist aufgrund seiner regelmäßigen Aktivitäten ein beliebtes Forschungsobjekt für vulkanische Untersuchungen. Mithilfe des Mikrofonarrays sollte das vom Vulkan bei Ausbrüchen erzeugte Schallfeld analysiert werden und

2 1. EINLEITUNG

anhand der vorhanden Schallquellstrukturen die Ausströmgeschwindigkeit der Eruption bestimmt werden. Die akustische Analyse eines Vulkans mit einem Mikrofonarray im Nahbereich eines Vulkan stellt einen neuen Untersuchungsansatz in der Vulkanologie dar. Dadurch stellte sich dieses Expedition für die Wissenschaftler der TU Berlin auch als "[...] Überblicksmessung [mit dem] Ziel [war es] den Frequenzbereich der Vulkanausbrüche zu bestimmen, um daraus die Geometrie für ein zukünftiges Array bestimmen zu können [...] "[12]. Erste Ergebnisse zeigten das einige Vulkanausbrüche des Stromboli Eigenschaften eines Freistrahls aufweisen, jedoch verfasst die Autorin auch eine notwendige Optimierung des Array um eine höhere Mikrofon Anzahl und ein größere Array-Geometrie [12, S.857].

1.1. PROBLEMSTELLUNG UND MOTIVATION

Die vorliegende Arbeit entstand als weiterführende Arbeit zu den Messungen von [12]. Im Mai 2014 sollte eine erneute Forschungsexpedition der VERTIGO-Gruppe mit Beteiligung der TU Berlin (Fachgebiet Numerische Fluiddynamik) erfolgen. Aufgrund der Erfahrungen der letzten Expeditionen waren die Schwierigkeiten und Probleme hinsichtlich dem bisher verwendeten Messsystem und der Messumgebung bekannt. Als große Schwierigkeit stellt sich die Erreichbarkeit des Messorts dar. Die Krater des Vulkans liegen auf einer Höhe von etwas 920 m ü.N.N. welche nur zu Fuß mit einem ca. drei stündigen Aufstieg erreicht werden können. Daher kann nur ein begrenztes Gewicht auf dem Rücken transportiert werden. Außerdem muss das gesamte Messsystem Batterie betrieben mehrere Stunden arbeiten. Als Messsystem wurde während der letzte Expedition der Multikanal Analysator OR38 mit 32 Eingangskanälen der Firma OROS verwendet. Aufgrund seines hohen Gewichts von etwa 8 kg ist der Analysator nicht gut für den Aufstieg geeignet. Neben dem hohen Gewicht hat sich als großer Nachteil auch der hohen Leistungsbedarf von maximal 100 W als nachteilig für eine lange Messzeit während des Batteriebetriebs herausgestellt. Ein Betrieb des Messsystems über eine Zeit von zehn Stunden ist so nur mit Akkus mit einer hohen Kapazität von mehr als 1000 W h möglich ist

Um während der Expedition BAcIO [13] im Mai 2014 an einem alternativen Messort weitere Arraymessungen durchführen zu können sollte neues Messsystem entwickelt werden. Das neue System soll kompakter und zuverlässiger werden, als das bisherige OROS-Messsystem. Die Entwicklung und Evaluation des neuen Messsystem für die Mikrofonarraymessungen am Stromboli Vulkan im Mai 2014 ist Gegenstand der vorliegenden Arbeit.

1.2. Stand der Forschung und der Technik

Infraschall-Untersuchungen liefern wichtige Informationen zur Ausbruch-Dynamik und ermöglichen so die Erstellung quantitativer Modelle für Vulkan Ausbrüche. Aktuelle Arbeiten fokussieren sich auf die räumliche und zeitliche Variabilität der Atmosspähre und deren Effekt auf die Infraschall Ausbreitung in Entfernungen zwischen einigen bis 1000 Kilometer. Andere Studien untersuchen den Effekt der komplexen Topografie und der Krater-Morphologie auf das aufgenommene Infraschall-Signal in lokaler und regionaler Entfernung. Die meisten aktuellen Forschungen nehmen eine lineare Ausbreitung von der Quelle aus an. Das ist in so fern kritisch zu sehen, da bereits [14] und spätestens [15] zeigten, dass je nach Ausbruchstyp eine vulkanische Eruption akustisch als Freistrahl angenähert werden können. Ein supersonischer Freistrahl besitzt eine starke Richtwirkung, welche dadurch nicht vollständig erfasst wird.

Vulkane sind stellen eine sehr schwierige Umgebung für Untersuchungen dar. Neben der rauen Umgebung stellt das Fehlen von Straßen und Strom ein herausforderndes Logistikprobleme dar. Außerdem sorgt die dynamische Natur des Vulkan dafür, dass eine geplante Messkampagne aufgrund von geringen Aktivitäten kaum oder keine Daten liefern kann.

Die Untersuchung von Vulkanausbrüchen umfasst eine Multidaten-Analyse verschiedenster Messinstrumente. Zu den klassischen Messinstrumenten gehören z.B. Seismometer um die Stärke der

Erdeben die von einem Vulkan ausgehen zu messen. Zur Analyse der Luft am Vulkan werden häufig Gasspektrometer eingesetzt. Eine weitere Methoden die bei Vulkanbeobachtungen oft zum Einsatz kommt ist die Aufnahme von Wärmebilden mit Infrarotkameras und von Zeitlupenaufnahmen mit Hochgeschwindigkeitskameras. Die Untersuchung der Vulkan-Akustik ist ebenfalls kein junges Forschungsfeld, sondern bereits seit 1976 [14] Gegenstand der Vulkanologie. Woulff schilderte darin bereits die unterschiedlichen Abstrahlcharakteristiken verschiedener Ausbruchsarten von Vulkanen. Dort wird auch gezeigt das ein Großteil der akustischen Energie im nicht hörbaren Infraschallbereich unterhalb von 20 Hz liegt. Einen umfassenden Einblick in die verschiedenen Typen der vulkanische Eruptionen und einen Überblick über die Erkenntnisse des Infraschall findet sich in [16]. Darin wird auch ersichtlich das die bisherigen akustischen Untersuchungen von Vulkanen in einer relativ großen Entfernung von mindestens 15 km und fast ausschließlich in einem Frequenzbereich unterhalb von 20 Hz ausgewertet wurde.

Bisherige akustische Messungen mit einem Array erfolgten bisher mit einer relativ geringen Anzahl an Sensoren. Das Array von [17] bestimmte mit kleiner Apertur den Ort einer Eruption am Stromboli Vulkan. Zum Einsatz kamen Monacor MC2005 Kondensator-Mikrofone (Frequenzbereich 2 - 20 Hz). Die Ausbrüche die sie analysierten besaßen je nach Ausbruchsort eine Amplitude von 10 Pa bis 80 Pa und eine Dauer von weniger als 15 Sekunden. Die Daten der Mikrofone wurden mit einer Abtastrate von 54 Hz und einer Genauigkeit von 16 Bit digitalisiert.

Einen Überblick über die aktuellen Untersuchungsmethoden im Bereich der Infraschall von Vulkanen liefert [18]. Moderne geophysikalische Studien integrieren immer mehr Daten mit unterschiedlichen Sensoren z.B. Gas, Temperaturen, Druck, Akustik. Es gibt bereits vielfältige Untersuchungen zu Infraschall von Vulkanen in unterschiedlichen Entfernungen lokal (Abstand kleiner 15 km), regional und global. Es gibt jedoch noch weitere ungeklärte Fragen. So sind noch nicht alle Parameter des akustische Modell eines Vulkans bekannt. Es gibt zum Beispiel keine genaue Kenntnisse über die Beziehungen zwischen den Eruptionstypen und der Schallabstrahlung. Außerdem fehlt es noch an genauen Aussagen zu den atmosphärischen Einflüssen wie Dispersion, Streuung und Dämpfungsverluste.

Die Einführung moderne Analysemethoden mit der Multidaten-Analyse erfolgte spätestens mit [19]. Zu den häufig verwendeten Sensoren für geophysikalische Studien gehört unter anderem die Hochgeschwindigkeitskamera. Mit ihr können Geschwindigkeiten von ausgeworfenen Material und Druckwellen von vulkanischen Eruptionen bestimmt werden [20]. Jedoch ist der Einsatz nur bei guter Sicht möglich. Aus diesem Grund wurden die Beobachtungsmethoden um die akustischen Analyse der Vulkanausbrüchen ergänzt. Mit den Infraschall-Mikrofonen sollen Frühwarnsysteme auch bei schlechter Sicht zuverlässige Ergebnisse liefern.

Um eine Korrelation zwischen einem möglichen Ausbruch und den gemessenen akustischen Signalen herstellen zu können muss die akustische Quellstruktur genau bekannt sein. Aktuelle Forschungen zeigen, das einige Ausbruchstypen von Vulkanen mit einem akustischen Freistrahl verglichen werden können [15]. In diesem Forschungsvorhaben wurde im wesentlichen nur der tieffrequente Schall im Bereich von 0,01~Hz-17~Hz analysiert. Die Beschränkung auf den Infraschall-Bereich ist bei vielen Forschungsgruppen zu finden. Im Jahr 2014 wurde in Japan ein umfangreicher Datensatz mit Fokus auf die Vulkan-Akustik erstellt [21]. Bei dieser Mess-Kampagne wurden verschiedene Sensoren zur Messung von Infraschall-Signalen des Vulkans genutzt und zeigen den akutellen Stand der Forschung der Vulkan-Akustik. Es wurden an unterschiedlichen Standorten um den Sakurajima-Vulkan verschiedene Sensor-Arrays aufgebaut. Unter den Sensoren wurden Hyperion IFS-5201 digital Infraschall-Sensoren mit einem Frequenzgang von 0,02~Hz-250~Hz im Bereich von $\pm 100~Pa$ und einer Abtastrate von 500~Hz, NCPA Piezo-Keramic-Druckwandler mit 24 Bit A/D-Wandler und GPS-Synchronisation un einem Frequenzgang gerade von 0,02~Hz-250~Hz und Dynamik von $\pm 1190~Pa(\approx \pm 155~dB_{SPL})$ und Abtastrate von 500Hz. verwendet. Außerdem wurden Allsensor MEMS-Druckwandler (1/2~Zoll) mit einer Dynamik von $\pm 1250Pa(+/-156~dB)$ und einer

4 1. Einleitung

ner Abtastrate 200 Hz mit 24 Bit Auflösung eingesetzt. Die Entfernungen zwischen Krater und Array betrug zwischen 250 m bis 14,5 m. Die Auswertung der Daten erfolgte im Bereich $f \le 20~Hz$. Eine Erkenntnis des Messung was, dass kein starker Zusammenhang zwischen der Amplitude des Infraschall-Signals und der Höhe der Asche-Wolke gibt. Es zeigen sich dennoch deutliche Abhängigkeiten zwischen den Stationen. Es gibt scheinbar aufgrund der topografischen Unterschiede starke Dämpfungen besonders im Bereich der hohen Frequenzen. Es müssen viele Ausbreitungseffekte berücksichtigt werden um auf die Quellprozesse schließen zu können. Demnach sind für die Krater Topografie und Ausbreitungseffekte zu berücksichtigten. Fee zieht in [21] den Schluss,dass die zukünftige Arbeit in der Vulkan-Akustik den Einfluss der Topografie und Veränderung der Quellwerte aufgrund der großen Entfernung untersuchen muss.

Einen anderen Ansatz der Analyse von Vulkanen verfolgt eine Forschungsgruppe bestehend aus des internationale Forschern um das INGV. Ziel der Vulkan-Akustik ist die Verfolgung der akustischen Signale zu ihrer Quelle. Die explosiven vulkanischen Aktivitäten generieren Schall der dem Geräusch eines Freistrahls ähnlich ist. Die Explosionen generieren in Abhängigkeit des Kraterdurchmessers sehr tieffrequente Signale bis hin zum Infraschallbereich bei sehr großen Durchmesser. Der Ansatz von Taddeuci setzt auf die Kombination von Hoch-Geschwindigkeit Kameras, Mikrofon-Aufnahmen und Numerischen Simulationen, um die Eigenschaften des Freistrahls von strombolischen Ausbrüchen heraus zu finden. Ein Freistrahlgeräusch ist nach Taddeuci ein akustisches Feld, welches durch einen Strahl mit hoher Geschwindigkeit aus Gas (mit oder ohne festen oder flüssigen Komponenten) in die umliegende Atmosphäre eintritt und multiple Quellen und damit verbundene charakteristische Geräusche induziert. Taddeuci sieht in anderen Arbeiten zur Vulkan-Akustik zurzeit keine Berücksichtigung der starken Richtwirkung des Freistrahl. Die oft benutzen Beziehungen zwischen gemessener akustischer Leistung und der Geschwindigkeit des ausgestoßenen Gas können daher nicht aussagekräftig sein. Meistens wurde der vulkanische Freistrahl im Bereich von unterhalb von 20 Hz untersucht. Der Freistrahl besitzt jedoch noch weitere hochfrequente Spektralkomponenten mit einer starken Richtwirkung und sind deshalb sehr schwierig in großen Entfernungen zu untersuchen. Der Stromboli-Vulkan hat sekundenlange diskrete Explosionen mit minutenlangen Intervallen von passiver Entgasung. Darum ist er für akustische Studien ein sehr geeignetes Forschungsobjekt, da er große Krater-Durchmesser besitzt.

In Zusammenarbeit mit der TU Berlin [12] wurde eine Messung mit einem 7-kanaligem Mikrofonarray durchgeführt. Während einer Expedition in 2013 sollte untersucht werden, ob sich eine vulkanische Eruption mit den Eigenschaften eines akustischen Überschallfreistrahl vergleichen lassen. In einer anschließenden Expedition in 2014 des INGV[13] fanden weitere Untersuchung statt. Hier wurde eine mulitparametrische Analyse der vulkanische Eruptionen mit zwei Hochgeschwindigkeitskameras, einer Wärmebildkamera, zwei UV-Kameras, zwei breitbandigen Mikrofonen und einem 16-Kanal Mikrofonarray. Die akustische Analyse versucht die Kenntnisse des künstlich erzeugten Freistrahls (z.B. eines Flugzeugs) zu nutzen, um die akustischen Eigenschaften des vulkanischen Freistrahl besser zu beschreiben. Mit akustischen Messungen sollen Computersimulationen des Freistrahls so kalibriert werden um den tatsächlichen Auswurfmechanismus der Eruption in Zukunft genau Vorhersagen zu können. Die Messung des vulkanischen Geräusche erfolgt dabei im hörbaren Bereich bis zu 20 kHz.

Die Datenerfassung muss die Wandlung von akustisch-mechanischen Signalen in elektrische Signale übernehmen. Die Verarbeitung und Speicherung der digitalen Signalen ist ebenso von große Bedeutung. Bei der Datenerfassung handelt es sich um ein komplexes System verschiedener elektronischer und mechanischer Komponenten. Der Stand der Technik ist nicht eindeutig belegt, jedoch kann behauptet werden das moderne Datenerfassungssystem PC-gestützt arbeiten und so flexibel und leistungsfähig gestaltet werden können. Als Sensoren werden immer mehr vorpolarisierte Mikrofone verwendet. Die Gründe dafür werden in Rahmen dieser Arbeit aufgeführt. Genauso wie die überabtastenden $\Delta\Sigma$ -Wandler die bei der Analog-Digital-Wandlung verwendet werden.

1.3. ZIEL UND AUFBAU DER ARBEIT

Die vorliegende Arbeit hatte zum Ziel ein Datenerfassungssystem zum Messen von akustischen Signalen des Stromboli Vulkan in Italien zu entwickeln. Es wurden die geeigneten Komponenten des Messsystems zusammengestellt und eine Software zur Erfassung der Messdaten programmiert. Die Arbeit umfasst nicht die Konfiguration der Array-Geometrie oder den Algorithmus des Beamformings.

Das Kapitel 2 beschäftigt sich mit den theoretischen Grundlagen, die teilweise oder ganz, Einfluss auf die mögliche Konfiguration des zu entwickelden Messsystems hatten. Dafür wird unter anderem ein kurzer Einblick in die Entstehung der Geräusche am Vulkan beschrieben. Gefolgt für eine umfassende Behandlung der Datenerfassung. Hier werden die wichtigsten Grundlagen zu allen Komponenten des Datenerfassungssystem dargestellt. Abgeschlossen wird das Grundlagen-Kapitel mit dem Thema der digitalen Signalverarbeitung einschließlich der Analog-Digital-Wandlung und der Arraymesstechnik.

Das vermittelte Wissen befähigt anschließend dazu, dass komplexen Zusammenarbeiten der einzelnen Komponenten (z.B. Mikrofon und A/D-Wandler) nachzuvollziehen und das hier vorgestellt Datenerfassungskonzept zu verstehen. Die Schwerpunkte der Entwicklung lagen vor allem in der geeigneten Dimensionierung der A/D-Wandler und der Entwicklung einer passenden Applikations-Software zur Steuerung der Messung.

Im vierten Kapitel wird versucht ein Urteil über die Funktionsfähigkeit des entwickelten Systems zu treffen. Dafür wird sowohl die Bedienung, als auch elektrische, als auch Parameter aus der Signalverarbeitung (z.B. SNR und THD) zur Einschätzung gemessen und teilweise berechnet. Die technische Datenauswertung wurde dabei für die Labormessungen vorgenommen. Die Feldmessung auf dem Stromboli im Mai 2014 war die eigentliche Zielaufgabe dieser vorliegenden Arbeit. Bis dahin sollte das System fertig sein und stabil arbeiten.

In dem Fazit (Kapitel 5) wird eine kurze Einschätzung darüber gegeben, ob das Ziel erreicht wurde und welche Maßnahmen zur Verbesserung des Datenerfassungssystems in Zukunft getroffen werden müssen.

THEORETISCHE GRUNDLAGEN

Als Datenerfassungssystem wird eine Messkette bezeichnet die analoge in digitale Signale umwandelt. Das zu untersuchende physikalische Ereignis kann durch ein Vielzahl unterschiedlicher Sensoren erfasst werden. So wird zum Beispiel der Schalldruck durch elektroakustische Luftschallwandler in ein elektrisches (analoges) Signal und anschließend mit der entsprechenden Hardware in digitales Signal umgewandelt, um im Computer gespeichert und ggf. weiter analysiert zu werden. Zum vollständigen Verständnis der komplexen Anforderungen an ein Datenerfassungssystem ist ein bestimmtes Wissen um die spezifischen Eigenschaften der zu untersuchenden Quelle, der Sensoren und der Einzelkomponenten des Datenerfassungssystems notwendig.

In diesem Kapitel wird zunächst ein Überblick über die Vulkan-Akustik gegeben. Anschließend Informationen über die notwendige digitale Signalverarbeitung vermittelt. Abschließend werden die Grundlagen eines Datenerfassungssystem und der Messtechnik von Sensorarrays dargestellt.

2.1. AKUSTIK VON VULKANEN

In der Umwelt gibt es eine viele verschiedene Quellen von Geräuschen. Ein Vulkan kann Geräusche erzeugen die oft mit den subjektivem Höreindruck eines Flugzeug-Jets verglichen werden. Um zu verstehen ob Vulkane Jet ähnliche Geräusche erzeugen wird der Blick zunächst auf die Strömungsakustik errichtet, da die Eigenschaften der Flugzeuggeräusche bereits umfangreich untersucht wurden. Dieses Wissen befähigt zur Einschätzung ob und unter welchen Bedingungen ein akustischer Freistrahl durch eine Vulkan-Eruption erzeugt werden kann.

Im Bereich der Strömungsakustik werden Schallquellen in der Regel auf drei wesentliche Quellarten zurückgeführt: Monopol-, Dipol- oder Quadrupolstrahler [22].

Ein Monopol-Strahler (bzw. Strahler 0.Ordnung) liegt z.B. vor, wenn ein Volumen mit einer gewissen Frequenz ausgestoßen und wieder angesaugt wird. Der Großteil der Energie dieser Schallquelle liegt im Bereich der Wiederholfrequenz.

Wird ein Objekt von Luft mit der Geschwindigkeit umströmt wird infolge von Wirbelbildungen am Objekt ein sogenannter Hiebton erzeugt. Der Hiebton besitzt einen Dipol-Charakter. Die Grundfrequenz des Tons ist abhängig von der Strömungsgeschwindigkeit U, dem Durchmesser des Hindernis d und der Strohalzahl St [22, S. 170]

$$f_{Hiebton} = St \cdot \frac{U}{d} \tag{2.1}$$

mit $U = M \cdot c$.

Die dritte Strahlerart von Strömungsgeräuschen in Luft wird durch Quadrupol-Strahler erzeugt. Beispiel für Geräusche die durch dieser Art von Schallquelle entstehen sind die Geräusche eines supersonischen Freistrahls mit einer Machzahl von $Ma \ge 0,7$ [22, S. 173]. Ein akustischer Freistrahl

entsteht bei dem Austritt eines Luftstrahl aus einer Öffnung in ein angrenzendes, ruhendes Medium wie etwa Luft. Um den Luftraum herum entsteht eine Grenzzone mit starken Turbulenzen. Bei der Vermischung der beiden Lufträume mit jeweils unterschiedlichen Geschwindigkeiten bildet sich der turbulente Freistrahl aus. In dessen Nahbereich befindet eine Kernzone mit keinen bzw. nur sehr wenigen Wirbeln. An den Rändern des Strahls befindet sich eine turbulenten Mischzone. Mit zunehmenden Abstand von der Öffnung aus dem die strömenden Luft austritt ist der turbulent Freistrahl voll ausgebildet [22, S. 171].

Die Ausbildung eines Freistrahl wird nach [22] von zwei Parametern bestimmt: der Machzahl und der Reynoldzahl. Freistrahlen mit niedriger Reynoldzahl besitzen sehr schmalbandig Geräuschanteile sog. Spalttöne [22]. Die Grundfrequenz wird wie die der Hiebtöne berechnet. Mit steigender Reynoldzahl nimmt der Zerfall der Wirbel an der Grenzschicht der Mischzone zu. Dieser erzeugt ein breitbandiges Geräusch. Der Zerfall von kleinen Wirbeln erzeugt hochfrequente Signalanteile und zerfallende große Wirbel erhöhen den tieffrequenten Signalanteil des Freistrahl. In [23] beschreibt Tam diese Strukturen auch als Small Scale- bzw. Large Scale- Turbulenzen. Er beschreibt auch drei Geräuschanteile des supersonischen Freistrahl: das Turbulent Mixing Noise, broadband Shock-Noise und Screech Ton.

Wie bereits erwähnt kann die ausgeprägte Richtcharakteristik von Freistrahl-Geräuschen mit Ma < 0.7 durch einen Kugelstrahler 2.Ordnung (Quadrupol) angenähert werden. Diese Geräusche besitzen ihr Abstrahlmaximum typischer bei einer Strouhal-Zahl von 0.2 bis 0.3 [22, S. 171]. Für den Fall einer supersonischen Freistrahls ist die Strouhal-Zahl nur noch von der Machzahl und dem Überwachungswinkel anhängig. Ist der Durchmesser der Austrittsöffnung bekannt kann durch eine Frequenzanalyse des Freistrahl-Geräuschs die Austrittsgeschwindigkeit bestimmt werden.

Die ersten gedanklichen Verknüpfungen bezüglich der Geräusche von künstlich erzeugten Freistrahlen und der Jet von Vulkanen erfolgte durch Woulf und McGetchin [14]. Sie waren die ersten die behaupteten, dass es zwischen der vulkanischen Entgasung und dem tieffrequenten Energieanteil ein Beziehung ähnlich wie der des tieffrequenten Freistrahl-Geräuschs gibt. Eine umfangreiche Analyse des vulkanischen Jets erfolgte unter anderem durch [24]. Er untersuchte die Richtwirkung des vulkanischen Jets, um die Geschwindigkeit und die akustische Leistung des Freistrahl bestimmen zu können.

Da die Eruptionen von Vulkanen sehr unterschiedlich sind gibt es verschiedene Typen zu unterscheiden die als Explosionen, Entgasungen, Tremor oder als Freistrahl bezeichnet werden. Die Dauer eines vulkanischen Ereignisses variiert von sehr kurz (ca. 0,2 s) bis sehr lang (100 s). Akustische Untersuchungen zu vulkanischen Ereignisse finden ebenfalls in sehr unterschiedlichen Entfernungen statt. Im weit entfernten Bereich (mehr als 200 km entfernt), im regionalen 10-50 km oder im lokalen Bereich innerhalb von 10 km. Ausführliche Beschreibungen der genauen Prozesse innerhalb einer Vulkans un der damit verbundenen Geräusche finden sich in [25].

2.2. Datenerfassung

Der Begriff Datenerfassung bezeichnet den Prozess physikalische Ereignisse zu messen in dem sie in elektrische Signale umgewandelt werden. Anschließend werden die analogen Signale in digitale zur Weiterverarbeitung, Analyse und Speicherung im Computer konvertiert. Moderne DAQ-Systeme können nicht nur Messen, sondern auch Teile anderer Syssteme steuern. Ein Datenerfassungssystem (DAQ-System) enthält nach [1] mindestens folgende Komponenten: Sensoren, Messleitungen, eine Signalkonditionierung, DAQ-Hardware, einen PC und eine DAQ-Software. Der funktionale Zusammenhang der einzelnen Komponenten wird in der Abbildung 2.1 dargestellt.

Sensoren messen ein physikalisches Ereignis und geben ein dazugehöriges elektrisches Ausgangssignal aus. Die von Sensoren erzeugten elektrischen Signale sind in der Regel proportional zu den physikalischen Vorgängen. Bei Mikrofonen wird die direkte Proportionalität zwischen physikalischem Ereignis und elektrischen Signal durch den Mikrofon-Übertragungsfaktor angeben. Ein Mi-

krofon mit einem Übertragungsfaktor von z.B. $M=50~\frac{mV}{Pa}$ erzeugt bei einem Schalldruck von 1 Pa ein korrespondieren Ausgangsspannung von 50 mV.

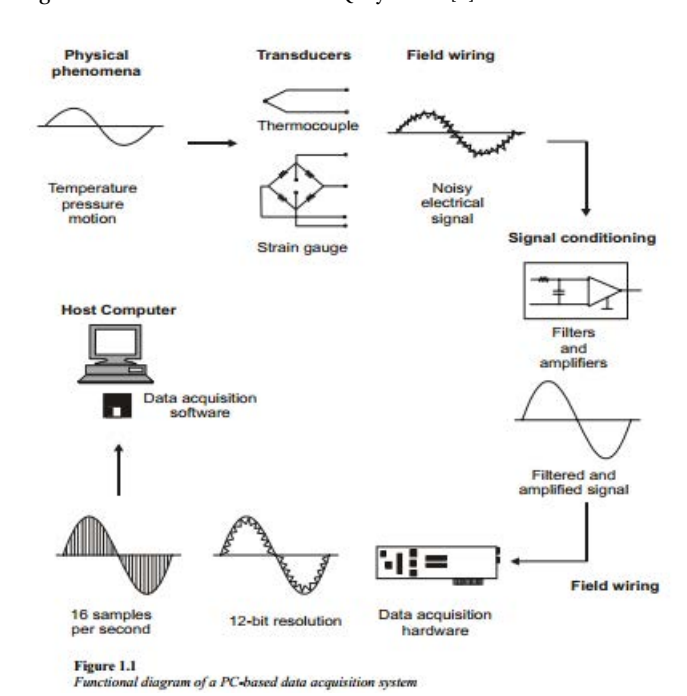
Die Ausgangssignale der Sensoren müssen meistens noch in ein Format gewandelt werden, welches akzeptabel für die nachfolgend angeschlossenen DAQ-Hardware ist. Die Anpassung der Signals (Signalkonditionierung) kann die Filterung, Verstärkung, Linearisierung und Isolierung des Eingangssignal beinhalten [1]. Des Weiteren kann die Signalkonditionierung auch eine Versorgungsspannung oder -strom für die Sensoren zur Verfügung stellen, wenn diese benötigt wird.

Für ein Datenerfassungssystem sind die Messkabel ebenfalls eine wichtige Komponente. Sie stellen die einzige physische Verbindung zwischen den Sensoren und der Signalkonditionierung bzw. der Datenerfassung-Hardware dar. Wenn die Entfernung zwischen Sensoren und DAQ-Hardware sehr weit ist müssen die Leitungen entsprechend dimensioniert werden. Sehr lange Messleitungen sind gegen externes Rauschen besonders aufmerksam zu realisieren.

Nach dem das physikalische Ereignis in ein elektrisches Signal umgewandelt und durch die Signal-konditionierung angepasst worden ist, wandelt die DAQ-Hardware das amplituden- und zeitkontinuierliche elektrische Signal in ein digitales amplituden- und zeitdiskretes Signal um. Dieser Vorgang wird allgemein auch als Analog-Digital-Wandlung bezeichnet. Anschließend werden die digitalen Daten zum Computer transferiert.

Moderne DAQ-System sind PC-basiert. Der Host-Computer des PC-basierten DAQ-Systems ist ein wesentlicher Faktor für die Geschwindigkeit des gesamten Datenerfassungssystems. Für Frequenzanalysen und Echtzeit-fähige Anwendungen müssen besondere Anforderungen an das Betriebssystems gestellt werden oder ein entsprechend dimensionierter Buffer (Zwischenspeicher) vorhanden sein.

Ein vollständiges Datenerfassungssystem umfasst nicht nur die dafür notwendige Hardware, sondern enthält auch die dazugehörige Software. Die DAQ-Software stellt die Messergebnisse grafisch dar und kontrolliert das Messsystems. Weiterhin kann die Software auch die Messergebnisse nicht nur darstellen sondern auch analysieren und weiterverarbeiten.



 $Abbildung \ 2.1: Funktions diagramm \ eines \ PC-basierten \ DAQ-Systems \ [\ref{thm:prop}].$

2.2.1. SENSOREN

Ein Sensor ist ein Gerät das eine bestimmte Form von Energie in eine andere Form umwandelt. In einem Datenerfassungssystems messen Sensoren häufig physikalische Vorgänge und wandeln diese in en korrespondierendes elektrisches Signal um. Sensoren, auch Messumwandler genannt, werden zwischen aktiven und passiven Wandler unterschieden. Aktive Messumwandler wandeln ein nicht elektrisches Eingangssignal in ein elektrisches Ausgangssignal. Die passiven Sensoren ändern in Abhängigkeit des zu untersuchenden Ereignisses den Wert ihres elektrischen Netzwerkes z.B. den Widerstand oder die Kapazität. Zum Betrieb von passiven Sensoren wird eine externe Versorgung in Form eines Spannung oder eines Stroms benötigt.

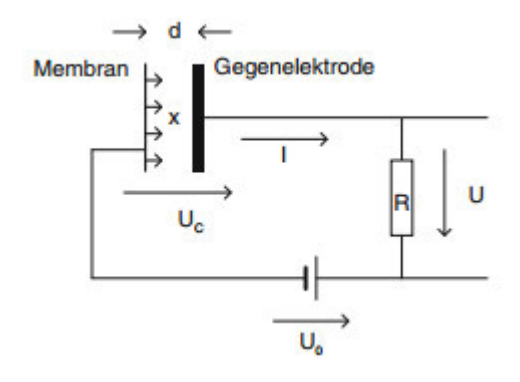
Sensoren lassen sich nicht nur zwischen aktiv und passiv unterscheiden, sondern auch nach der zu wandelnden physikalischen Größe. Um die Eigenschaften von Sensoren zu beschreiben wird im folgenden nur Bezug auf Sensoren genommen, die den Luftschalldruck in ein elektrisches Signal wandeln. Diese elektroakustischen Luftschallwandler werden auch als Mikrofone bezeichnet.

Es gibt eine zahlreiche Auswahl an Mikrofonen die nach unterschiedlichen Kriterien [S.315 26, Abb. 7.1]. Um die wichtigsten Eigenschaften eines Mikrofons abschätzen zu können sind das Wandlerprinzip, das Arbeitsprinzip und die zu wandelnde Schallfeldgröße vom übergeordneten Interesse. Das Wandlerprinzip bestimmt den elektrischen Aufbau eines Mikrofons. Ein elektrodynamischer Wandler verhält sich elektrisch wie eine Tiefpass 1. Ordnung, wohin gegen ein elektrostatische Wandler sich wie ein Hochpass 1. Ordnung verhält. Neben dem elektrischen Aufbau bestimmt auch der akustisch-mechanische Teil des Mikrofons den Gesamtfrequenzverlauf eines elektroakustischen Luftschallwandlers. Ein Mikrofon kann als Druck- bzw. Druckgradientenempfänger arbeiten und die Membrangeschwindigkeit oder die Membranauslenkung in ein elektrisches Signal umwandeln

Aus der Kombination Wandlerprinzip, Arbeitsprinzip und Schallfeldgröße wird der Gesamtfrequenzgang des Mikrofons zusammengesetzt. In der akustischen Messtechnik ist das Kondensatormikrofon aufgrund seiner Eigenschaften oft im Einsatz [26, S.323]. Darum und weil Kondensatormikrofone für das in dieser Arbeit vorgestellte Messsytem zum Einsatz kommt, werden die wichtigsten Eigenschaften eines elektroakustischen Luftschallwandler anhand eines elektrostatischen Druck-Auslenkungsempfänger beschrieben. Den interessierten Lesern sei [26] für einen weiterführenden Einblick in die unterschiedlichen Mikrofontypen und deren Eigenschaften empfohlen.

Das mechanisch-elektrische Wandlungsprinzip eines Kondensatormikrofons beruht auf der Modulation einer Gleichspannung durch die Abstandsänderung der Elektroden eines Kondensators. Eine der Elektroden ist eine gefedert aufgehängte Mikrofonmembran, die andere Elektrode ist eine schwere, starr fixierte Gegenelektrode. Durch das einfallende Schallfeld auf der Membran ändert sich der Abstand d der beiden Elektroden zueinander. Die prinzipielle Schaltung eines Kondensatormikrofons wird in der Abbildung 2.2 dargestellt. Für $\omega >> 1/RC_0$, $Q \approx Q_0$ und $\omega_k = \frac{1}{R \cdot C_0}$ gilt das

Abbildung 2.2: Prinzipschaltung eines Kondensatormikrofon [2].



die Ausgangsspannung U

$$\underline{U} = \frac{U_0 \frac{x}{d}}{1 + \frac{\omega_k}{i\omega}} \tag{2.2}$$

direkt proportional zur Membranauslenkung x ist [2, S.360]. Die Gleichspannung U_0 stellt hier die Polarisationsspannung bzw. Vorspannung dar. Je nach Anwendungsgebiet kann sich die Höhe der Polarisationsspannung unterscheiden. In der Tontechnik kommt häufig eine Vorspannung von 48 V zum Einsatz. Extern polarisierte Messmikrofonen verwenden eine Polarisationspannung von 200 V. Es ist auch möglich auf die externe Polarisationsspannung zu verzichten, indem als Gegenelektrode ein dauerpolarisiertes Material (Elektret) verwendet wird [26, S.326]. Die notwendige Signalkonditionierung vorpolarisierter Mikrofone ist günstiger als die der, mit einer externen Spannungsversorgung zu versorgenden, extern polarisierte Mikrofonkapseln.

Bei dem hier vorgestellten Mikrofon handelt es sichm wie zu Beginn erwähnt, um einen elektrostatischen Druck-Auslenkungsempfänger. Der mechanisch-elektrische Aufbau wurde in der Gleichung 2.2 beschrieben. Es handelt sich um einen Hochpass 1. Ordnung mit der Grenzfrequenz ω_k . Der akustisch-mechanische Aufbau reagiert mit der Membranauslenkung (Auslenkungsempfänger) direkt proportional auf den einfallenden Schalldruck (Druckempfänger). Für die anregende Membrankraft gilt somit

$$\underline{F} = p \cdot S. \tag{2.3}$$

Das Masse-Feder-System kann durch die folgende Gleichung beschreiben werden

$$F = m \cdot \ddot{x} + r \cdot \dot{x} + s \cdot x \,. \tag{2.4}$$

Für eine harmonische Anregung gilt $F = \Re\{\hat{F} \cdot e^{j\omega t}\}$ und $x = \Re\{\hat{x} \cdot e^{j\omega t}\}$. Unter Berücksichtigung der komplexen Schreibweise kann die Gleichung für das Feder-Masse-System 2.4 auch mit $\dot{x} = j\omega$ als

$$\underline{F} = \left[m \cdot \left(-\omega^2 \right) + r \cdot j\omega + s \right] \cdot \underline{x} \tag{2.5}$$

geschrieben werden. Die mechanisch-akustische Übertragungsfunktion soll das Verhältnis der Membranauslenkung \underline{x} zum einfallenden Schalldruck \underline{p} beschreiben. Das ergibt sich aus der Gleichsetzung der Gleichungen 2.3 und 2.5 und der Umstellung zum gesuchten Verhältnis $\frac{\underline{x}}{\underline{p}}$. Die folgende Gleichung beschreibt die Übertragungsfunktion des Druck-Auslenkungsempfänger.

$$\frac{x}{p} = \frac{S}{-m \cdot \omega^2 + r \cdot j\omega + s} \tag{2.6}$$

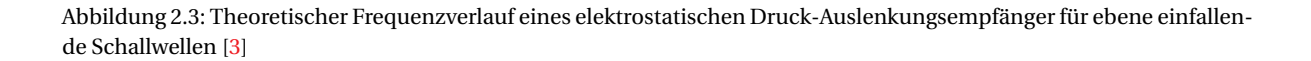
Die Resonanzfrequenz des Teilsystems liegt bei $\omega_0 = \sqrt{\frac{s}{m}}$. Die auf die Resonanzfrequenz normierte Übertragungsfunktion lautet:

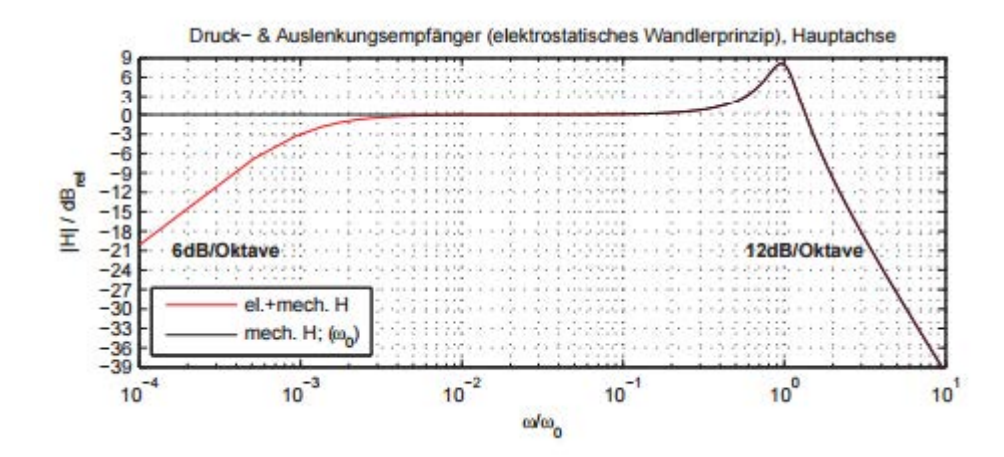
$$\frac{\underline{x}}{\underline{p}} = \frac{\frac{\underline{S}}{\underline{s}}}{-\frac{\omega^2}{\omega_0^2} + j\eta\frac{\omega}{\omega_0} + 1}$$
 (2.7)

, wobei für $\eta = \frac{r \cdot \omega_0}{s}$ gilt und auch als Verlustfaktor verzeichnet wird. Der akustisch-mechanische Aufbau des untersuchten Mikrofons verhält sich wie ein Tiefpassfilter 2.Ordnung.

Der Gesamtfrequenzgang des Mikrofons setzt sich jetzt aus dem Frequenzgang des elektrischen Aufbaus (Hochpass 1. Ordnung) und des akustisch-mechanischen Aufbaus (Tiefpass 2.Ordnung) zusammen. Der Frequenzgang ist somit aus 2.2 und 2.7 zu bilden.

$$\frac{\underline{U}}{\underline{p}} = \frac{\frac{\underline{S}}{s}}{-\frac{\omega^2}{\omega_0^2} + j\eta\frac{\omega}{\omega_0} + 1} \cdot \frac{U_0\frac{x}{d}}{1 + \frac{\omega_k}{j\omega}}$$
(2.8)





Es zeigt sich somit, dass ein Kondensatormikrofon als Druckempfänger ein Bandpass-Verhalten besitzt (siehe 2.3). Der Frequenzgang steigt mit zunehmender Frequenz bis ω_k mit 6 dB pro Oktave an und besitzt bis zu Resonanzfrequenz $\omega - 0$ einen annähernd konstanten Verlauf. Ab der Resonsanzfrequenz fällt der Freguenzgang um 12 dB pro Oktave. Um einen möglichst breitbandige Frequenzverlauf eines Kondensatormikrofons zu erhalten muss demnach die elektrische Kennfrequenz $omeg a_k$ möglichst niedrig und die mechanische Resonanzfrequenz ω_0 hoch liegen. Eine hohe mechanische Resonanzfrequnez führt zur Bezeichnung eines hohen abgestimmten Mikrofons. Die Güte eines Mikrofon-Frequenzgang kann in Klassen eingeteilt werden. Typischerweise werden für Messmikrofone hohe Ansprüche bezüglich des Frequenzgang gemacht werden (Klasse 1 Mikrofone). Neben Frequenzgang wird die Güte eines Mikrofon durch weitere Parameter beschrieben. In der DIN EN 60268-4 [27] sind diese ausführlich beschrieben. Eine wichtige Größe zur Bestimmung des Schalldrucks ist der Übertragungsfaktor M des Mikrofons. Er gibt das Verhältnis zwischen Ausgangsspannung und einfallendem Schalldruck an. Je empfindlicher ein Mikrofon reagiert, desto größer ist der Übertragungsfaktor. In der Regel wird der Übertragungsfaktor bei einer bestimmte Frequenz z.B. 1 kHz gemessen. Um den Übertragungsfaktor im Feld zu bestimmen wird ein akustischer Kalibrator verwendet. Diese Referenz-Schallquelle erzeugt einen definierten Schalldruckpegel i.d.R 94 dB bei f = 1 kHz. Aus der gemessenen Ausgangsspannung kann der Übertragungsfaktor bestimmt werden. Dieser Vorgang wird auch als Kalibrierung bezeichnet. Dabei ist zwischen der Werkskalibrierung und der Feldkalibrierung zu unterscheiden. Die Werkskalibrierung bestimmt dem Mikrofonübertragungsfaktor als Funktion über der Frequenz, während bei der Feldkalibrierung der Übertragungsfaktor bei 1 kHz^1 überprüft und eventuell, aufgrund der angeschlossenen Leitungen und der vorhandenen Umweltbedingungen, angepasst wird. Der Kalibrierpegel kann bei manchen Kalibratoren auf 114 $dBre20\mu Pa$ zu Kalibrierung in einer sehr Fremdgeräusch belasteten Umgebung eingestellt werden.

Ein weiterer Parameter der in der DIN EN 60268-4 aufgeführt wird ist die Richtwirkung. Sie beschreibt das Verhältnis der Empfindlichkeit eines Mikrofons auf der Hauptachse zu den Schalleinfallswinkel. Die Richtwirkung ist frequenzabhängig und nimmt mit zunehmender Frequenz zu. Bei tiefen Frequenzen besitzt ein Druckempfänger eine Kugelcharakteristik. Das bedeutet der gemessene Schalldruck wird unabhängig von der Einfallsrichtung gemessen. Sobald die Wellenlänge des einfallenden Schallfelds in der Größenordnung des Membrandurchmesser kommt stellt die Mem-

 $^{^{1}}$ Die Kalibrierfrequenz beträgt $1\ kHz$, weil alle internationalen Bewertungsfilter (A, B, C, D und linear) dasselbe Ergebnis bei dieser Frequenz wiedergeben.

bran ein Hindernis dar und es kommt zu Reflexions- und Beugungseffekten an der Mikrofonkapsel. Dadurch verringert sich die Richtwirkung zu hohen Frequenzen.

Für die Auswahl eines geeigneten Schallwandler für ein Messsystems ist neben dem Frequenzgang und der Empfindlichkeit auch der Dynamikumfang des Mikrofons ein wichtiges Entscheidungskriterium. Dieser gibt im allgemeinen die Differenz aus Grenzschalldruckpegel und Ersatzschalldruckpegel an. Der Grenzschalldruckpegel gibt den maximalen Schalldruckpegel an bei dem eine maximale vordefinierte Grenze für nichtlineare Verzerrungen erreicht wird. Der Ersatzschalldruckpegel bzw. "äquivalente Nennschalldruckpegel der Eigenstörspannung"[27] beschreibt das logarithmische Verhältnis von Geräuschspannung zum Übertragungsfaktor gemessen bei 1 kHz bezogen auf einen Referenzschalldruck von 20 μPa . Die Geräuschspannung kann in der Frequenz bewertet sein z.B. mit dem A-Bewertungsfilter. Die bisherigen Beschreibungen bezogen sich auf ein Mikrofon welches als elektrostatischer Druck-Auslenkungsempfänger arbeitet. Der Begriff Mikrofon"beschreibt im Allgemeinen ein aus mehreren Komponenten bestehendes System bestehend. In der Regel besteht ein Mikrofon aus einer Mikrofonkapsel und einem Mikrofonvorverstärker, der wiederum eine Kombination aus einem Impedanzwandler, einem Filter (optional) und einer Ausgangsstufe [26, S. 370] darstellt. Der Impedanzwandler passt den hochohmigen Ausgang der Mikrofonkapsel an einen niederohmigen Eingang an. Die Ausgangsstufe passt das Signal an den gewünschten Spannungspegelbereich und die Ausgangsimpedanz an.

Zusammenfassend betrachtet müssen bei der Auswahl eines geeigneten Mikrofons im wesentlichen der Frequenzbereich, der Dynamikumfang und die Impedanz berücksichtigt werden. Daraus lässt sich das geeignete Wandler-Prinzip des Sensors und die zu messende Größe ableiten. Moderne Mikrofone werden vorpolarisierte hergestellt, welche wiederum eine zusätzlich zu berücksichtigende Signalkonditionierung benötigen.

2.2. SIGNALKONDITIONIERUNG

Die prinzipielle Aufgaben der Signalkonditionierung umfassen die Filterung, Verstärkung, Linearisierung, Isolierung und Speisung des Eingangssignals, um es für die anschließende Analog-Digital-Wandlung aufzubereiten [1].

Die Filterung des Eingangsignals ist notwendig, wenn das Signal in einer Umgebung mit hohem Fremdgeräuschanteil aufgenommen wird. So kann ein Tiefpass-Filter hochfrequentes Rauschen reduzieren oder ein Hochpass-Filter elektrisches Störkomponenten z.B. bei 50 Hz entfernen. Allgemein sollten alle Frequenzen außerhalb des zu untersuchenden Messbereichs mit einem Filter gedämpft werden.

Um eine hohe Qualität des Datenerfassung zu erreichen sollte der Spannungsbereich Ausgangssignale der Sensoren möglichst gleich dem Eingangsbereich des nachfolgenden A/D-Wandlers sein. Für Sensoren mit einer geringen Empfindlichkeit kann deshalb eine Verstärkung des Ausgangssignal notwendig sein, um eine hohe Auflösung der A/D-Wandlung zu bekommen. Bei entsprechend dimensionierte Verstärkung kann die Signal-Rausch-Verhältnis und die Auflösung des Signals verbessert werden.

Eine Linearisierung des Eingangssignal ist nur notwendig, falls eine nichtlineare Beziehung der zu messenden physikalischen Größe und dem elektrischem Ausgangssignal des Wandlers besteht. Das trifft für Mikrofone in der Regel nicht zu, weshalb keine Linearisierung für diese Art von Sensoren notwendig ist.

Mit Isolierung wird die galvanische Trennung bezeichnetet die das nachfolgend angeschlossene Equipment vor elektrostatischen Entladungen oder Spannungsspitzen schützt. Außerdem reduzieren sie das fließen von Kriechströmen. Eine gut dimensioniert Isolierung schützt außerdem vor Masseschleifen und vermindert so den Einfluss der elektrischen Störsignale.

Eine weitere wesentliche Aufgabe der Signalkonditionierung ist Speisung der angeschlossenen Sensoren. Wie bereits im Abschnitt 2.2.1 beschrieben können Kondensatormikrofone unterschieden

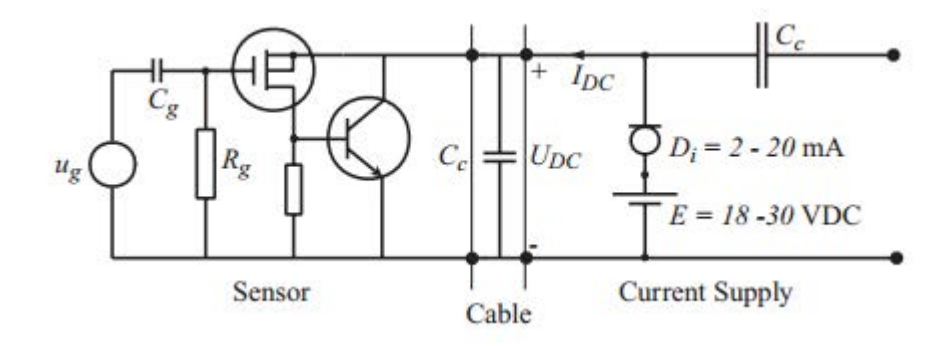
werden in Mikrofone mit extern polarisierter Mikrofonkapsel und mit vorpolarisierter Mikrofonkapsel. Bei Messungen mit extern vorpolarisierten Mikrofonen muss typischerweise eine Spannung von 200 V zur Verfügung gestellt werden. Diese Spannungsversorgung stellt nicht nur Anforderungen an die Signalkonditionierung sondern auch an die Messleitungen, weil für die Übertragung des Messsignals und der Speisespannung mehrere Adern benötigt werden. In der Regel werden fünf oder sieben-adrige Leitungen verwendet. Die Verwendung einer externen Polarisationsspannung ist mittlerweile als traditionelle Technik zu bezeichnen. Moderne Messsysteme verwenden die bereits in 2.2.1 erwähnten vorpolarisierten Mikrofonkapseln.

INTEGRATED ELECTRONIC PIEZO ELECTRIC

Im industriellen Bereich sowie in der akustischen Messtechnik kommt der von Kistler in den 1960er Jahren entwickelte IEPE-Standard bei der Signalkonditionierung häufig zum Einsatz [4]. Der Industrie-Standard beschreibt normalerweise den Umgang mit Signalen von piezoelektrischer Sensoren, die einen integrierten Impedanzwandler besitzen. Jedoch wird er auch bei vorpolarisierten Elektret-Mikrofonen (vorpolarisierte Kondensatormikrofone) eingesetzt. Der IEPE-Standard wurde von verschiedenen Messtechnikherstellern umgesetzt und mit Hersteller spezifischen Bezeichnungen versehen z.B. ICP (PCB), CCP (G.R.A.S. Tippkemper), Deltatron (Brüel & Kjær). Alle Hersteller spezifischen Signalkonditionierungen entsprechen dem IEPE-Standard und sind deshalb zu einander kompatibel.

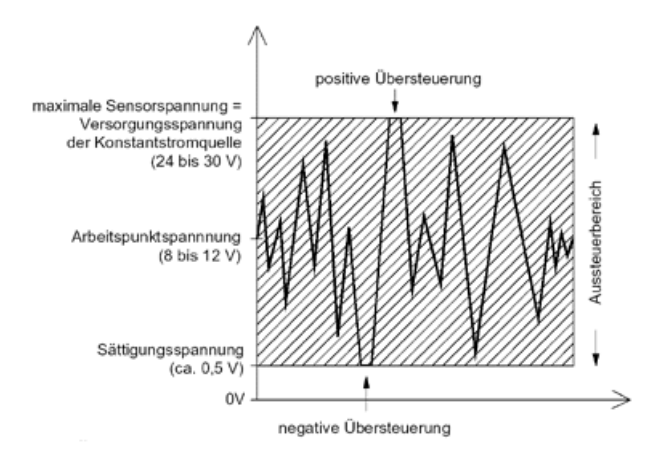
Die eingebaute IEPE-Sensorelektronik in etwa die selben Aufgaben, wie die der Mikrofonvorstärker in konventionellen Mikrofonen. Sie wandeln ein hochohmiges Signal in ein Signal mit geringer Impedanz um. Dadurch sind die Verlustleistungen bei langen Kabellängen der Messleitungen gering. Außerdem kann auf den Einsatz speziell geschirmter störungssarmer Kabel verzichtet werden. Der prinzipielle Aufbau IEPE-Signalkonditionierung wird in der Abbildung 2.4 dargestellt.

Abbildung 2.4: Prinzipielle Schaltung eines IEPE-Sensors mit einer Konstantstromquelle zur Signalkonditionierung [4].



Der obere CMOS-FET wandelt zusammen mit dem bipolare Transistor die Ausgangsspannung des Sensors mit hoher Impedanz in eine Spannung mit niedriger Impedanz um. Ursprünglich wurde die Elektronikschaltung für piezoelektrische Sensoren entwickelt, weil diese aufgrund der geringen Empfindlichkeit nur geringe Spannungen erzeugen [4, S. 150]. Die in das Mikrofon eingebaute Elektronik wird über den Konstantstrom mit Energie versorgt. Der Versorgungsstrom sowie das Sensorsignal werden über eine Leitung übertragen. Gemäß IEPE-Spezifikation liegt der Konstantstrom zwischen 2 mA bis 20 mA. In Abhängigkeit der Versorgungsspannung der Konstantstromquelle (nach IEPE liegt diese zwischen 18 VDC bis 30VDC) bildet sich eine positive Arbeitspunktspannung beim Sensor auf. Das gemessene Signal vom Sensor (Sensorspannung) wird auf die Gleichspannung am Arbeitspunkt aufmoduliert. Die Sensorspannung kann nicht negativ sein. Zur Erfassung der Daten am Eingang des Datenerfassungsgerät muss der Gleichspannungsanteil des Messsignals herausgefiltert werden. Das geschieht durch den Entkopplungskondensator der dementsprechend dimensioniert ist. Die grafische Darstellung der Arbeitspunktspannung und der

dazugehörigen Grenzen sind in der Abbildung 2.5dargestellt. Der Arbeitsbereich eines IEPE-Sensor Abbildung 2.5: Darstellung eines aufmodulierten Messsignals eines IEPE-Sensors [5].



wird durch die obere und untere Austeuerungsgrenze bestimmt. Liegen die Ausgangssignale der angeschlossenen Sensoren außerhalb des Arbeitsbereichs der Sensoren kommt es zu einer Über- bzw. Unteraussteuerung des Sensors. Für einen sicheren Betrieb des DAQ-Systems sollte das Messsignal am Eingang des A/D-Wandlers eine untere Grenze von 1V nicht unterschreiten. Der Minimalwert ist durch die Sättigungsspannung der Impedanzwandlerschaltung definiert. Der untere Aussteuerungsbereich umfasst

$$negative\ range = U_{Bias} - 1\ V. \tag{2.9}$$

Der positive Aussteuerungsbereich eines IEPE-Sensors ist ebenfalls von der Arbeitspunktspannung und zusätzlich von der Speisespannung de Konstantstromquelle abhängig.

$$positive\ range = U_{Source} - U_{Bias} - 1 \tag{2.10}$$

Der gesamte Arbeitsbereich des Sensors ergibt sich aus der Summe von positiven und negativen Aussteuerungsbereich des IEPE-Sensors.

Neben der Dynamik des IEPE-Sensors der durch die Signalkonditionierung bestimmt wird, wird das Frequenzverhalten des Datenerfassungssystem ebenfalls durch das Arbeitsprinzip des IEPE-Standard bestimmt. Für die obere Grenzfrequenz gilt nach [4, S. 152]

$$f_{max} = \frac{I}{2 \cdot \pi \cdot U_{Source} \cdot C_{Cable} \cdot l_{Cable}}$$
 (2.11)

Demnach kann die maximale Frequenz die mit der IEPE-Konditionierung möglich ist erhöht werden, indem der Konstantstrom I[A] erhöht wird, oder wenn die Versorgungsspannung $U_{Source}[V]$, die angeschlossene Kabelkapazität $C_{Cable}[F/m]$ oder die Länge des angeschlossenen Kabels verringert wird. Die Abbildung 2.6 stellt die Gleichung (2.11) grafisch dar.

Wenn für ein Messsystem ein IEPE-Sensor mit der dazugehörigen Signalkonditionierung verwendet wird ist bei der Analyse der Messsignale zu beachten, das mit zunehmender Frequenz eine Verstärkungsfehler erfolgen kann. Die Abbildung 2.7 zeigt das mit einem Konstantstrom von 4 mA der Verstärkungsfehler mit einer angeschlossenen Kabelkapazität von $20\mu F$ bei eine Frequenz von $20\,kHz$ etwa 1,2(-6,99dB) beträgt.

Die obere Grenzfrequenz eines DAQ-Systems mit IEPE-Signalkonditionierung wird somit durch den Anforderung an die Aussteuerbarkeit des Signals und den maximal zulässigen Verstärkungsfehler beschränkt.

Die untere Grenzfrequenz muss, bedingt durch die Entkopplung des Gleichspannungsanteil, größer

Abbildung 2.6: Aussteuerungsgrenze eines IEPE-Sensors in Abhängigkeit der angeschlossenen Kabelkapazität, dem Speisestrom und der zu untersuchenden Frequenz [5].

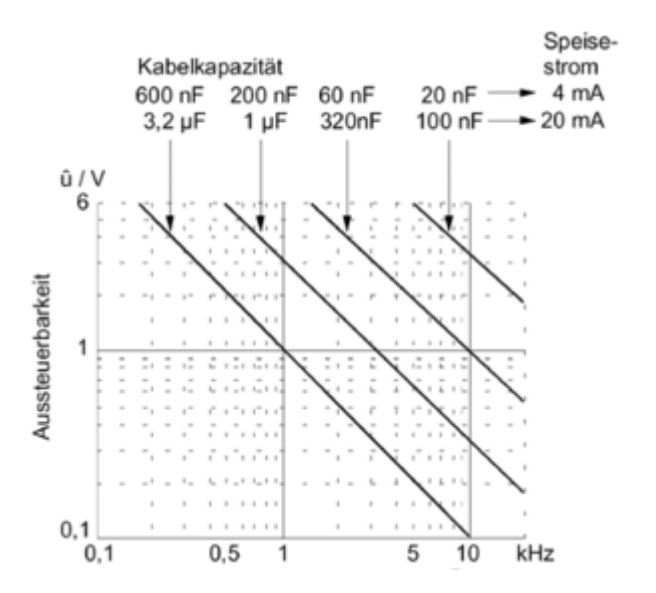
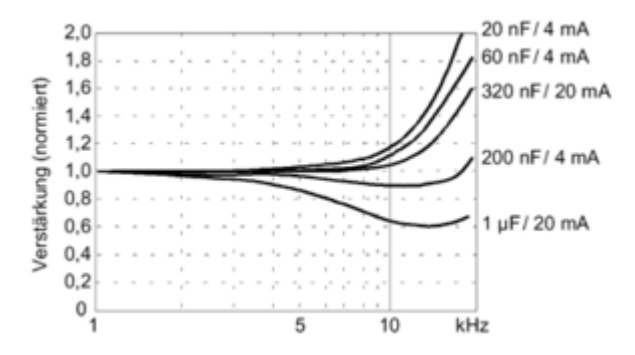


Abbildung 2.7: Verstärkung eines IEPE-Sensors in Abhängigkeit der angeschlossenen Kabelkapazität,des Konstantstroms und der zu untersuchenden Frequenz [5].



 $0\ Hz$ sein. Die untere technisch realisierbare Grenzfrequenz setzt sich aus der Summe der Zeitkonstanten des Sensors und der Konstantstromquelle zusammen. Diese werden in der Regel durch den Ausgangswiderstand und der Kapazität der jeweiligen Elemente bestimmt und bilden ein Hochpass-Filter.

Es lässt sich festhalten, dass bei der Entwicklung eines Messsystem mit IEPE-Konditionierung neben der richtigen Auswahl der Sensoren auch die richtige Dimensionierung der Signalkonditionierung entscheidend ist, um das gewünschtes Frequenz- und Dynamikverhalten des Datenerfassungssystem zu erhalten.

Die hier vorgestellte IEPE-Konditionierung besitzt eine Reihe von Vorteilen. Die Empfindlichkeit der Sensoren wird nicht durch die Länge und die Art des angeschlossenen Kabel beeinflusst und der niederohmige Ausgang der IEPE-Sensoren erlaubt einen Anschluss von langen Messleitungen. Alternativ ist es auch möglich Kabel zu verwenden, die nicht speziell gegen Störsignale geschützt sind. Zur einfachen Bedingung des Messsystems ist eine Selbsttestfunktion möglich². Dem gegenüber stehen im wesentlichen der Nachteil, dass durch die eingebaute Elektronik im Sensor eine

²Bei korrekter Funktionsfähigkeit muss die Spannung am Eingang des DAQ vor der Hochpassfilterung im Bereich der Arbeitspunktspannung liegen. Kann keine Spannung gemessen werden oder ist die Spannung höher als der höchste zulässige Spannungswert kann ein Defekt vorliegen.

zusätzliche interne Rauschquelle vorhanden ist.

2.2.3. MESSKABEL

Unter den Begriff "Messkabel" wird in dieser Arbeit auf die Begriffsbestimmung nach Slavik verwiesen. Nach Slavik[28] sind die Begriffe Leiter, Ader, Leitung und Kabel zu unterscheiden. Ein Kabel ist eine Leitung die zusätzlich durch einen Mantel (z.B. aus PVC) gegenüber Umwelteinflüssen geschützt ist. Eine Leitung besteht im aus mindestens zwei Adern, welche die kleinste Komponente eines Kabels darstellt und aus einen leitenden Material besteht. Eine Ader kann dabei "[...] aus einen einzelnen, starren Draht oder mehreren flexiblen, litzenförmigen Drähten [...] "[28, S.947].

Im vorherigen Abschnitt zur IEPE-Konditionierung wurde bereits ein Vorteil dieses Standards vorgestellt. Durch die Verwendung einer internen Sensorelektronik die nur noch mit einem Konstantstrom versorgt werden muss sinken die Anforderungen die an die Messkabel gestellt werden müssen. Das ist gerade für Mehrkanalsysteme mit langen Kabellängen wichtig, weil so hohe Kosten durch die Kosten pro laufenden Kabelmeter eingespart werden können. Unter Berücksichtigung der IEPE-Konditionierung stellen Koaxialkabel als Messkabel eine preiswerte und qualitativ angemessene Möglichkeit zur Verbindung der Sensoren mit der DAQ-Hardware dar.

Zur Überprüfung der Eignung der Kabel sind die elektrischen und mechanischen Eigenschaften des Kabel zu untersuchen und mit den Anforderungen des jeweiligen Einsatzgebiet zu vergleichen.

Analoge Verbindungen sind anfällig für elektromagnetische Störungen und müssen aufgrund dessen gegen selbige geschützt werden [28, S. 967]. Zur Reduzierung der Anfälligkeit der Messsignal, auf der Übertragungsstrecke, können die analogen Verbindungen mit einer elektronischen Symmetrierung ausgestattet werden. Weiterhin ist die Verwendungen einer abgeschirmten Leitung möglich [28]. Die Abschirmung fängt Störsignale ab und leitet sie gegen die Signalmasse ab. Die Wirkung der Abschirmung ist nach der Meinung von Slavik jedoch nur bei tief- bis mittelfrequenten kapazitiven Störungen wirklich effektiv [28, S. 971].

Eine wesentlich Frage bei der Auswertung von mehrkanaligen Messsystem ist immer die Frage der Latenz der einzelnen Kanäle zueinander. Das ist bei Kabellänge von $\leq 100~m$ jedoch zu vernachlässigen, weil die Ausbreitungsgeschwindigkeit in Kupferleitungen so hoch ist, dass eine Latenz quasi nicht vorhanden ist. Längenunterschieden der einzelnen Messkabel führen daher zu keinem nennenswerten Fehler in der Datenerfassung.

Koaxialkabel

Durch die etwas aufwendigere IEPE-Sensorelektronik der entsprechenden Sensoren ist es einfache Koaxialkabel zu verwenden ohne auf hohe Ansprüche zur Messqualität erwarten zu müssen. Die elektrischen und mechanischen Eigenschaften und die, je nach Typ, geringen Kosten pro laufenden Meter sind Grund für einen verbreiteten Einsatz dieser Kabel in der Messtechnik. Mit einem Koaxialkabel können hochfrequente analoge Signal übertragen werden. Es ist ein zweipoliges Kabel mit konzentrisch angeordneten Kreisen. Ein Innenleiter wird in einem konstantem Abstand von einem Außenleiter umgeben. Dieser ist hohl-zylindrisch ausgeführt und schirmt den Innenleiter vor kapazitiven Störsignalen ab. Zwischen dem Innen- und Außenleiter ist ein Dielektrikum angeordnet. Um den Außenleiter ist außerdem noch ein Mantel angebracht um das Messkabel vor Schäden durch Umwelteinwirkungen zu schützen.

In der elektrischen Betrachtung des Koaxialkabels stellt der Außenleiter die Abschirmung (Signalmasse) dar und der Innenleiter die Signalführung (Ader) dar. Je nach Ausführung der Kabel kann zwischen Dielektrikum und den Innen- bzw. Außenleiter noch ein weiteres Material angebracht werden um ein spezielles Rauscharmess Kabel zu erhalten. Außerdem kann durch die Verwendung eines Dielektrikums mit geringem Verlustfaktor die Signaldämpfung des Kabels verringert werden. Eine wichtige Kenngröße von Kabel ist der Wellenwiderstand. Für typische Anwendungen in der akustischen Messtechnik werden Koaxialkabel mit einem Wellenwiderstand von 50 Ω verwendet. Er ist unabhängig von der Leitungslänge und Signalfrequenz. Das elektrische Ersatzschalt-

bild eines Kabels enthält sowohl resistive, als auch kapazitive und induktive Komponenten. Daher muss bei der Entwicklung eines Datenerfassungssystems ebenfalls das frequenzabhängige Verhalten der Messkabel berücksichtigt werden. Der Frequenzgang der Kabel wird durch die Angabe des Induktivitäts- und Kapazitätsbelag gekennzeichnet. Diese geben an wie groß die Induktivität oder Kapazität eines Kabels mit einem Meter Länge ist. Die Gesamtdämpfung des Signals ist somit von der Signalfrequenz und der Gesamtlänge des Kabels abhängig. Der Dämpfungsfaktor beschreibt in de Regel die Dämpfung des Signals bei einer bestimmten Frequenz bezogen auf einen Meter Länge. Zur Abschätzung der Ausbreitungsgeschwindigkeit in der jeweiligen Leitung wird der Verkürzungsfaktor angegeben. Es beschreibt das Verhältnis der Ausbreitungsgeschwindigkeit von Licht in der Luft zu der Ausbreitung der Elektronen in dem Kabel. Zur Verbindung des Koaxialkabel an die Hardware und die Sensoren werden üblicherweise BNC-Steckverbinder verwendet und können für Frequenzen bis maximal 1 - 4 GHz verwendet werden.

2.2.4. HARDWARE

Zur angemessenen Dimensionierung der Hardware eines Datenerfassungssystem sind verschiedene Faktoren zu berücksichtigen. Die wichtigsten Punkte sind die Art und Anzahl der Sensoren, die Position der Sensoren bezogen auf die Datenerfassungshardware, die Art der Signalkonditionierung und die Messumgebung.

Die Hautaufgabe der DAQ-Hardware stellt die Analog-Digital-Wandlung der analogen Signale der Sensoren in digitale Signale zur Weiterverarbeitung, Analyse, Darstellung und Speicherung im Host-PC. Moderne DAQ-Hardware enthält mehrere Komponenten z.B. A/D-Wandler, Takt-Generator, Prozessors, Bus-Systeme um eine hochwertige Signalerfassung zu ermöglichen. Ein sehr wichtige Komponenten ist, wie bereits erwähnt der A/D-Wandler. Dieser muss entsprechend der zu erfassenden Signale dimensioniert sein. Zu den wichtigen Eigenschaften des A/D-Wandler gehören der Dynamik-Bereich, die Amplitudenauflösung und die zeitliche Genauigkeit.

Die Güte der Amplitudenauflösung wird in der Regel mit dem LSB angegeben. Es beschreibt das Verhältnis des Eingangsbereichs (analoge Spannungswerte die ein gültiges digitales Wort erzeugen) zu der Anzahl der Quantisierungsstufen des A/D-Wandlers und stellt die Abstände der einzelnen Quantisierungsstufen zueinander dar. Für bipolare koventionelle A/D-Wandler kann die Auflösungen nach gemäß 2.12 berechnet werden.

$$LSB = q = \frac{|U_{max} - U_{min}|}{2^{N}}$$
 (2.12)

Ein 24 Bit A/D-Wandler mit einem Eingangsbereich von $U_{min}=-10~V$ bis $U_{max}=10~V$ besitzt eine theoretische Amplitudenauflösung von LSB=1, 19 μV . Durch die Quantisierung wird ein Fehler gemacht der nicht reversibel ist. Bei einem ideal äußert sich dieser Fehler als sogenannten Quantisierungsrauschen, welches gleichverteilt von -LSB/2 bis +LSB/2 ist. Die Leistung des Quantisierungrauschens hängt nur von der Auflösung des A/D-Wandlers ab.

Für eine möglichste genaue Umwandlung der analogen Signalen muss der Eingangsbereich des A/D Wandlers mit dem Ausgangsbereich der Sensoren übereinstimmen. Übersteuerungen sind zu verhindern, weil ein A/D-Wandler empfindlich auf solche reagiert [28, S. 967]. Durch eine Übersteuerung werden zusätzliche harmonische Verzerrungsprodukte ³.

In der modernen Messtechnik hat sich die Verwendung von $\Delta\Sigma$ -Wandler als Stand der Technik durchgesetzt. Diese Wandler besitzen ein grundsätzlich anderes Verhalten gegenüber anderen konventionellen A/D-Wandlern 4 und stellt den aktuellen Stand der Technik in der Datenerfassung dar.

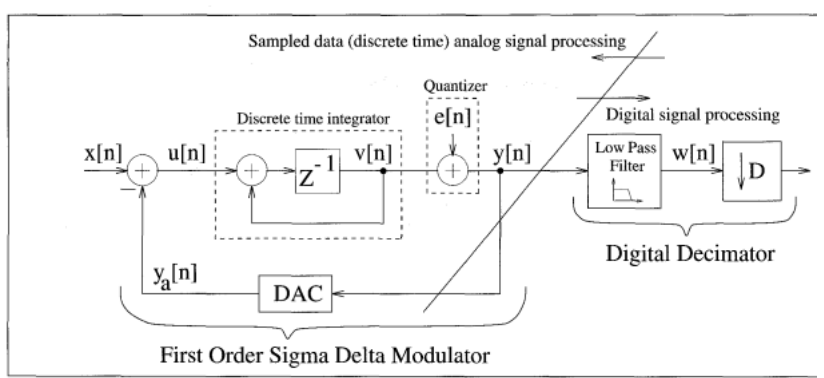
³Die Verzerrungsprodukte entstehen durch das sogenannte "Clipping". Dabei wird das Eingangssignal im obere bzw. unteren Spannungsbereich abgeschnitten und es entstehen rechteckähnliche Signalverläufe. Die wiederum enthalten Frequenzanteile bei den ungeradzahligen Vielfachen der Grundfrequenz.

⁴Unter konventionellen Verfahren sind A/D-Wandler mit den Arbeitsprinzipien der sukzessiven Approximation und Parallel-Verfahren zu nennen.

Ein $\Delta\Sigma$ -Wandler besteht aus einem $\Delta\Sigma$ -Modulator und einem digitalen Dezimator genannt (siehe Abbildung 2.8). Der Wandler konvertiert die Daten mit einen sehr hohen Abtastrate und verschiebt dabei einen gewissen Anteil des Quantisierungsrauschen in einen Frequenzbereich, der außerhalb des zu untersuchenden Messbereichs liegt.

Die Verschiebung der Rauschleistung erfolgt aufgrund des Funktionsprinzips des $\Delta\Sigma$ -Modulators

Abbildung 2.8: Aufbau eines $\Delta\Sigma$ -Wandler 1. Ordnung [6]



8. First order sigma-delta modulator A/D system

(siehe Abbildung 2.8). Der $\Delta\Sigma$ - Wandler verwendet lediglich einen 1-Bit A/D-Wandler. Anschließend wird das quantisierte 1-Bit Signal in einer Rückkopplungsschleife auf das Eingangssignal zurück geführt. Die Differenz des aktuellen Samples des Eingangssignals und dem quantisierten DAC-Ausgangssignals wird auf den Integrator zurückgeführt. Dadurch wird das digitale Signal in der Amplitude "nachgeregelt". Der Modulator arbeitet dabei nicht mit der nominalen Abtastfrequenz, sondern wird um einen bestimmten Faktor überabgetastet betrieben (Oversampling). Die Abtastung des Signals ist dadurch wesentlich höher, als sie mindestens zur Auswertung der maximal darzustellen Frequenz sein sollte. Dadurch kann eine Verbesserung des SNR erreicht werden. Weil das Quantisierungsrauschen unabhängig von der Abtastfrequenz ist und sich breitbandig über die gesamte Signalbandbreite verteilt wird das Quantisierungsrauschen um den Überabtast-Faktor reduziert [29]. Außerdem kann ein weniger steilflankiges Anti-Aliasing-Filter verwendet werden, weil die maximale zu untersuchende Frequenz nicht mehr so dicht an der Nyquist-Frequenz liegt. Der Vorgang der Reduzierung des Quantisierungsrauschens durch eine erhöhte Abtastrate wird als Noiseshaping bezeichnet.

Die Übertragungsfunktion des $\Delta\Sigma$ -Modulators lautet

$$Y(z) = X(z) \cdot H_x(z) + E(z) \cdot H_e(z)$$
(2.13)

Die Z-Transformierte des Quantisierungsrauschen wird durch den Term E(z) beschrieben. Unter der Annahme eines idealen DACs und der Übertragungsfunktion des Intergrators mit $H_x(z) = \frac{z^{-1}}{1-z^{-1}}$ lautet die Übertragungsfunktion des Modulators aus (2.13)

$$Y(z) = X(z) \cdot z^{-1} + E(z) \cdot (1 - z^{-1})$$
(2.14)

Die Gleichung (2.14) stellt die Signalübertragungsfunktion z^{-1} und die Rauschübertragungsfunktion $1-z^{-1}$ dar. Für das abgetastete Signal im Zeitbereich gilt für (2.14)

$$y[n] = x[n-1] + e[n] - e[n-1]$$
(2.15)

Die Gleichungen (2.15) und (2.14) zeigen, dass das Ausgangssignal des Modulators 1. Ordnung aus der Summe des spektral geformten Quantisierungsrauschen (Noiseshaping 1. Ordnung) und dem,

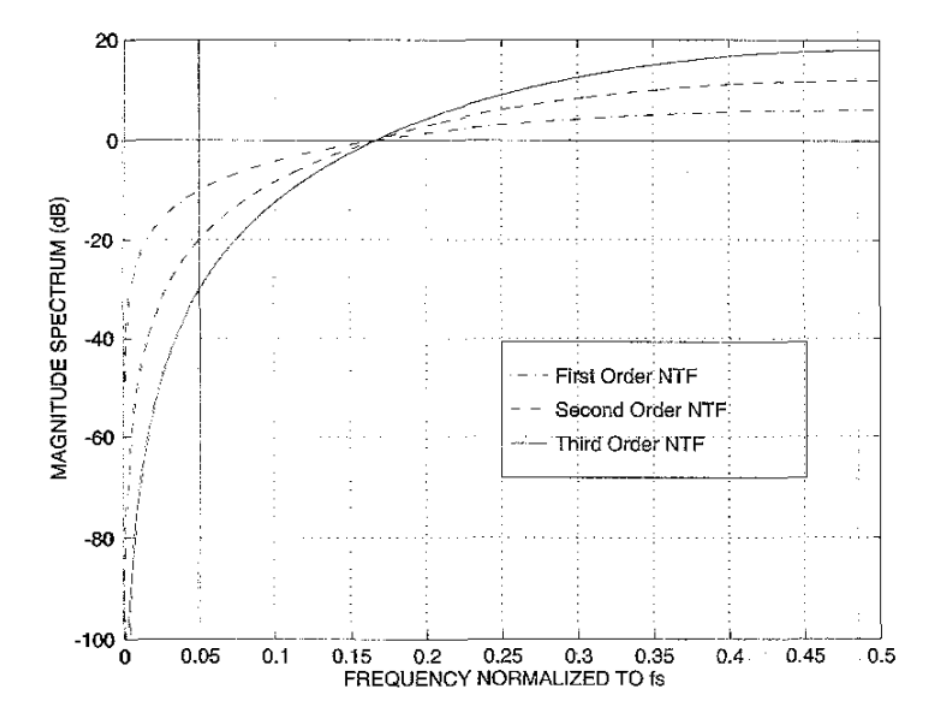


Abbildung 2.9: Übertragungsfunktion des Noiseshaping 1./2. und 3. Ordnung [6]

um ein Sample verzögertem Eingangssignal besteht. Die spektrale Formung durch die Rauschübertragungsfunktion entspricht dabei einer Hochpassfilterung. Unter Berücksichtigung des Oversamplings-Faktors r gilt $2^r = \frac{f_s}{2 \cdot f_B}$. Nach [6] berechnet sich das Signal zu Rauschverhältnis (SNR) am Ausgang des $\Delta\Sigma$ -Modulators dann folgendermaßen

$$SNR = 10 \cdot \log(\sigma_x^2) - 10 \cdot \log(\sigma_e^2) - 10 \cdot \log(\frac{\pi^2}{3}) + 9,03 \cdot r.$$
 (2.16)

Jede Verdopplung des Over-sampling-Faktors verbessert das SNR um 9 dB. Das entspricht einer Verbesserung der Auflösung um 1,5 Bit.

Die Güte eines A/D-Wandler wird nicht nur durch das SNR wiedergegeben, sondern durch weitere Werte wie die THD, SFDR, SINAD und ENOB. Diese Parameter können mit einer FFT-basierten Analyse ermittelt werden.

Der THD oder Klirrfaktor stellt das Verhältnis des Effektivwertes der Signalamplitude zur der Summe des Effektivwertes der harmonischen Schwingungen dar. Der Klirrfaktor kann in dBc oder dBFS gemessen werden. Durch dBC wird das Verhältnis zur aktuellen Eingangsamplitude berücksichtigt, während durch das Messen in dBFS dass Verhältnis zum gesamten Eingangsbereich berücksichtigt wird. Mit der Ordnung K der Harmonischen Verzerrungen des Eingangssignalfrequenz f_a und der Abstastrate f_s können die Frequenzen der zu erwartenden harmonischen Verzerrungen f_{HD} berechnet werden [30].

$$f_{HD} = \left| \pm K \cdot f_s \pm n \cdot f_a \right| \tag{2.17}$$

$$THD[dB] = 20 \cdot \lg \left(\frac{U_2^2 + U_3^2 + U_4^2 + \dots + U_n^2}{U_1^2} \right)$$
 (2.18)

Unter Berücksichtigung der Rauschleistung inklusive der Effektivwerte der harmonischen Verzerrungen kann das SINAD berechnet werden [30].

$$SINAD = 10 \cdot \lg \left(\frac{P_S}{P_D + P_N} \right) \tag{2.19}$$

Das SFDR beschreibt den Abstand der Amplitude des Eingangssignal zur größten Störkomponente im FFT-Analysefenster. Eine in der Praxis relevante und aussagefähige Größe ist die ENOB, die effektive Anzahl der Bits.

$$ENOB = \frac{SINAD - 1,76}{6,02} \tag{2.20}$$

Sie beschreibt im Gegensatz zum theoretisch erreichbaren SNR bei der Angabe der Amplitudenauflösung, welche Auflösung tatsächlich vorhanden ist.

2.2.5. SOFTWARE

Neben der Hardware ist die Software für ein PC-basiertes Messsystems ebenfalls von herausragender Bedeutung. Damit die Software zuverlässig funktioniert muss ein entsprechendes Betriebssystem vorhanden sein, welches die grundlegende Kommunikation zwischen den Systemkomponenten wie z.B. die Festplatte und Bildschirm und der Software zu Verfügung und verwaltet die Ressourcen des Computers.

2.3. DIGITALE SIGNALVERARBEITUNG

In der Regel liegen die zu untersuchenden Signale zu Beginn als analoges Signal vor. Das bedeutet sie enthalten eine wechselnde Amplitude bezogen auf die Zeit mit kontinuierlichen Werte- und Zeitbereich. Die Stärke eines analogen Signals hängt von der Variation der Amplitude, dem Zeitverlauf und den Frequenzanteilen des Signals ab. Generell sind die analogen Signale zwischen DC-Signale und AC-Signale zu unterscheiden. Die analogen DC-Signale sind statische bzw. langsam variierende Signale. Die Information dieses Signaltyps liegt in der Höhe seiner näherungsweise konstanten Amplitude.

Die Information eines analogen **AC!**-Signale liegt nicht in der Höhe der Amplitude zu einem Zeitpunkt, sondern auch über im Zeitverlauf der variierenden Amplitude. Die Form des Signals und die Lage der Signalspitzen liefern die Information zum gesamten Signal.

Ein analoges Signal besitzt einen kontinuierlichen Werte- und Zeitbereich. Durch eine zeitliche Abtastung wird aus dem analogen Signal ein zeitdiskretes und wertekontinuierliches Signal. Die mathematische Beschreibung der idealen Abtastung im Zeitbereich entspricht einer Multiplikation mit einer Dirac-Stoßfolge [8, S. 153]

$$x_A(t) = x(t) \cdot \sum_{n = -\infty}^{\infty} \delta(t - nT) = x(t) \cdot \delta(t - nT) = x[n]$$
(2.21)

Die technische Realisierung der Abtastung kann mit einem sogenannten Sample and Hold-Glied (SH) durchgeführt werden. Durch die Abtastung wird das analoge Eingangsignal im Zeitbereich diskret. Die Abtastung hat im Frequenzbereich eine periodische Fortsetzung des Eingangsspektrum periodisch zur Folge. Es werden bei ganzzahligen vielfachen der Abtastfrequenz f_s jeweils ein Spiegelspektrum und das Eingangsspektrum abgebildet. Die zeitliche Abtastung eines Signal kann unter bestimmten ein reversibler Prozess sein. Es ist mit einem entsprechend dimensionierten D/A-Wandler möglich das Eingangssignal ohne Fehler im Zeitbereich wiederherzustellen. Eine Bedingung dafür wird als Nyquist-Abtasttheorem bezeichnet.

$$f_{max} \le \frac{f_s}{2} \tag{2.22}$$

Nach (2.22) muss für eine fehlerfreie Rekonstruktion im Zeitbereich die Abtastrate des SH-Gliedes mindestens doppelt so groß sein, wie die höchste im Signal vorhandene Frequenz sein. So wird die spektrale Überlappung (Aliasing) des abgetasteten Signals verhindert (siehe Abbildung ??). Je größer die Abtastrate ist, desto weiter sind die periodischen Spektren voneinander entfernt. Um

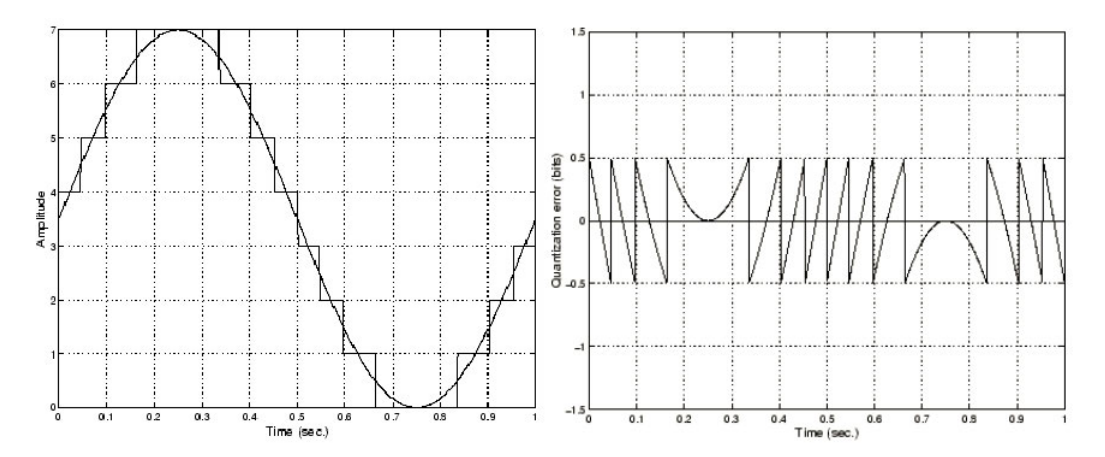
die maximal enthaltene Signalfrequenz zu begrenzen und somit Aliasing-Artefakte zu verhindern wird das Eingangssignal vor der A/D-Wandlung mit einem Anti-Aliasing-Filter (Tiefpass-Filter) gefültert

Zusätzlich zum reversiblen Prozess der zeitlichen Abtastung muss das analoge Signal für die digitale Signalverarbeitung auch noch im Amplitudenwertebereich diskretisiert werden. Dieser Vorgang wird als Quantisierung bezeichnet. Der Fehler der beim Quantisieren entsteht ist nicht reversibel und äußert sich als zusätzliches Rauschen. Das Quantisierungsrauschen entsteht durch Rundungsfehler aufgrund der Begrenzung des unendlichen Wertebereichs in einen diskreten Wertebereich mit einer endlichen Anzahl von Amplitudenwerten. Die Leistung des Quantisierungsrauschen e hängt dabei von der Anzahl der Quantisierungsstufen bzw. der kleinsten darstellbaren Amplitude (q,Auflösung) ab.

$$P_{Quantisierung} = \frac{1}{q} \cdot \int_{-\frac{q}{2}}^{\frac{q}{2}} e^2 de = \frac{q^2}{12}$$
 (2.23)

Das Quantisierungsrauschen wird durch jeden A/D-Wandler hinzugefügt und kann nur verringert, jedoch nicht verhindert werden (siehe Abbildung 2.10). Wenn das Eingangssignal den gesamten gül-

Abbildung 2.10: Vergleich des Signalverlaufs eines zeitdiskreten Signals mit hoher und niedriger Amplitudenauflösung (links) und des dazugehörigen Quantisierungsfehlers (rechts)[7]



tigen Eingangsbereich des A/D-Wandler abdeckt ist der A/D-Wandler voll ausgesteuert. Der Quantisierungsfehler ist unter dieser Bedingung nahezu gleichverteilt mit Werten von $\pm q/2$ (siehe Abbildung 2.10) und besitzt einen Mittelwert gleich Null. Sollte das Signal den A/D-Wandler übersteuern clippt das quantisierte Signal. Am Eingang des A/D-Wandler liegt in diesem Fall eine zu hohe Amplitude vor, welche nicht mehr linear mit einem gültigen Codewort abgebildet werden kann. Die hohen Amplituden werden auf den höchsten darstellbaren Wert abgebildet. Für sehr hohe Amplituden, die außerhalb des Wertebereichs des A/D-Wandler liegen entsteht ein rechteck-ähnlichen Ausgangssignal mit nicht-linearen Frequenzkomponenten.

Um das Quantisierungsrauschen zu verringern kann die Noiseshaping-Technik angewendet werden. Sie wurde bereits in Zusammenhang mit dem $\Delta\Sigma$ -Wandler erwähnt und beschreibt die spektrale Formung des Quantisierungsrauschens. Aus der Kombination des Noiseshapings und der Überabtastung wird das effektiven SNR der Analog-Digital-Wandlung durch einen $\Delta\Sigma$ -Wandler wesentlich verbessert.

Die A/D-Wandlung liefert aus einem analogen Eingangsignals ein digitales Ausgangssignal mit einem diskreten Amplituden- und Zeitbereich. Diese Art der Signale können im Computer gespeichert, weiterverarbeitet und analysiert werden.

Ein Analyse-Möglichkeit von digitalen Signalen ist die FFT-Analyse. Die FFT stellt ist ein optimierte Berechnungsalgorithmus für die DFT. Mit der diskreten Fouriertransformation ist es möglich das

Spektrum eines zeitdiskreten Signales zu berechnen. Die vollständige Fouriertransformation lautet

$$X_A(j\omega) = \sum_{n = -\infty}^{\infty} x[n] \cdot e^{-jn\omega T} . \qquad (2.24)$$

Um das Spektrum des Signals zu berechnen wäre eine vollständige Betrachtung von $-\infty$ bis ∞ notwendig. In der Realität lässt sich das nicht umsetzten und so wird der Bereich des Signals, welcher zu Analyse genutzt wird, auf maximal N Werte eingeschränkt. Die Berechnungsvorschrift der DFT lautet (siehe Gleichung (2.25))):

$$X[m] = \sum_{n=0}^{N-1} x[n] \cdot e^{-j2\pi \frac{mn}{N}}$$
 (2.25)

Die inverse Rechenvorschrift zur Berechnung des Zeitsignals x[n] aus dem Spektrum X[m] wird als IDFT bezeichnet und in Gleichung (2.26) bezeichnet.

$$x[n] = \frac{1}{N} \sum_{m=0}^{N-1} X[m] \cdot e^{j2\pi \frac{mn}{N}}$$
 (2.26)

Das DFT-Spektrum ist diskret und periodisch. Die Berechnung der DFT bei der Frequenz m benötigt genau N komplexe Multiplikationen. Das gesamte DFT-Spektrum erfordert N^2 Multiplikationen. Die Berechnung eines Spektrums kann deshalb eine hohe Berechnungszeit benötigen. Um das Ergebnis in angemessener Zeit zu berechnen wurden verschiedenen Algorithmen entwickelt um die Rechenzeit durch Reduzierung der Anzahl der Multiplikationen zu verkürzen. Aufgrund der Periodizität der harmonischen Funktionen sind viele Zwischenergebnisse identisch. Der FFT-Radix 2 Algorithmus vermeidet die Berechnung der redundanten Terme der DFT und benötigt nur N komplexe Multiplikationen [8, S. 175].

Die Analyse eines Zeitsignals mit der FFT fügt aufgrund der Betrachtung eines endliche langen Zeitraumes (Zeitfensterung durch Betrachtung von maximal N Samples) immer einen gewissen Fehler hinzu. Die FFT bezieht sich auf ein periodisch fortgesetztes Signal. Besitzen Signalanfang und -ende einen hohen Unterschied in ihrer Amplitude entstehen hochfrequente Signalanteile aufgrund der periodischen Fortsetzung des Zeitfenster. Diese Signalanteile sind somit künstlich durch die Fensterung dem Signal hinzugefügt worden. Dieser Effekt wird auch als spektraler Leck-Effekt bezeichnet. Durch die Gewichtung des Signale innerhalb eines zeitlich begrenzten Analysefensters kann dieser effektiv verringert werden.

Es gibt viele verschiedene Fensterfunktionen die verwendet werden können. Sie unterscheiden sich im maximal möglichen Amplitudenfehler, der Hauptkeulenbreite, und der Höhe der Nebenkeulen. Welches Fenster für eine Anwendung verwendet wird hängt von jeweiligen Aufgabenstellung ab. Zwei wichtige Fensterfunktionen sind das Hanning-Fenster und das Flat-Top-Fenster (siehe Gleichungen (2.27) und (2.28) nach [8]).

$$w[n] = 0, 5 - 0, 5 \cdot \cos\left(\frac{2\pi n}{N}\right)$$
 (2.27)

$$w[n] = a_0 - a_1 \cdot \cos\left(\frac{2\pi n}{N-1}\right) + a_2 \cdot \cos\left(\frac{4\pi n}{N-1}\right) - a_3 \cdot \cos\left(\frac{6\pi n}{N-1}\right) + a_4 \cdot \cos\left(\frac{8\pi n}{N-1}\right)$$
 (2.28)

Mit $a_0=0,2155$, $a_1=0,4159$, $a_2=0,2780$, $a_3=0,0836$, $a_4=0,0070$. Das Flat-Top-Fenster kann immer verwendet werden, wenn eine hohe Amplitudengenauigkeit bzw. geringer Amplitudenfehler notwendig ist [31]. Der Amplitudenfehler des Flat-Top-Fensters liegt praktisch bei Null wo hingegen das Hanning-Fenster einen Amplitudenfehler von etwa -1,5~dB besitzt. [8, S. 195]. Demgegenüber steht die frequenzselektive Auflösung der jeweiligen Fenster. Nach [8] weist das Flat-Top-Fenster

die schlechteste Frequenzauflösung auf. Einen angemessenen Kompromiss zwischen maximalen Amplitudenfehler und Frequenzauflösung stellt das Hanning-Fenster dar. Gerade bei der Analyse unbekannter Signale empfiehlt es sich dieses Fenster zu benutzen.

Die FFT-basierte Analyse umfasst nach Ansicht von Meyer [8] sechs Bearbeitungsschritte (siehe Abbildung 2.11).

Abbildung 2.11: Darstellung der prinzipiellen Elemente eines FFT-Prozessors[8]

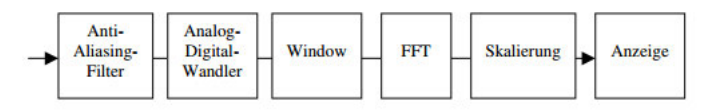


Bild 5.33 Blockschema des FFT-Prozessors

Die ersten beiden Schritte (Anti-Aliasing-Filter und A/D-Wandler) wurden bereits mit der Hardware-Beschreibung besprochen. Die Notwendigkeit der Fensterung wurde in diesem Abschnitt erläutert und auch zwei verschiedene Fenster vorgestellt. Genauso wie die Berechnung der FFT. Das Ergebnis der Berechnung des Spektrum liefert ein Zwei-Seiten-Spektrum mit N-Punkten. Das Ergebnis ist komplex und enthält Informationen sowohl über die Amplituden, als auch der Phase der Signals. Die Frequenzauflösung (Abstand der Spektrallinien zu einander) von $\Delta f = \frac{f_s}{N}$. Die Signalinformationen liegen im Frequenzbereich von 0Hz bis $\frac{f_s}{2}$.

2.4. ARRAYMESSTECHNIK

Zur Untersuchung von Schallfeldern ohne Rückwirkung auf die Quelle können Mikrofonarray-Systeme (wird auch als akustische Antenne bezeichnet) verwendet werden. Sie können je nach Dimensionierung Schallquellen lokalisieren und die Stärke des Quelle bestimmen.

Das Grundprinzip beruht auf der Auswertung der Laufzeit- und Pegelunterschiede zwischen den verteilten Mikrofonen. Dieses Prinzip wird auch Beamforming, die räumliche diskrete Abtastung durch mehrere Sensoren, genannt. Um eine möglichst hohe räumliche Abstastung zu bekommen müssen dem entsprechend viele Mikrofone verwendet werden. Je nach Messort und Messumgebung kann die Anzahl der Sensoren variieren.

Bei der Arraymesstechnik ist neben dem zeitlichen Abtasttheorem auch ein räumliches Abstasttheorem zu beachten

$$d \le \frac{\lambda}{2} \text{ für } \Theta = 90^{\circ} \tag{2.29}$$

Die Wellenlänge muss nach (2.29) doppelt so groß sein wie der Abstand der Mikrofone zu einander. Daraus ergibt sich auch der maximale mögliche Aufnahmewinkel für das Array.

Die Fokussierung des Arrays kann elektronisch vorgenommen werden. Eine Variante der elektronischen Fokussierung ist im Delay-and-Sum-Algorithmus implementiert. Dabei wird für ein Array und einen bestimmten Fokussierungswinkel die theoretischen Laufzeitverzögerungen für jedes Mikrofon berechnet [2]. Die so ermittelte Zeit werden anschließend für das jeweilige Mikrofonsignal kompensiert und diese summiert. Dieser Vorgang wird für alle weiteren Fokussierungswinkel wiederholt. In Senderichtung kommt es zu konstruktiven Überlagerungen der Messsignale. Die Pegel sind somit in der Richtung der Schallquelle am größten.

Die Richtwirkung eines Mikrofonarrays ist im wesentlichen abhängig von dem Verfahren und nicht von den Sensoren oder der nachfolgenden DAQ-Hardware. Die Antwortfunktion eines Array ist eine wichtigere Größe wenn mehr als eine Quelle gleichzeitig vorhanden ist, weil das Ergebnis einer Array-Messung aus der Summe der Faltungen der Array-Antwortfunktion mit jeder vorhandenen Quelle entsteht. Besitzt die Antwortfunktion eine hohe Nebenkeulenhöhe kann eine leise Schallquelle von eine in der Nähe befindlichen lauten Schallquelle überdeckt werden.

2.4. Arraymesstechnik 25

Um das Ergebnis des Beamforming zu verbessern ist es möglich die Haupt- und Nebenkeulenhöhen und -breiten zu verändern, indem die Signale der einzelnen Mikrofone gewichtet werden [32]. Von praktischen Interesse ist weiterhin interessant, dass die Mikrofone nicht nur in der Amplitude un Phase kalibriert sein müssen. Es gilt auch eine zulässigen Positionsfehler nicht zu überschreiten, was insbesondere in unwegsamen Gelände schwierig zu realisieren sein kann. Der zulässige Positionsfehler beträgt

$$\Delta x = \frac{\lambda}{36} \tag{2.30}$$

um den dazugehörigen Phasenfehler auf maximal 10° zu begrenzen [32].

ENTWICKLUNG EINES MOBILEN DATENERFASSUNGSSYSTEMS

Für eine Forschungsexpedition im Mai 2014 ist eine akustische Messung der Stromboli Vulkan auf den liparischen Inseln in Italien mit einem 16-kanaligen Mikrofonarray geplant gewesen. Um die Signale aufzunehmen sollte im Rahmen dieser Arbeit ein Datenerfassungssystem entwickelt werden welches die Signale von insgesamt 16 Mikrofonen erfasst und speichert.

In diesem Kapitel wird zunächst der zeitliche Ablauf der Arbeit dargestellt. In Gesprächen mit den zuständigen Verantwortlichen Herr Prof. Dr. Sesterhenn und Frau Stampka M.Sc. wurden die verschiedenen Anforderungen an das Datenerfassungssystem besprochen und regelmäßig reflektiert. Die endgültigen Gesamtanforderungen werden anschließend im Abschnitt 3.1 vorgestellt.

Diese Arbeit fokussierte sich besonders auf die Zusammenstellung geeigneter DAQ-Hardware und Entwicklung einer passenden DAQ-Software-Applikation. Die Auswahl der Mikrofone, sowie der Array-Geometrie und das Beamforming sind nicht Gegenstand dieser Arbeit gewesen.

3.1. Anforderungen und zeitlicher Ablauf der Entwicklung

Die Arbeit an diesem Projekt begann Anfang Januar 2014. Es fanden erste Gespräche mit den Projektverantwortlichen statt und die Erfahrungen der letzten Forschungsreise wurden ausgewertet. Daraus leiteten sich diverse Anforderungen das Datenerfassungssystems ab. Für die Entwicklung eines passenden Datenerfassungssystems musste zuerst nach geeigneten Komponenten recherchiert werden

Zur Beschaffung der DAQ-Komponenten stand ein Budget von insgesamt 20.000 € abzüglich der Kosten für zusätzliche akustische Sensoren und Messgeräte für Umgebungsdaten zur Verfügung. Bei den Mikrofonen sollte das bestehende Inventar von zehn PCB 378B02 Mikrofonen auf insgesamt 17 Mikrofone aufgestockt werden. Die 7 benötigten PCB 378B02 Mikrofone kosteten 6.300 €, und ließen ein effektives Budget von 13.700 £ für ein 16-kanaliges Datenerfassungssystem und Zubehör übrig lassen.

In einer ersten Planungsstufe wurde ein X-Array mit ein Größe von 20~m~x~20~m geplant. Der Messort befindet sich ca. 900 m über dem Meeresspiegel. Es gibt keine direkte Zufahrt zum Vulkan. Der Aufstieg erfolgt über einen ca. dreistündigen Wanderweg. Auf dem Gipfel angekommen soll das Datenerfassungssystem einen zehnstündigen Dauerbetrieb ermöglichen. Das ist nur mit eine ausreichenden Akkuleistung und einem geringen Stromverbrauch möglich.

Bis Anfang Februar wurde nach passenden Systemkomponenten recherchiert. Neben den finanziellen Anforderung mussten natürlich elektrische und mechanische Eigenschaften berücksichtigt werden.

Das DAQ-System wird hauptsächlich auf dem Rücken und mit dem Flugzeug im Handgepäck trans-

portiert. Aus diesem Grund darf das Datenerfassungssystem ohne Kabel maximal 8 kg wiegen und die Abmessungen von 55 cm x 40 cm x 23 cm x nicht überschritten werden. Die Kabel werden im Frachtraum transportiert und vor Ort von einer zweiten Person getragen.

Aus den Erfahrungen von der letzten Expedition [12] war bekannt das der interessierende Frequenzbereich für die Messung im Bereich von 10 Hz bis 2 kHz lag. Das Datenerfassungssystems sollte jedoch nicht nur für die Vulkan-Messung zum Einsatz kommen, sondern auch für weitere Projekte des Institut für Numerische Fluiddynamik der TU Berlin genutzt werden können. Deshalb muss die DAQ-Hardware auch Eingangssignale im Frequenzbereich bis zu 50 kHz verarbeiten können. Die untere Grenzfrequenz soll laut Aussage von Herrn Prof. Dr. Sesterhenn bei höchstens 0,1 Hz liegen. Damit sollte sichergestellt werden, das auch Infraschall-Sensoren an das System angeschlossen werden können.

Der Frequenz- und Phasengang der Hardware muss in diesem Bereich möglichst linear verlaufen. Das es sich um ein mehrkanaliges System handelt muss durch die Hardware auch eine synchrone und sample-genaue Verarbeitung der 16 Eingangskanälen sicherstellen. Für jeden Eingangskanal ist eine IEPE kompatible Signalkonditionierung notwendig, da die bereits vorhanden Mikrofone extern vorpolarisiert sind und nur mit einem Konstantstrom funktionieren. Die maximale Ausgangsspannung der PCB 378B02 Mikrofone beträgt $U_{max} = \pm 7~V$. Der A/D-Wandler muss mindestens einen genauso großen Eingangsbereich besitzen um einer Übersteuerung vorzubeugen und nicht lineare Verzerrungen zu vermeiden. Damit verbunden ist auch die Forderungen nach einem gutem SNR und geringen Klirrfaktor (THD).

Für die Recherche und Entwicklung der Datenerfassung standen insgesamt 5 Monate zur Verfügung, da die Expedition im Mai 2014 beginnen sollte. Bis dahin musste das gesamte Datenerfassungssystem inklusive Software fertig gestellt sein. Aufgrund der unbekannten Lieferzeiten und des relativ geringen Zeitraumes zur Entwicklung und Evaluierung wurde die Idee eines Eigenbau des Datenerfassungssystems verworfen. Durch die relativ hohen Anzahl der benötigten Kanäle (und des zur Verfügung stehenden Budget) war es auch nicht möglich ein Komplett-System zu benutzen. Die Recherche der Komplett-Systeme zeigte, das teilweise nicht alle Anforderungen durch die Komplett-Systeme erfüllt wurden. Gängige Systeme von Herstellern sind z.B die LAN XI Hardware von Brüel & Kjær, das HEAD lab von HEAD acoustics, das NI-CompactDAQ-Chassis von National Instruments, das OAK MKII von Müller-BBM oder das Cronosflex von imc.

Die Recherche zeigte, das ein wesentlicher Nachteil der Komplettsystem in ihrem hohen Gewicht, einem relative großen Energieverbrauch und einem eingeschränkten Frequenzbereich besteht. Im Zuge der Recherche wurde der Einsatz modularer USB-Messboxen aufgrund des geringeren Gewichts und Strombedarf bevorzugt recherchiert. Es gibt zahlreiche Anbieter von gleichwertigen USB-Messboxen z.B. SINUS Messtechnik GmbH, ROGA Instrument, disynet GmbH oder die GOLDAM-MER GmbH. Unter Berücksichtigung der Anforderungen zeigte das Angebot vier-kanaliger USB-Messgeräte der Firma Data Translation angemessene Möglichkeit zum Einsatz im DAQ-System. Andere Systeme besaßen nur eine Auslösung von 16-Bit oder eine zu geringe Abtastrate bzw. eine zu hohe untere Grenzfrequenz.

Um festzustellen ob die USB-Messgeräte von Data Translation wirklich geeignet waren wurde eine Teststellung gemacht um die verschiedenen Parameter und die Benutzeroberfläche der DT9837 Module in einem ersten Test überprüfen zu können. Ein zweiter Schwerpunkt lag in der Untersuchung wie sich die DT9837 Module mit MATLAB programmieren lassen. Die Teststellung traf Anfang Februar ein und stand zwei Wochen zu Untersuchung zu Verfügung.

Anfang März lagen die Ergebnisse der Teststellung vor und es konnten verschiedene Konfigurationen des Datenerfassungssystems besprochen werden. Es wurden unter anderem die verschiedenen Vor- und Nachteile unterschiedlichen Messsysteme besprochen. Außerdem wurde der Einsatz eines Einplatinen-Rechner als Host-PC geklärt. Bei diesem Gespräch wurde auch entschieden das bei dem 16-kanaligen System ein Mikrofon ein Infraschall-Mikrofon sein sollte. Das Infraschall-

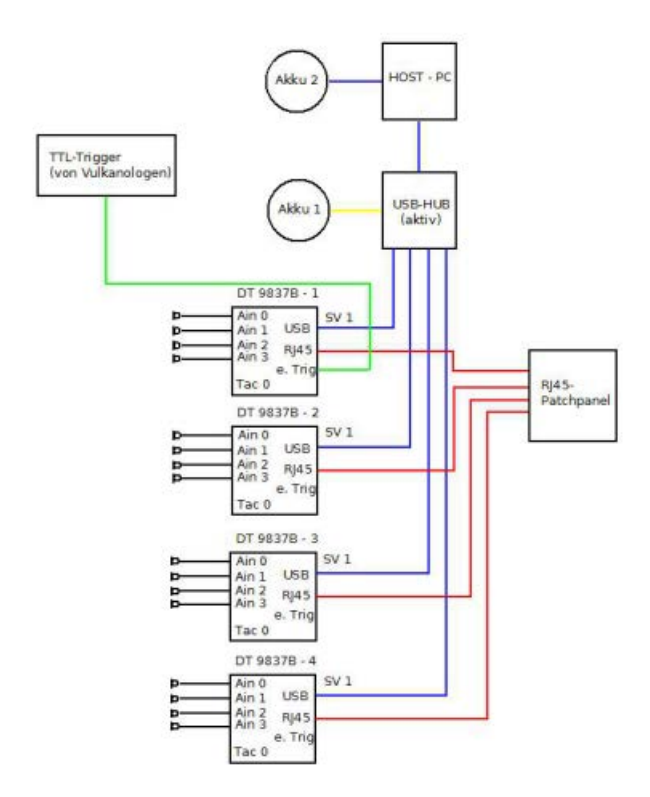
Mikrofon soll vergleichbare Ergebnisse zu anderen akustischen Vulkan-Studien ermöglichen, die im wesentlichen eine Analyse im Infraschall-Bereich ($f \le 20~Hz$) vorgenommen haben.

Mitte März 2014 wurde die Bestellung von vier DT9837B Modulen in Auftrag gegeben. Auf Anfrage wurde eine Sonderfertigung mit einem $0,1\,Hz$ Hochpass-Filter geliefert. Das Datenerfassungssystem arbeitet PC-gestützt und kann mit der Data Acquisition Toolbox von MATLAB gesteuert werden. Eine Software, welche die Messaufgaben für die Expedition erfüllt, gab es nicht. Diese wurde für die Expedition erstellt und an das System angepasst. Die Entwicklung der Messsoftware erfolgte von Anfang April bis Anfang Mai. Es wurde eine komplette Nutzeroberfläche erstellt, da die mitgelieferte Software nicht die gewünschten Funktionen zur Verfügung stellte und nicht flexibel anpassbar war.

3.2. Mobile Array Measurement System

Das PC-gestützte Datenerfassungssystems MAMS misst die elektrischen Signale von bis zu 16 Eingangskanälen. Die dazugehörige DAQ-Software ist als Programm in MATLAB, unter Verwendung der Data Acquisition Toolbox, implementiert. Der Projektname des DAQ-Systems lautet *Mobile Array Mesurement System*. Die Abbildung 3.1 zeigt die Verbindungen der einzelnen Komponenten des MAMS untereinander.

Abbildung 3.1: Übersicht über das MAMS



Das MAMS besteht aus einer Kombination aus USB-Messgeräten und einem Host-PC mit einer MATLAB-basierten Messsoftware. Die verwendeten Mikrofone werden an die Eingangsbuchsen der USB-Messgeräte (DT9837B) angeschlossen. Diese verfügen über eine entsprechende Signalkonditionierung für die Mikrofone. In den DT9837B-Modulen sind vier parallel arbeitende A/D-Wandler integriert. Sie wandeln die elektrischen Signale in digitale um. Die Verbindung der Module mit den RJ45-Panel soll sicherstellen, dass alle Module synchron arbeiten. Die Module sind über einen USB-Hub an den Host-PC mit der Messsoftware angeschlossen. Die Stromversorgung wird durch die in-

ternen Akkus des USB-Hubs und der Akkus des Host-PC sichergestellt. Außerdem steht eine externe Powerbank zur Verfügung.

Bis kurz vor Beginn der Expedition war die Verbindung einer TTL-Quelle von den italienischen Vulkanologen mit dem MAMS vorgesehen. Diese Entscheidung wurde kurzfristig vom Projektverantwortlichen revidiert und die Funktion deshalb aus der Software entfernt.

Durch die Verwendung eines mobilen Host-PC mit einem Windows-Betriebssystems ist es auch möglich die Messung mit einem Remote-PC per LAN-Kabel oder WLAN-Verbindung zum Host-PC fernzusteuern. Das ist besonders bei unzugänglichen oder weit entfernten Messorten vorteilhaft.

3.2.1. Sensoren

Für die Messung der akustischen Signale der Geräusche am Vulkan kamen moderne vorpolarisierte Kondensatormikrofone zum Einsatz. Bereits während der Expedition in 2013 [12] wurden diese Mikrofone eingesetzt. Für eine gute Vergleichbarkeit wurde weitere Einsatz der ICP-Mikrofone PCB 378B02 von PCB Piezotronics auch für die Expedition in 2014 beschlossen. Am ISTA waren bereits zehn Exemplare dieser Mikrofone vorhanden. Für die Array-Messung wurden zusätzlich sieben weitere baugleiche Mikrofone bestellt. Insgesamt standen für die Messung am Vulkan 17 PCB 378B02 zur Verfügung.

Die akustische Messung mit einem Mikrofonarray von Vulkanen in Nahbereich mit einer Entfernung von weniger als $500\ m$ besitzt kaum vergleichbare Messergebnisse. Die meisten akustischen Messungen untersuchen die Geräusche von Vulkanen mit einer geringen Abtastrate im Bereich unterhalb von $20\ Hz$. Um die Ergebnisse der Messung am Stromboli im Mai 2014 mit anderen Forschungsergebnisse vergleichen zu können wurde ein zusätzlicher Infraschall-Sensor für die DAQ-Hardware vorgesehen werden. Nach einer ausführlichen Recherche wurde eine Kombination aus Mikrofonkapsel und Mikrofon-Vorverstärker der Firma G.R.A.S ausgewählt. Die vorpolarisierte Mikrofonkapsel 40AZ besitzt eine untere Grenzfrequenz von $0,2\ Hz$ in Kombination mit dem CCP-Vorverstärker 26CA.

Für die nachfolgende DAQ-Hardware ist es wichtig genau zu wissen elektrischen Signale am Ausgang des Mikrofonvorverstärkers zu erwarten sind. Eine Zusammenfassung der wichtigsten zu berücksichtigen Eigenschaften der Mikrofone sind in der Tabelle 3.1 dargestellt.

Tabelle 3.1: Zusammenfassung der wichtigsten elektrischen und mechanischen Merkmale der PCB 378B02 Mikrofone

	PCB 378B02	G.R.A.S 40 AZ +
		G.R.A.S. 26CA
Durchmesser der Mikrofonmembran	1/2Zoll	1/2Zoll
Mikrofonentzerrung	Freifeld	Freifeld
nomineller Übertragungsfaktor	$50 \ mV/Pa$	50 <i>mV/Pa</i>
Frequenzbereich (±1 dB)	7-10~kHz	1-10kHz
Frequenzbereich (±2 dB)	3.75-20kHz	0.5-20~kHz
untere Grenzfrequenz (– 3 <i>dB</i>)	1-3~Hz	0,2~Hz
Dynamikbereich	$\geq 135 dB_{re\ 20\ \mu Pa}$	$\geq 134 dB_{re\ 20\ \mu Pa}$
Betriebstemperaturbereich	$-40 - 80^{\circ}C$	-40 - 120°C
Polarisationsspannung	0 V (vorpolarisiert)	0 V (vorpolarisiert)
Kapazität der Mikrofonkapsel	12 <i>pF</i>	20 pF
Signalkonditionierung	ICP (IEPE)	CCP (IEPE)
Arbeitspunktspannung	10 - 14 <i>VDC</i>	-
Ausgangsimpedanz	≤ 50 Ω	≤ 50 Ω
maximale Ausgangsspannung	$\pm 7 V_{pk}$	\pm 8 V_{pk}
elektrischer Verbinder	BNC-Steckverbinder	BNC-Steckverbinder

Die vorpolarisierten Mikrofone stellen den aktuellen Stand der Technik dar. Sie sind aufgrund

der Konstantstromtechnik unempfindlicher gegenüber Änderungen der Kabellänge und- Kapazität. Durch die geringen Ausgangsimpedanzen sind die Verluste auf langen Messstrecken ebenfalls gering. Mit diesen Eigenschaften ist es möglich kostengünstige Messkabel z.B. Koaxialkabel für die Messung verwendet werden. Außerdem sind die Kosten für die benötigte Signalkonditionierung gering, weshalb die Kosten pro Kanal insgesamt relativ gering ausfallen.

Das PCB 378B02 ICP-Mikrofon weist einen breiten Übertragungsbereich $(-3\ dB)$ von etwa 3 Hz bis 20 kHz auf. Um in tieffrequenten Bereich unterhalb von 3 Hz messen zu können wird das Mikrofon von G.R.A.S mit einer unteren Grenzfrequenz von 0,5 Hz verwendeten. Be beiden Mikrofonen handelt es sich um IEPE-Mikrofone mit der jeweiligen Herstellerbezeichnungen ICP und CCP. Ein wesentlicher Unterschied beider Mikrofone die maximale Ausgangsspannung der Sensoren. Die ICP-Mikrofone liefern maximal eine Ausgangssignals \pm 7 V. Das CCP-Infraschallmikrofon liefert ein 1 Volt höheres Ausgangssignal mit Werten von \pm 8 V.

3.2.2. Datenerfassung

Die Recherche nach passender DAQ-Hardware zeigte, das modulare USB-Messboxen am geeignetsten für die bevorstehende Messkampagne sind. Es gibt Module mit einer hohen Abtastrate und einem großen linearen Frequenzbereich. Einige Module zeigen ein zufriedenstellendes Rauschverhalten, wobei einige Module auch ein relativ starkes Eigenrauschen vorweisen. Nach der Teststellung im Februar 2014 die wurde die Entscheidung für die USB-Messgeräte der Firma Data Translation getroffen. Durch die flexible Programmierbarkeit mittels MATLAB-Programmcode und technischen Angaben des Datenblatts stellten diese Messmodule eine gute Wahl dar. Die USB-Module sind relativ leicht und besitzen sehr kompakte Abmessungen. Das schwarze Gehäuse besitzt insgesamt 7 BNC-Steckbuchsen, einen RJ45 Port und einen USB 2.0 Port (siehe Abbildung 3.2).

Abbildung 3.2: Blockdiagramm der wesentlichen Komponenten der DT9837B-Module



Auf den Geräten ist jeweils auch das Blockschaltbild des DAQ-Moduls aufgedruckt. Bei den hier vorgestellten Datenerfassungssystem werden insgesamt vier USB-Messmodule eingesetzt. Es handelt sich dabei um eine spezielle Variante der DT9837B-Module¹. Das DT9837B-Modul besitzt vier analoge single-ended BNC-Eingänge an die Sensoren angeschlossen werden können. Ein zusätzlicher Tachometer-Eingang steht ebenfalls zur Verfügung. Dieser findet für das MAMS keine Verwendung. Die Abbildung 3.2 zeigt, dass jede Eingangsstufe der vier BNC-Eingänge aus einem BNC-Steckverbinder, einer IEPE-kompatiblen Konstantstromquelle, einem zuschaltbaren Koppel-Kondensator, einem Operationsverstärker und einem $\Delta\Sigma$ -Wandler besteht. Eine FPGA-Steuerlogik verarbeitet die gewandelten Daten und leitet sie an die USB-Buchse des Moduls, zur Analyse am Host-PC, weiter. Um eine hohe Genauigkeit zu erhalten werden die digitalen Signale der A/D-Wandler in einem FIFO-Buffer zwischen gespeichert. Dadurch können keine Samples verloren gehen. Eine Phasenregelschleife (PLL) leitet aus dem USB-Takt die interne Taktrate des Moduls ab. Die interne Taktrate der Module ist gleichzeitig die Frequenz mit der die $\Delta\Sigma$ -Wandler die elektrischen Ein-

 $^{^1}$ Auf speziellen Wunsch hat Data Translation den Hochpassfilter dr DT 9837B Variante gegen einen Filter mit einer Grenzfrequenz von 0,1 Hz ausgetauscht. Damit stand eine Kombination aus maximale Abtastrate pro Kanal von 105,4 kHz und unterer Grenzfrequenz von 0,1 Hz zur Verfügung.

gangssignale abtasten. Wie bereits im Grundlagen-Kapitel erklärt erreichen die $\Delta\Sigma$ -Wandler ihre Performance unter anderem durch einen hohen Oversampling-Faktor. Die DT9837B-Module können einen maximalen Takt von 27 MHz erzeugen.

SIGNALKONDITIONIERUNG UND A/D-WANDLUNG

Es ist möglich für jede Eingangsbuchse eine zuschaltbare IEPE-Konditionierung einzuschalten. Die Versorgungsspannung der Konstantstromquelle der DT9837B-Module beträgt $18\ V$ mit einem Strom von $4\ mA$. Die analogen Eingangssignale werden mit einem 24-Bit $\Delta\Sigma$ -Wandler in digitale Signale umgewandelt. Die Module wurden entsprechend der Anforderung durch die Mikrofone ausgesucht. Das Infraschall-Mikrofon besitzt einen größeren Ausgangsbereich als die ICP-Mikrofone. Die maximale Ausgangsspannung liegt zwischen $-8\ V$ bis $+8\ V$. Die Arbeitspunktspannung beträgt laut Herstellerangaben ca. $10\ V$. Die untere Aussteuergrenze sollte $1\ V$ nicht unterschreiten um negatives clippen zu verhindern. Der untere Aussteuerungsbereich umfasst

$$NegativeRange = V_{Bias} - V = 10 V - 1 V = 9 V$$
 (3.1)

Der obere Aussteuerungsbereich wird durch die Versorgungsspannung der Kosntantstromquelle bestimmt.

$$positiveRange = (V_{source} - 1) - V_{Bias} = 18 V - 1 V - 10V = 7 V$$
 (3.2)

Es zeigt sich, dass der obere Aussteuerungsbereich des A/D-Wandlers um 1 V kleiner als der maximale Ausgangsbereich des Infraschallmikrofon von G.R.A.S ist. Mit einer typischen Mikrofonempfindlichkeit von 50 mV/Pa erfolgt ein Clippen des Infraschall-Mikrofons ab einem Schalldruck von 140dB. Nach [33] ist die Schallausbreitung in Luft bis zu einem Pegel von 130 dB als linear zu betrachten. Oberhalb dieses Pegeln treten zunehmend nichtlineare Effekte auf. Aus diesem Grund wurde der um 1 V verringerte Aussteuerungsbereich als akzeptabel eingestuft. Außerdem sind Pegel oberhalb von 130 dB aufgrund der Erfahrungen der vergangenen Expedition [12] nicht zu erwarten. Um das Messsignal von der Gleichspannung im Bereich der Arbeitspunktspannung zu trennen wird das Signal mit einem Hochpassfilter gefiltert. Der Gleichspannungsanteil wird durch das Filter ausgesiebt und stellt dem A/D-Wandler anschließend nur das Wechselspannungssignal im Bereich von -7~V bis 8 V zur Verfügung.

Die Analog-Digital-Wandlung erfolgt durch einen überabtastenden $\Delta\Sigma$ -Wandler. Der Eingangsbereich der Wandler kann für jeden Kanal softwareseitig auf zwischen $\pm 10~V$ und $\pm 1~V$ umgeschaltet werden. Die maximale Abtastfrequenz beträgt für diese Gerätevariante f=105,469~kHz. In Abhängigkeit der Abtastrate wird die Grenzfrequenz des Anti-Aliasing-Filter gesetzt. Die Grenzfrequenz des Filters liegt bei $0,49\cdot f_s$. Der gesamte Übertragungsbereich des DT9837B verläuft somit von $0,1~Hz^2$ bis $0,49~cdotf_s$. Für eine Abtastrate von 48~kHz bedeutet dies, dass Frequenzen von 0,1~Hz bis 23,520~kHz ausgewertet werden können.

In Abhängigkeit der Abtastrate wird neben der Grenzfrequenz des Antialiasing-Filters auch die interne Clock-Rate gesetzt. Wenn die vom Benutzer gewünschte effektive Abtastrate kleiner als 52,7 kHz ist, beträgt der Oversampling-Faktor r=512. Liegt die Abtastrate höher als 52,7 kHz beträgt der Oversampling-Faktor r=256. Bei einem Messsystem mit $f_s=48\ kHz$ beträgt der SNR allein durch die Überabtastung bereits 81,27dB. Bedingt durch das Wandlerprinzip ist der $\Delta\Sigma$ -Wandler mit einer erhöhten Gruppenlaufzeit verbunden. Diese beträgt für die DT9837B-Module insgesamt 39 Samples. Diese Laufzeitverzögerung ist für alle Kanäle gleich und wird durch die Geräte-Software kompensiert.

²Wenn der Koppelkondensator zu geschaltet ist.

STROMBEDARF

Die Stromversorgung der Messmodule wird über die USB-Buchsen des Host-PCs sichergestellt. Die DT9837B Variante verfügt über einen USB 2.0 Anschluss mit Hot Swap-Funktion³. Gemäß den Spezifikationen [LITERATURVERWEIS] wird pro USB 2.0 Port eine maximaler Strom von 500 mA bei einer Gleichspannung von \pm 5 V. Die maximale zur Verfügung stehende Leistung an einem USB 2.0 Port beträgt demnach 2,5 W. Laut Herstellerangaben [9] beträgt die typische Leistungsaufnahme der Module 0,425 A bei \pm 0,3 V was einer Leistung von 0,1275 W entspricht (siehe (3.3)).

$$P_{DT9837R} = 0,425 A \cdot 0,3 V = 0,1275 W \tag{3.3}$$

MEHRKANAL-MESSUNG

Ein DT9837B USB-Messgerät besitzt vier Eingangskanäle zur Messwerterfassung. Um darüber hinaus weitere Sensoren anzuschließen besteht die Möglichkeit bis zu drei weitere DT9837B-Module an das vorhandene Messgerät anzuschließen. Dazu werden die Module über den Synchronisations-Eingang am Modul elektrisch miteinander verbunden. Die Sync-Buchse ist als RJ45(LVDS)-Port ausgeführt. Um alle Module miteinander zu verbinden werden die Buchsen an ein Panel angeschlossen, welches eine direkte Pin-Verdrahtung durch eine Parallelschaltung aller Buchsen darstellt. Die synchrone Datenerfassung wird durch eine Master-Slave (Daisy-Chaining)-Struktur erreicht. Dazu wird ein Modul als Master definiert und steuert die restlichen Module als Slaves. Die Definition erfolgt innerhalb der DAQ-Software.

Neben der Synchronisation ist die Datenrate der Module zu beachten. Wie bereits beschrieben werden zur sicheren Stromversorgung, bis zu vier Modulen an einem USB-Hub und an einem USB-Port des PC-Host betrieben. Gemäß der USB 2.0 Spezifikationen wird die Datenrate an einer USB-Schnittstelle unter allen Teilnehmern aufgeteilt. Wenn die Datenrate der USB-Messgeräte höher ist, als die USB-Geschwindigkeit es zu lässt kann es zu einem Überlauf des FIFO-Buffer und damit verbunden zu einen Datenverlust kommen. Die theoretisch höchste Datenrate wird mit der höchsten Abtastrate von ca. $105\ kHz$ erreicht. Die Gesamtdatenrate einer 16 kanaligen Messung beträgt

$$D = N_{CH} \cdot f_s \cdot N_{AD} = 16 \cdot 105 \ kHz \cdot 24 = 40.320.000 Bits/s = 4,807 MByte/s$$
 (3.4)

Die Datenraten des USB 2.0 Standard liegen bei 60~MByte/s /54~MByte/s /33-40~MByte/s / (Brutto/Netto/real). Die ersten beiden Werte stellen das theoretische erreichbare Maximum der Übertragungsrate dar. Die Brutto-Datenrate berücksichtigt auch die Paket-Header, die Netto-Datenrate nur den reinen Inhalt. In der Praxis tauchen auch Fehler in der Übertragung auf, die durch den Übertragungsstandard korrigiert werden müssen. Dadurch sinkt die Netto- Übertragungsrate auf einen Wert von 33-40~MByte/s. Die maximal erreichbare Datenrate liegt bei ca. 5~MByte/s und damit wesentlich unterhalb der nutzbaren Datenrate. Ein Betrieb von vier USB-Messgeräten mit einer Abtastrate von 105~kHz an einem USB-Port ist damit möglich.

Obwohl diese Datenrate die zur Verfügung stehende Kanalbandbreite nicht vollständig ausnutzt sind diese Datenraten vergleichsweise groß. Bei der Aufzeichnung von Signalen während einer Messung wird mit einer Datenrate von 4,807 MByte/s pro Minute ein Festplattenspeicherbedarf von 288,42 MByte benötigt für eine einstündige Messung entspricht das einem Platzbedarf von 16,9 GByte. So lässt sich feststellen, das die geplante Betriebsdauer des Messsystems von zehn Stunden mit 16 Mikrofonen bei einer Abtastrate von 48 kHz Daten mit einem Umfang von ca. 169 GByte erzeugen.

ZUSAMMENFASSUNG

Die wesentlichen Eigenschaften des Module werden in der nachfolgenden Tabelle dargestellt.

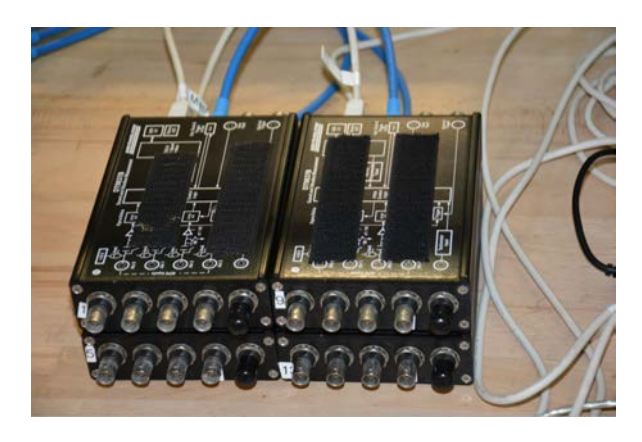
 $^{^3}$ Die Hot Swap-Funktion ermöglicht ein Abstecken und Anstecken ohne Beschädigung der USB-Module.

Tabelle 3.2: Zusammenfassung der wichtigsten Eigenschaften des DT9837B USB-Messgerät (gemäß Hersteller-Datenblatt [9])

	DT9837B
Anzahl der Eingänge	4 single-ended (BNC)
Amplitudenauflösung	24 Bit
Eingangsbereich	±1 V bzw. ±10 V
Konstantstromquelle	4 mA@18 V
Rauschen der Konstantstromquelle	5 <i>nA</i> (<i>rms</i>)
Genauigkeit der Konstantstromquelle	±1%
Peak-Eingangsspannung	±40 V
Verstärkungsfehler	±0,02 % bzw. ±0,5 %
Zero-Temperaturkoeffizient	$10 \mu V/^{\circ}C \cdot Gain + 100 \mu V$
Verstärkungskoeffizient	$25 \cdot 10^{-3} ^{\circ} C$
Gruppenlaufzeit	$39Samples(39/f_s)$
Frequenzgang (-3 dB)	$0, 1 Hz - 0, 49 \cdot f_s$
Sperrbanddämpfung	$-100 dB$ bei $0.55 \cdot f_s$
Passband-Ripple	$\pm 0,005 \ dB$
SNR	106dB
THD (-0,5 <i>dBFS</i> , 1 <i>kHz</i> mit $f_s = 50$ <i>kHz</i>)	−92 <i>dB</i> (typ.)
SFDR	≤ -92 <i>dB</i>
Eingangsimpedanz	$1 M\Omega$ mit $20 pF$
Leistungsverbrauch	±0,3 V@0,425 A
Abmessungen	10 cm; 19 cm; 17,3 cm;
Gewicht	491 g
zulässigen Betriebstemperaturbereich	0-55°C
zulässige Luftfeuchtigkeit	≤ 95%
zulässigen Höhe	≤3 <i>km</i>

Der modulare Aufbau des MAMS mit vier DT9837B-Modulen ermöglicht einen Mehrkanal-Messung von insgesamt 16 Kanälen. Die Module lassen sich kompakt arrangieren (siehe Abbildung 3.3). Vor die elektrischen Eigenschaften scheinen dem Zweck entsprechend angemessen zu sein. An dieser Stelle sei darauf verwiesen, das gemäß der Auswahl der Daten der Tabelle 3.2 ein erhöhtes Rauschverhalten erwartet wird. Das theoretische SNR eines 24 Bit A/D-Wandlers beträgt für ein voll ausgesteuertes Sinussignal theoretisch SNR = 6*24-1,76=142,24dB. Data Translation gibt jedoch ein SNR von 106 dB an. Das um 40 dB geringere SNR lässt den Rückschluss auf ein erhöhtes Eigenrauschen zu. Ein SNR von 106 dB ist dennoch ein akzeptabler Wert.

Abbildung 3.3: Aufbau von vier DT9837B-Modulen im Labor



3.2.3. MESSKABEL

Die Messkabel stellen die physische Verbindung zwischen den Sensoren und der DAQ-Hardware dar. Durch die Verwendung von ICP-Mikrofonen mit der entsprechenden Signalkonditionierung sind die Anforderungen an die Messkabel geringer als bei der Verwendung von extern polarisierten Mikrofonen. Die Konstantstromübertragung ist relativ unempfindlich gegenüber äußeren Störgeräuschen.

Die DT9837B-Module und auch die ICP-Mikrofone besitzen jeweils einen BNC-Steckverbinder. Als Kabel wurden RG58-CU Koaxial-Kabel verwendet. Diese stellen einen guten Kompromiss zwischen den physikalischen/elektrischen Eigenschaften und den Kosten pro laufenden Meter dar. Die Bezeichnung RG-58 bezeichnet ein Kabeltyp mit definierten technischen Daten.

Der Aufbau des RG58-Kabels besteht aus einer Kupferlitze mit 19x0, 18 mm CU/SN-Kupferleitern. Als Dielektrikum wird ein PE Isolator mit einem Durchmesser von 2,95 mm verwendet. Der Außenleiter (Schirm) ist als verzinntes Kupfergeflecht ausgeführt. Der Leiteraufbau wird durch einen PVC Mantel geschützt.

Der Kabelaufbau bestimmt die elektrischen und mechanischen Eigenschaften. Der Wellenwiederstand des Kabels beträgt 50 $\Omega\pm3\Omega$. Ein Meter des RG58-Kabels besitzt eine Kabelkapazität von 103 pF/m und einen Verkürzungsfaktor von 0,66. Der Dämpfungsfaktor des Kabels ist für den Frequenzbereich der DAQ-Hardware bis maximal 50 kHz nicht relevant. Bei 10 MHz beträgt die Dämpfung auf 100 m 4,7 dB.

Nach mehreren Vorbesprechungsterminen wurde die geplante Array-Geometrie von einem $20x20\ m$ Kreuz-Array zur einem Kreis-Array mit einem Radius von $15\ m$ geändert. Die kreisförmige Anordnung sollte mit 15 Mikrofonen realisiert werden. Um Infraschall-Signale aufzeichnen zu können sollte zusätzlich ein Infraschall-Mikrofon an das MAMS angeschlossen werden. Die Kabel für das Datenerfassungssystem wurden alle in Eigenleistung angefertigt. Insgesamt wurden 18 Messkabel mit einer Länge von jeweils $17\ m$ angefertigt. Zwei der Kabel sind als Reserve eingeplant gewesen, falls vor Ort ein Kabel beschädigt wird. Bei der Fertigung von Kabel ist beim Crimpen der Steckverbinder auf den Kabelenden besonders auf die auf die Trennung von Signalader und Masse zu achten. Sollte durch eine fehlerhafte Steckverbindung eine elektrische Verbindung zwischen Signalmasse und Signalführung entstehen wird dem Signal der Rauschanteil der äußeren Störsignale überlagert.

Der geplante Messort des Array lag an einem Abhang des Vulkangipfels mit einer Neigung von ca. 30° – 35°. Das Gelände ist dort sehr unwegsam und uneben. Die Installation vor Ort ist nur unter sehr großen Anstrengungen möglich. Aus Sicherheitsgründen ist die Installation des Arrays und die Verkabelung der Mikrofone mit der DAQ-Hardware nur mit einer Person möglich. Die Position des Mittelpunkts des Kreis-Arrays liegt ca. 30 m unterhalb der Hangkante. Um ein möglichst geringes Gewicht und eine geringe Kabellänge zu erzielen wird der Host-PC, zusammen mit den DT9837B-Modulen, im Mittelpunkt des Kreis-Arrays positioniert. Die Steuerung des Host-PC erfolgt mittels einer Remote-Desktop-Verbindung von einem zweiten Computer vom Hang aus. Die Remote-Verbindung wird mit einem CAT 6 LAN-Kabel mit Cross-over Adapter hergestellt. Dadurch kann auf eine Verlängerung der Kabel um 30 m zur Hangkante verzichtet werden. Das entspricht einer Einsparung von 480 m Kabel und einem Gewicht von 16,8kg.

Die Begrenzung der Kabellänge ist auch für die maximale Grenzfrequenz die durch die vorgesehene IEPE-Konditionierung bedingt ist relevant. Gemäß Gleichung (2.11) beträgt die maximale Grenzfrequenz

$$f_{max} = \frac{4 \ mA}{2\pi \cdot 18 \ V \cdot 103 \ pF/m \cdot 17 \ m} = 20.198,61 \ Hz.$$

Mit den langen Kabel und der Konstantstromquelle des DT9837B-Moduls ist es möglich das

Messsystem bis zu einer Frequenz von etwa 20,2 kHz zu betrieben. Die Kabelkapazität eines 17 m langen RG58-Messkabels beträgt insgesamt 1,751 nF. Unter Berücksichtigung des Speisestroms von 4 mA kann das Signal in diesem Bereich auch voll ausgesteuert werden.

Neben den elektrischen sind auch die mechanischen Eigenschaften zu nennen. Der minimale Biegeradius des Kabels bezeichnet ein maximale zulässige Krümmung um die elektrischen Eigenschaften zu gewährleisten. Es beträgt für das Kabel 2,5cm. Der Arbeitstemperaturbereich liegt zwischen $-20~^{\circ}C$ bis 70~textřC. Für die logistische Planung ist das Gewicht der Kabel vom großen Interesse. Das betrifft sowohl den Transport vom Dorf Stromboli zum Messort auf den Gipfel des Vulkansin 900~m Höhe, als auch den Transport mit dem Flugzeug im Frachtraum. Ein 1~km langes RG58-Kabel wiegt 35~kg (davon sind 18~kg Kupferanteil).

3.2.4. HOST-PC

Das MAMS ist ein PC-gestütztes Datenerfassungssystem mit vier USB-Messgeräten. Auf dem Host-PC wird die Messsoftware ausgeführt, welche die Steuerung der USB-Messgeräte übernimmt und die gemessenen Daten auf dem PC darstellt und speichert. Außerdem versorgt der PC mit seinen USB-Ports die DT9837B Module mit Strom.

Die Anforderungen an den Host-PC werden durch die unterschiedlichen Komponenten des Datenerfassungssystems bestimmt. Die DT9837B-Module benötigen einen PC mit folgenden Mindestanforderungen: Pentium 4 Prozessor, 1 GB Arbeitsspeicher, Bildschirmauflösung von 1024x768, Windows XP (32/64 Bit), Windows Vista, 7 oder 8 (32/64 Bit) und mindestens 4 GB freien Festplattenspeicher. Die Anforderungen der MATLAB-basierten Messsoftware sind ähnlich zu den oben genannten. Der Arbeitsspeicher muss jedoch mindestens 2 GB groß sein.

Von der letzten Forschungsreise zum Stromboli besteht noch eine Anschaffung eines Lenovo Thinkpad X230. Dieser leistungsfähige Computer wurde mit einem zusätzlichen Akku ausgerüstet und besitzt gut Eigenschaften für die bevorstehende Messaufgabe.

Tabelle 3.3: Zusammenfassung der Ausstattung des Host-PC (Lenovo Thinkpad X230)

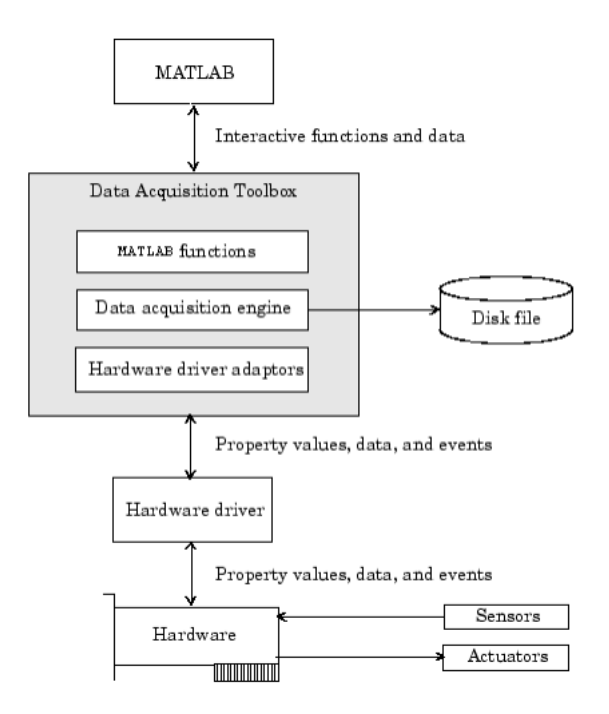
Bildschirm	
Auflösung	max. 1920 x 1200
Performance	
Prozessor	Intel Core i5-3220M
Arbeitsspeicher	8 GB
Festplattenspeicher	500 GB
Schnittstellen	
USB-Ports	2 x USB 3.0 / 1 x USB 2.0
LAN	1 x Gigabit Ethernet
Kommunikation	
Adapter	Centrino Wireless-N2200
Spannungsversorgung	
Intern	ThinkPad Battery 44+ (6 Zellen Akku, 63 Wh, 345 g)
Extern	ThinkPad Battery 19+ (6 Zellen Akku,64 Wh, 750 g)
Sonstiges	
Gewicht	1,7 kg
Betriebssystem	Windows 7 Professional (64-Bit)

3.2.5. Messssoftware

Der Schwerpunkt der Entwicklung des Datenerfassungssystem lag in der Programmierung der Software zum steuern der DAQ-Module und zum Speichern der Messdaten. Außerdem mussten Informationen wie die Abtastrate, die Kanalkonfiguration an die Hardware gesendet werden. Die Softwa-

re muss zwischen der Treiber-Software und der Applikations-Software unterschieden werden. Der Software-Prototyp wurde mit MATLAB 2013a in einer 32-Bit Version entwickelt. Die Software wird unter Verwendung des Legacy-Interface der Data Acquisition Toolbox von Mathworks innerhalb der MATLAB Umgebung implementiert. Die DAQ-Toolbox besteht aus drei wesentlichen Komponenten (siehe Abbildung 3.4): den MATLAB-Funktionen, der Data Acquisition Engine und den Hardware Treibern.

Abbildung 3.4: Interaktionsdiagramm der Komponenten der DAQ-Hard- und Software unter Verwendung von MATLAB[7]



Der Hardware-Treiber erlaubt den Zugriff und die Kontrolle der Hardware. Grundlegende Funktionen sind zum Beispiel:

- das Lesen und Schreiben von Daten zwischen DAQ-Modul und Computer,
- Einstellen der Abtastrate,
- Integration der DAQ-Hardware und PC-Ressourcen,
- Integration der DAQ-Hardware und der Signalkonditionierung,
- · Zugriff auf die Subsysteme der DAQ-Hardare und
- der Zugriff auf mehrere Instanzen der DAQ-Hardware.

Die Treiber-Funktionen werden durch sogenannte DAQ-Adapter zur Verfügung gestellt. Für die verwendeten DAQ-Module stehen ebenfalls passende DAQ-Adapter der Firma Data Translation zur Verfügung. Die Applikations-Software stellt das Frontend des Messsystems für den Benutzer zur Verfügung. Es soll die Eingaben des Benutzers einlesen und das Signal aufbereiten, Events aus der Benutzer-Eingabe generieren und die erfassten Signale darstellen und speichern.

Die DAQ-Engine speichert Objekte und Property Values der Applikations-Software. Außerdem kontrolliert sie die Synchronisation der Events und die Speicherung bzw. Zwischenspeicherung der Daten. Die Engine und die Software laufen asynchron zu einander. Dadurch ist es möglich die Messung auszuführen und gleichzeitig das Frontend zu bedienen. Mit den MATLAB-Funktionen wird

es ermöglicht Objekte zu erzeugen, Daten zu erfassen, Die Konfiguration der DAQ-Hardware vorzunehmen und den Status der Datenerfassung und der Hardware zu evaluieren.

Die Erfassung der Daten bedeutet im Zusammenhang mit der DAQ-Engine die Daten von der DAQ-Hardware einzulesen und in die DAQ-Engine zu transferieren. Zum Datentransfer muss explizit eine getdata() Funktion auf gerufen werden. Wenn die Daten nicht extrahiert werden steigt der Speicherplatzbedarf an bis sein Maximum erreicht wird und ein DataMissed-Event erfolgt. Die Datenerfassung wird in diesem Moment automatisch beendet. Die Datenerfassung besteht aus zwei unabhängigen Schritten der Speicherung der Daten von der Hardware in die DAQ-Engine und die Extraktion der Daten aus der Engine in den Workspace bzw. auf die Festplatte.

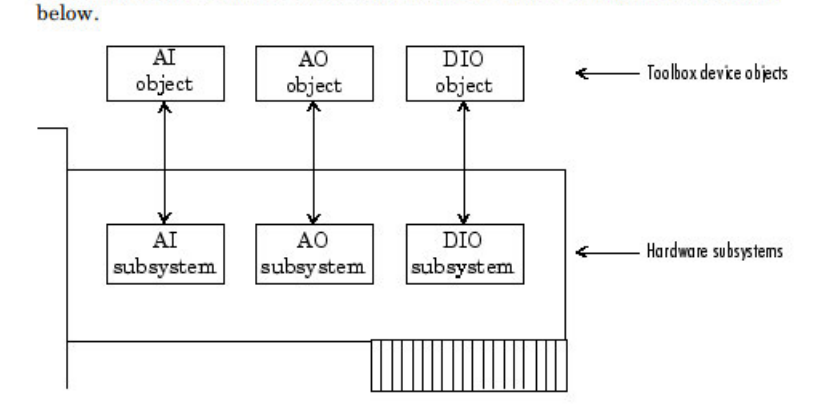
ALLGEMEINER WORKFLOW DER DATENERFASSUNG

Innerhalb der DAQ Toolbox gibt es verschiedene Komponenten die erzeugt und gesteuert werden können. Unter ihnen gibt es sogenannte Objekte, die ein Interface zwischen der DAQ-Hardware und der Software-Applikation darstellt. Objekte werden Hardware-spezifischen Subsystemen zugeordnet. Wichtige Subsysteme sind analoge Input Subsystem oder analoge Output Subsysteme. Im allgemeinen Workflow wird zuerst ein Objekt im analogen Subsystem mit der Funktion analoginput() erzeugt. Die AI-Objekte stellen ein grundlegendes Element in der Datenerfassung dar. Anschließend werden die Kanäle hinzugefügt. Kanäle sind grundlegende Device Elemente. Ein Objekt kann nur Daten erfassen, wenn dem entsprechenden AI-Objekt auch mindestens ein Kanal zu gewiesen ist. Vor der eigentlichen Datenerfassung müssen die Eigenschaften des Objektes und der Kanäle konfiguriert werden. Das ist notwendig um das gewünschte Verhalten zu erhalten. Die meisten Eigenschaften können zu jeder Zeit konfiguriert werden, es gibt auch einige Eigenschaften die nur verändert werden können, wenn keine aktuelle Datenerfassung ausgeführt wird. Sobald das Setup der Datenerfassung eingestellt wurde kann die Messung mit dem Befehl start() begonnen werden. Die Datenerfassung erfolgt im Hintergrund während MATLAB weiterhin Befehl entgegennimmt. Die Daten die erfasst werden müssen aus der Engine extrahiert werden (wenn die Daten im Workspace zur Verfügung stehen sollen). Die Extraktion erfolgt mit der Funktion getdata(). Sobald die Datenerfassung beendet worden ist sollten die Objekte die nicht mehr gebraucht werden entfernt werden um notwendigen Speicher freizugeben.

Device Objekte sind Komponenten der DAQ Toolbox, welche auf die Hardware zu greifen können. Sie stellen so eine Verbindung zwischen der Funktionalität der Hardware zur Steuerung mit der Software her. Jedes Device Objekt ist mit einem spezifischen Hardware Subsystem assoziiert (siehe Abbildung 3.5).

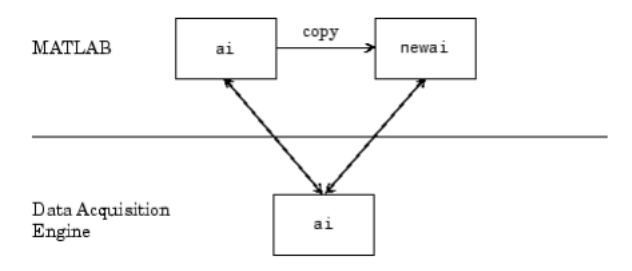
The association between device objects and hardware subsystems is shown

Abbildung 3.5: Zusammenhang zwischen Device Objekt und Hardware Subsystem [7]



Um ein Objekt zu erzeugen muss eine *object creation function* aufgerufen werden, dafür muss auch der entsprechende Hardwaretreiber registriert sein. Die Erzeugung eines Device Objekt innerhalb von MATLAB erfolgt durch den Befehl-Aufruf analoginput(). Wenn Objekte erzeugt werden existieren sie sowohl in dem MATLAB Workspace, als auch in der DAQ-Engine. Durch dieses Funktionsprinzip ist es möglich einem Objekt in der DAQ-Engine mehrere aus dem Workspace zuzuweisen. Das ist zum Beispiel beim Kopieren eines AI-Objektes der Fall.

Abbildung 3.6: Zuordnung von Objekten im MATLAB Workspace und der DAQ-Engine [7]

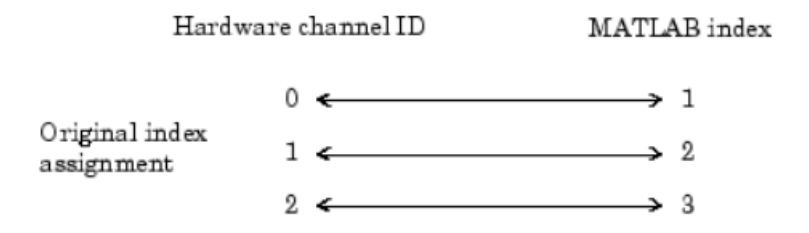


Wenn das ursprüngliche oder kopierte AI-Objekt im Workspace gelöscht wird, wird auch das zugeordnete Objekt in der DAQ-Engine gelöscht.

Um eine Messung durchführen zu können muss dem AI-Objekt mindestens ein Eingangskanal zugeordnet werden. Das Hinzufügen von Kanälen zu einem Device Objekt erfolgt innerhalb der *Channel Group* mit dem Befehl addchannel().

Bei der Programmierung einer Anwendung mit MATLAB und der DAQ-Toolbox ist zu beachten, dass die Hardware Channel IDs numerische Werte, zur eindeutigen Identifikation sind, welche Nullbasiert sind. Das bedeutet sind fangen beim ersten Kanal mit 0 an. Die Arbeit mit Vektoren und Arrays ist jedoch Eins-basiert, das heißt das erste Element wird mit den Zugriff auf 1 abgerufen.

Abbildung 3.7: Hardware Channel IDs und Matlab Index[7]



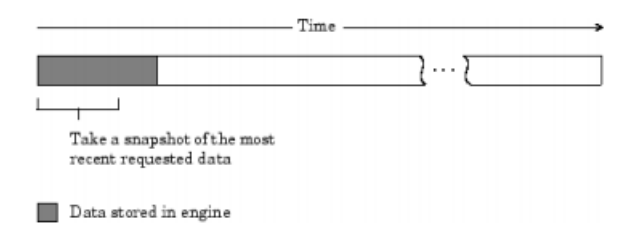
Um ein Device Objekt bzw. die damit assoziierte Hardware zu konfigurieren müssen die Eigenschaften eingestellt werden. Es gibt verschiedene Eigenschaften die sich auf das gesamte Objekt (common properties) und Eigenschaften die sich auf den einzelnen Kanal eines Objektes (channel properties) beziehen. Jede dieser Eigenschaft besitzt allgemeine Eigenschaften (base properties) wie zum Beispiel die Abtastrate des AI-Subsystem, daneben existieren Geräte-spezifische Eigenschaften (device-specific properties) die nur für die entsprechenden Hardware-Geräte zur Verfügung stehen. Ein Beispiel sind die in Rahmen dieser Arbeit vorgestellten DT9837B-Module. Die Einstellung des Synchronisations-Modus ist eine geräte-spezifische Eigenschaft.

Die Objekte der Datenerfassung kennt zwei verschiedene Status: den Running-Status und den Logging Status. Der Running-Status bedeutet, dass das AI-Subsystem gerade Daten erfasst. Beim Logging-Status speichert das AI Subsystem Daten in der Engine oder auf dem Computer ab. Nach dem Start der Messung (mit dem Befehl start()) wird das Running Property automatisch auf On gesetzt und beide Objekte (Hardware und Device Objekt) arbeiten mit den zuvor eingestellten Eigenschaften. Während der Messung können die Daten mit dem Befehl peekdata() als Preview angeschaut wer-

den. Die Daten werden mit dem peekdata() Befehl nicht aus der Engine extrahiert. Der Vorteil dieser Methode ist, das sie nicht priorisierend ist und deshalb auch die Datenerfassung nicht stört. Sie hat keinen Einfluss auf die Synchronisation der Datenerfassung. Während das Running Property des Objektes auf On steht können die erfassten Daten des AI-Subsystems im Arbeitsspeicher oder auf die Festplatte gespeichert werden. Wenn ein Objekt gestoppt wird, werden die Eigenschaften Running und Logging automatisch auf Off gesetzt.

Ein wichtiger Punkt für die Datenerfassung ist die Darstellung der gemessenen Signale im Frontend. So kann die Funktion der Mikrofone überprüft werden oder auftretende Fehler identifiziert werden. Um die Messdaten darzustellen ohne in den Prozess der Datenerfassung einzugreifen können nicht-blockierende Funktionen verwendet werden. Die Funktion peekdata() stellt Messdaten ohne Blockierung der Messung dar. Nachdem die Funktion ausgeführt wurde wird die Kontrolle augenblicklich an MATLAB zurück gegeben. Deshalb fehlen oder wiederholen sich möglicherweise einige Samples. Die peekdata()-Funktion gibt immer die aktuellsten Samples zurück (siehe Abbildung 3.8). Die Daten werden nicht aus der Engine extrahiert. Bei der Verwendung der peekdata()-Funktion

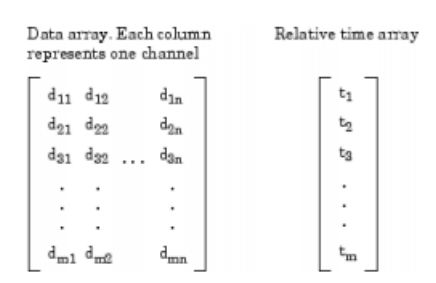
Abbildung 3.8: Extraktion von Messdaten aus der DAQ-Engine mit peekdata()[7]



muss beachtet werden, dass sie nur ausgeführt werden kann, wenn sich das Objekt im Messvorgang befindet (Running Property = On). Die Sample-Vorschau kann auch aufgerufen werden, wenn bisher noch kein Trigger ausgelöst wurde. Wenn die abzurufende Anzahl der Samples größer ist als die momentan vorhandene Anzahl an Samples, werden nur die bisher vorhanden Samples wiedergegeben zusammen mit einer Warnmeldung.

Die Extraktion der Daten von der Engine ist notwendig, weil es ansonsten zu einem Überlauf im Arbeitsspeicher kommen kann. Die Extraktion ist auch notwendig, wenn die Daten in einer Echtzeitanwendung verarbeitet werden soll. Durch die Daten-Extraktion mit dem Befehl getdata() wird ein Array erzeugt, welches neben den Messdaten auch Informationen über die relative Zeit, die absolute Zeit, Event- und Hardware-Informationen zurück gibt. Die Daten enthalten eine Spalte für jeden zugewiesenen Kanal der Hardware (siehe Abbildung 3.9). Im Gegensatz zu der zuvor erwähn-

Abbildung 3.9: Extraktion von Messdaten mit getdata()[7]



ten peekdata()-Funktion ist die getdata()-Funktion eine blockierende Funktion. Wenn die Funktion erfolgreich durchgeführt wird fehlen keine Samples und es gibt keine Wiederholungen. Es werden immer die ältesten Daten abgerufen.

Der Aufruf [data, time] = getdata(ai) gibt ein Array mit Daten (data) und einen Zeitvektor mit der

relativen Zeit (time) zurück. Der Zeitvektor ist mit den extrahierten Daten assoziiert. Die absolute Zeit ist auf den ersten Trigger bezogen. Die Trigger-Events bezeichnen Momente ab denen die Daten im Arbeitsspeicher oder auf der Festplatte geloggt werden.

Je nach Art des Triggers können verschiedene Typen von Trigger definiert werden. Es gibt drei wichtige Trigger-Typen: den Immediate-, den Manual- und den Software-Trigger. Der Immediate-Trigger wird sofort nach der Start-Funktion ausgeführt. Der Manual-Trigger wird nach einem manuellen trigger()-Aufruf ausgelöst. Als drittes gibt es den Software-Trigger der von einem digitalen TTL-Signal unter bestimmten Bedingung z.B. steigende oder fallende Flanke ausgelöst wird. Der Immediate-Trigger ist als Default-Typ voreingestellt. Eine kontinuierliche Datenerfassung kann mit einem Immediate-Trigger und der Einstellung der Samples pro Trigger auf unendlich (Inf) realisiert werden.

Die Leistungsfähigkeit einer DAQ-Applikation wird durch Verwendung von Events und Callbacks erhöht. Wenn bestimmte Ereignisse (Events) auftreten, können diese eine dazugehörige Callback-Funktionen aufrufen. Es gibt eine Vielzahl von Event-Typen die einen Callback auslösen können. Die zeitlichen Informationen zu den Ereignissen werden automatisch gespeichert.

Eventtyp	Beschreibung	Callback-Funktion
Data Missed	Daten sind fehlerhaft	DataMissedFcn
Input Overrange	Eingangssignal hat den Eingangsbereich überschritten	InputOverRangeFcn
Runtime error	Runtime error wird ausgeführt, wenn ein Fehler in der Hardware oder ein Timeout vorliegt.	
Samples Acquired	Definierte Anzahl an zu erfassenden Samp- les wurden gemessen	SamplesAcquiredFcn
		SamplesAcquiredFcnCount
Start	Ausführung nach Aufruf der start()- Funktion	StartFcn
Stop	Ausführung nach Aufruf der stop()- Funktion	StopFcn

Tabelle 3.4: Auswahl von Eventtypen und dazugehörige Callback-Funktionen

Bei der Ausführung der Callback-Funktionen ist zu beachten, dass sie in der Reihenfolge ihrer Aufrufe ausgeführt werden. Alle Aufrufe werden garantiert (bis auf die zeitbezogenen) ausgeführt. Die Callback-Funktionen können unter Umständen verzögert ausgeführt werden. Das ist unter Umständen der Fall, wenn CPU intensive Aufgaben wie z.B. die Darstellung von Grafiken durchführt.

AUFBAU DER MAMS-SOFTWARE-APPLIKATION

Die Software-Applikation wurde innerhalb von MATLAB 8.1 (R2013a) in einer 32-Bit Version implementiert. Die Datenerfassung wird von der MATLAB Data Acquisition Toolbox 3.3 und Data Translation Open Layer Adaptor unterstützt. Die nachfolgend vorgestellte Applikation wurde unter Verwendung des DTOL-Adapter in der Version 1.0.10.16 erstellt.

Der DAQ-Adapter ist ein Interface zwischen MATLAB, der DAQ-Toolbox und der Data Translation Hardware dar. Dazu stellt der Adapter eine API zu allen analogen Input Modulen zur Verfügung. Mit der DAQ-Toolbox in Kombination mit der Data Translation Open Layer-Struktur ist es möglich Daten mit MATLAB zu analysieren und darzustellen, die mit einer Data Translation Hardware gemessen wurde. Die Funktionen der Data Translation Open Layer API stellen Funktionen zur Erzeugung von Subsystemen und Kanälen, sowie die Erfassung von Daten zur Verfügung. Die Abbildung 3.10 zeigt die hierarchische Kommunikationsstruktur der verschiedenen Programmebenen von MATLAB und den Data Translation Komponenten.

Die gesamte Applikation ist als Callback-basierte GUI implementiert. Das bedeutet die Software reagiert auf bestimmte Ereignisse. Das Drücken einer Taste löst z.B. die KeyPressFcn aus, wel-



Abbildung 3.10: Datenflussmodell zwischen Data Translation Open Layer Struktur und MATLAB [9]

che wiederum definierte Aktion ausführt. Ein wesentlicher Punkt der Datenerfassung mit Mikrofonen ist die Möglichkeit der Pegelkalibrierung der Messkette. Durch die Umwelteinflüsse und der Komponenten der Messkette im Feld (z.B. Messkabel) kann der absolute Pegel etwas höher oder niedriger liegen als bei ein kalibrierten Mikrofon unter Laborbedingungen. Daher muss die gesamte Messkette kalibriert werden. Üblicherweise erfolgt die Pegelkalibrierung durch Bestimmung des Mikrofonübertragungsfaktor während der Einsatzsituation. Weicht der gemessenen Schalldruckpegel vom Kalibrierpegel ab muss ein neuer Übertragungsfaktor bestimmt werden. Die Applikationssoftware unterstützt eine Kalibrierung von Mikrofonen und speichert die zur späteren Analyse der Daten ab.

Die Software umfasst einen Ordner mit voreingestellten Konfigurations-Dateien der sogenannten Mikrofon-Datenbank (microphoneDatabase), einer .mat-Datei mit der letzten verwendeten Mikrofon-Konfiguration (mircophoneData.m), 22 .m-Dateien und dem ausführendem Skript MAMS_GUI_v8.m. Die Initialisierung der GUI wird mit dem MATLAB-Skript MAMS_GUI_v8.m durchgeführt. Dieses Skript konfiguriert die angeschlossenen DT9837B-Module, die Fenster zu Darstellung und ein Struktur mit den Mess- und Benutzerdaten. Der Ablauf erfolgt im wesentlichen mit folgenden Schritten

- Löschen aller alten Daten,
- · Initialisierung der Haupt-GUI,
- Auswahl des Mikrofon-Setups,
- Initialisierung der DAQ-Module,
- Initialisierung der Subplots und
- Definition der UserData-Struktur.

Nachdem das Skript ausgeführt wurde ist das Messsystem bereit zum Einsatz. Die weitere Interaktion mit der GUI erfolgt durch zuvor definierte Callback-Funktion und somit Ereignis-basiert. Das Löschen alter Daten und Objekte betrifft vor allem die DAQ-Engine und den MATLAB Workspace. Mit dem Befehl *dagreset* werden die geladenen DAQ-Adapter und Objekte aus der DAQ-Engine und dem MATLAB Workspace entfernt. Das ist in sofern notwendig um möglich Konflikte mit den neuen zu initialisierenden Objekten zu vermeiden und die PC-Ressourcen zu schonen.

INITIALISIERUNG DER HAUPT-GUI

Die erste Initialisierung der Haup-GUI erzeugt eine Figure die später alle Elemente enthält, mit der die Messung gesteuert werden kann. Bei der Erzeugung des Haupt-GUI werden bereits zwei Callback-Funktionen an die GUI übergeben.

```
hMamsGui
               = figure(... % Definition des Main-GUI Fensters
               , 'pixels'
       'Units'
2
       'Color'
                           , btnColor
3
       'Colormap'
                           , []
4
       'LereteFcn' , 'close_callback(gcbf)'
'HandleVisibility' , 'on'
'KevPressFor'
5
6
       'KeyPressFcn', 'keyEvent_callback(gcbf)'
7
                           , 'none'
       'MenuBar'
8
       'Name'
                           , ['Graphical User Interface -'
9
       ' Mobile Array Measurement System (MAMS)']
10
       'NumberTitle' , 'off'
11
                           , 'arrow'
       'Pointer'
12
                           , figPos
       'Position'
13
                           , 'Main-GUI'
       'Tag'
14
       'UserData'
                           , []
15
       'Visible'
                              'On');
```

In Zeile 5 wird eine Delete Funktion (DeleteFcn) definiert. Diese wird immer ausgeführt, wenn das Fenster geschlossen wird. Das Übergabeargument gcbf ist eine MATLAB interne Funktion und verweist auf das Handle der Figure welches die Objekte enthält und den Callback aufgerufen hat. Der Aufruf der Funktion löscht das Handle und die damit verbunden Daten aus dem Workspace. Die Key Press Funktion (KeyPressFcn) ist eine der wichtigsten Komponenten der Software-Applikation. Sie stellt die Schnittstelle zwischen dem Benutzer und der Messteuerung des Messsystems dar. Der Callback-Aufruf dieser Funktion erfolgt immer, wenn der Benutzer eine Taste auf der PC-Tastatur drückt. Um eine möglichst schnelle und einfache Messung durchzuführen wird die Messung ausschließlich mit der PC-Tastatur gestartet und gestoppt. Ein Druck auf die Leertaste startet die Messung beendet diese ebenfalls. Der Callback-Funktion wird das Handle zur Figure der Haupt-GUI übergeben. Die wesentlichen Parameter der Key Press Funktion sind die Felder UserData und CurrentCharacter des Figure Handle. Das Feld CurrentCharacter beinhaltet einen String mit dem zuletzt eingegebenen Zeichen der Tastatur. Das Feld userData enthält alle Handles und Variablen die für die Messung benötigt werden. Es stellt den Kern der Applikation dar. Durch die Übergabe der Verknüpfung der Benutzerdaten mit dem UserData Feld der HauptGUI ist den Funktionen ein übergreifender Zugriff auf alle Parameter der Applikation von jeder Funktion aus möglich.

Wenn bei Übergabe der Status (userData.daqState) den String 'Start' beinhaltet und die aktuelle Tastatur-Eingabe ein Leerzeichen ist wird die Messung gestartet. Zu Beginn der folgenden Routine werden die Mikrofondaten aus der aktuellen Konfigurationsdatei eingelesen. Anschließend wird in Abhängigkeit der Anzahl der angeschlossenen und konfigurierten DAQ-Module für jedes Modul der Syncronisations-Modus eingestellt und der Speicherort der zu erfassenden Daten mit einem Zeitstempel festgelegt. Der Zeitstempel wird nach UTC angegeben. Für das Post-Processing wird die verwendete Konfigurationsdatei der Mikrofone ebenfalls auf der Festplatte gespeichert. Anschließend wird die Messung gestartet. Bei einer Messung mit mehr als einem Modul werden die Slave-Module vor dem Master-Modul gestartet. Die Datenerfassung beginnt erst, sobald das Master-Module den Startbefehl erhalten hat und diesen an die Slave-Module weiter gegeben hat.

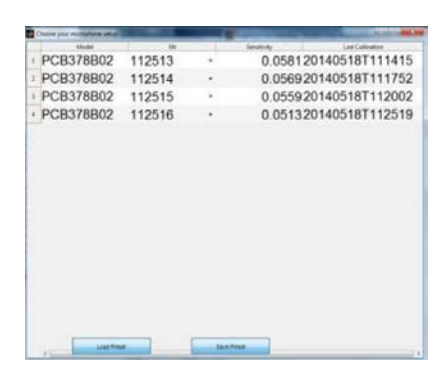
Im Falle einer bereits laufenden Messung und der Eingabe eines Leerzeichen wird der aktuelle Messvorgang beendet. Das Master-Module wird zuerst gestoppt und anschließend die Slave-Module. Die Applikation ist anschließend bereit mit einer weiteren Messung zu beginnen.

Sollte eine Messung bei Aufruf der KeyPressFcn bereits durchgeführt werden und eine andere Eingabe als ein Leerzeichen erhalten wird diese Tastatureingabe mit einem Zeitstempel in einer Log-Datei auf der Festplatte gespeichert. Das Event-Log wird als .mat-Datei hinterlegt. Die Veränderung an der userData-Struktur werden zum Ende der Routine an das Feld UserData der Figure-Handle der Haupt-GUI zurück gegeben.

Im Gegensatz zu dem klassischen Weg der Datenspeicherung im Arbeitsspeicher und auf der Fest-

platte (LoggingMode = 'Disk and Memory') benutzt die MAMS-Applikation lediglich den Festplattenspeicher (LoggingMode = 'Disk'). Dadurch wird der Arbeitsspeicher geschont und steht der Zwischenspeicherung zu Verfügung. Die Datenabfrage und -darstellung erfolgt anhand der Daten die mit peekdata() abgerufen werden. Dadurch wird der Datenerfassungsprozess nicht gestoppt und es kann eine schnelle Darstellung der Ergebnisse erfolgen. Bei den dargestellten Signalen können einige Samples fehlen, jedoch gilt das nicht für die gespeicherten Signale auf der Festplatte. Es handelt sich hier um zwei verschiedene Prozesse. Die Visualisierung stellt in der jetzte Ausbaustufe der Applikation lediglich ein Instrument zur Überwachung der Funktionsfähigkeit der Module und ihrer einzelnen Kanäle dar. Nachdem die Haupt-GUI vorinitialisiert wurde, wird dem Benutzer die Möglichkeit gegeben die aktuelle Konfiguration des Messsetups festzulegen.Dazu erfolgt der Funktionsaufruf editMicrophoneData(). Es wird ein neues Fenster mit den bisher aktuell hinterlegten Mikrofonsdaten geöffnet. Anschließend kann durch die Auswahl der Mikrofone die Konfiguration geändert werden. Das Mikrofon-Editiert-Fenster untersützt auch das Laden und Speichern von Mikrofon Presets.

Abbildung 3.11: Auswahlfenster der editMicrophoneData()-Funktion.



Neben dem Modelname und der Seriennummer wird auch der letzte verwendete Mikrofon-Übertragungsfaktor und der dazugehörige Zeitstempel (UTC) angezeigt.

Nach Einstellen der gewünschten Konfiguration des Messsetups wird die Initialisierung der angeschlossenen DAQ-Module entsprechend den zuvor getroffenen Angaben ausgeführt.

```
1 % Intialisierung der Module
2 %Definition der Eingabe-Struktur zur Intialisierung der DAQ-Module
3 daqSetupInput.hInfoText = hInfoText;
4 daqSetupInput.hMamsGui = hMamsGui;
5 %Funktionsaufruf zur Intialisierung der DAQ-Module
6 daqSetup = initDaqSetup(daqSetupInput);
```

Die Funktion initDaqSetup erzeugt nach dem Aufruf eine Fenster indem der Benutzer die gewünschte Abtastrate des Systems einstellen kann. Die Abtastfrequenz des Systems beschreibt die Anzahl der

Abbildung 3.12: Auswahl der gewünschten Abtastrate der aktuellen MAMS-Messung.



Stützstellen mit der das Signal pro Sekunde abgetastet wird. Die Messergebnisse können bis maxi-

mal der halben Abtastrate ausgewertet werden, ohne Aliasing-Artefakte zu enthalten. Zur Darstellung des gemessenen Signale kann die Größe der Datenblöcke gewählt. Diese Länge eines Blocks hat keine direkten Auswirkungen auf Messergebnisse, sondern nur auf die Darstellung der Daten und bestimmt die Frequenzauflösung der Echtzeit-Darstellung einer FFT. Eine Darstellung der spektralen Komponenten erfolgt bisher nur bei der Kalibrierung der Mikrofone. Die Größe der Signalblöcke variiert je nach Abtastrate (4 kHz – 96 kHz) von 1024 bis 16384 Samples pro Block. Die Auflösung (Bin-Abstand) der FFTs beträgt demnach etwa 4 Hz bis 6 Hz.

Anschließend wird der Benutzer gefragt welches der Module als Master-Modul verwendet werden soll. Die übrigen Module werden automatisch als Slave definiert. Der Unterschied zwischen Master und Slave liegt in der Funktion des Synchronisations-Port. Ist das Modul als Master definiert, so sendet der Port Befehle. Ein Slave kann Befehle an RJ45-Port nur empfangen, selber jedoch keine senden. Beim Ausführen de Applikation werden die Messungen der Slave-Module zuerst gestartet. Aufgrund ihrer Synchronisations-Einstellung beginnen sie erst mit der Messung, wenn sie den dazugehörigen Befehl vom Master-Modul erhalten haben.

INITIALISIERUNG DER DAQ-MODULE

Mit der Funktion initdaqsetup() werden in erster Linie die USB-Messgeräte und die dazugehörigen Kanäle konfiguriert.

```
set([master,slave1,slave2,slave3],...
                                      , [blockLengthDAQ, lengthBuffer],...
2
              'BufferingConfig'
              'SamplesAcquiredFcnCount', blockLengthDAQ,...
3
              'SamplesPerTrigger' , Inf
4
              'SampleRate'
                                      , sampleRate
5
                                      , 'Index'
              'LogToDiskMode'
6
                                      , 'Disk'
              'LoggingMode'
7
                                      , 2
              'TimeOut'
8
              'TriggerRepeat'
9
                                                       , . . .
              'TriggerType'
10
                                         'Immediate'
                                                       );
```

Die obige Liste zeigt eine Konfigurations-Beispiel für insgesamt vier Module (master, slave 1, slave2, slave 3). Der Parameter BufferingConfig spezifiziert den Speicherplatzbedarf, der für die Module alloziert werden soll und als Zwischenspeicher dient. Er wird durch die Länge eines Buffer-Blocks (blockLengthDAQ) und der Anzahl der Blöcke (lengthBuffer) definiert. Mit der Einstellung des Parameters SamplesPerTriggers gleich Inf (unendlich) wird die Datenerfassung zu einer kontinuierlichen Datenerfassung gezwungen. Die Messung beginnt sofort nach Aufruf der start()-Funktion (TriggerType Immediate). Eine Wiederholung des Triggers ist nicht vorgesehen Die Messungen erfolgt mit der vom Benutzer angegebenen Abtastrate. Die Speicherung der Daten erfolgt ausschließlich auf der Festplatte um Resourcen des Arbeitsspeichers zu sparen. Die oben aufgeführten Code-Zeilen enthalten auch einen Callback-bezogenen Parameter. Der SamplesAcuiredFcnCount spezifiziert die Anzahl der Samples ab wann die dazugehörige SamplesAcquiredFcn ausgeführt werden soll. Diese wird im Anschluss definiert.

```
set(master,...
s
```

Der Programmzeilen in Zeile 2 definieren die Funktion plotData1() als Callback-Funktion für die SamplesAcquieredFcn. Der Funktion wird zusätzlich das Handle zur Haupt-GUI übergeben, um so mit Funktionsaufruf auch auf die Daten der Modul zugreifen zu können. Die PlotData1-Funktion

stellt den aktuellen Signal-Block in der Haupt-GUI dar und aktualisiert die Darstellung des bisherigen Signalverlaufs. Der LogFileName beschreibt den Ort und den Name unter dem die Daten als .daq-Datei abgespeichert werden.

Die Konfiguration der Kanäle eines Moduls erfolgt für jedes der angeschlossenen Module mit der Funktion configureDT9837BChannels(). Um die ICP-Mikrofone für die Messung verwenden zu können müssen die Kanäle auch entsprechend konfiguriert werden. Die Konfiguration wird durch setzten der Kanaleigenschaften durchgeführt.

Die ICP-Mikrofone benötigen eine Konstantstromquelle um richtig betrieben werden zu können. Die interne Stromquelle der DT8937B-Module wird durch den Parameter ExcitationCurrent-Source dargestellt. Sobald er den Wert 'Internal' besitzt wird die Stromquelle angeschaltet. Um die Arbeitspunktspannung des Eingangssignal von der Wechselspannung des Messsignals zu trennen muss das Signal mit einem Hochpassfilter gefiltert werden. Mit der Einstellung Coupling = 'AC' wird der Hochpassfilter mit einer Grenzfrequenz von -3~dB in den Signalweg gesetzt. Die Kanalverstärkung (GainPerChain = 1) stellt den Messbereich auf einen Bereich von -10~V bis +10~V ein.

INITIALISIERUNG DER SUBPLOTS

Mit den folgenden Programmzeilen werden die Subplots in der Haupt-GUI erzeugt.

```
1 %% Intialisierung der Module
2 % Definition der Eingabe-Struktur zur Intialisierung der DAQ-Module
3 daqSetupInput.hInfoText = hInfoText;
4 daqSetupInput.hMamsGui = hMamsGui;
5 % Funktionsaufruf zur Intialisierung der DAQ-Module
6 daqSetup = initDaqSetup(daqSetupInput);
```

Die Haupt-GUI beinhaltet vier Subplot zur Darstellung des jeweils aktuellen Signalblocks. Die Signale werden über einen Pegelbereich von 20 dB bis 140 dB dargestellt. Wenn weniger als vier Module bei der Messung verwendet werden, werden die Signalfenster der nicht verwendeten Module ausgeblendet.

Nachdem die Subplots intialisiert wurden, wird eine neues Fenster erzeugt. Es stellt den Signalverlauf der letzten 15 Minuten der Messung dar. Es zeigt jeweils das, über alle Kanäle des Master-Moduls, ermittelte Maximum in diesem Fenster an.

Im nächsten Schritt werden die verschiedene Menü-Elemente der Haupt-GUI erzeugt. Diese sind in zwei Menüs mit verschiedenen Menüpunkten gegliedert. Es gibt die Menüs File und Calibration. Im Menü File kann mit Klick auf den Menüpunkt Close die Callback-Funktion close_callback() aufgerufen und die Haupt-GUI damit geschlossen werden. Im Menü Calibration stehen drei Möglichkeiten zur Verfügung. In diesem Menüpunkt können die aktuell hinterlegten Mikrofondaten betrachtet (view micropohone data), die aktuellen Mikrofondaten bearbeitet (edit microphone data) und die Mikrofone kalibriert werden (calibrate microphone). Jeder Menüpunkt ruft eine andere Callback-Funktion auf.

Zum editieren des Mikrofon-Setups wird die editMicrophoneData()-Funktion aufgerufen. Zum Betrachten der aktuellen Konfiguration der Mikrofone wird die displayGuiMicInfo()-Funktion ausgeführt. Die Mikrofon-Daten werden in einer Tabelle dargestellt.

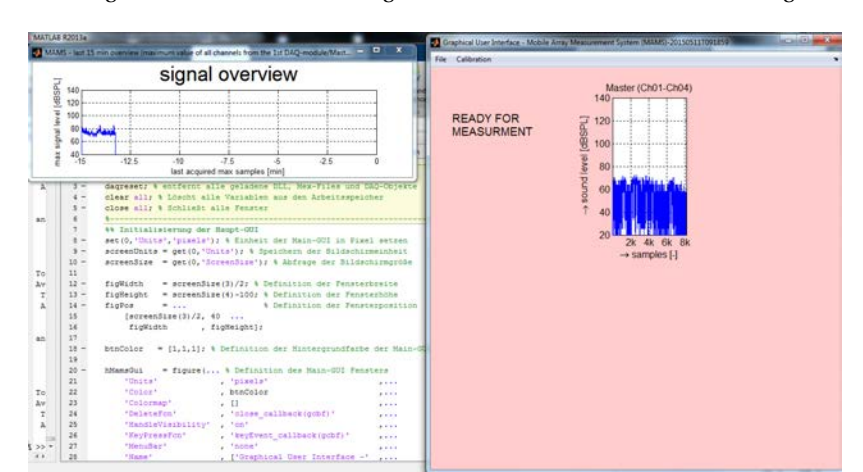


Abbildung 3.13: Darstellung der MAMS-GUI und der Signalverlaufs-GUI nachdem eine Messung beendet wurde.

DATEN-STRUKTUR

Zum jetzigen Zeitpunkt wurden die DAQ-Module initialisiert und die dazugehörigen Eingangskanäle konfiguriert. Außerdem wurde eine Haupt-GUI und eine GUI zur Darstellung des bisherigen Messsignals erzeugt. Die Haupt-GUI enthält ein Signal-Fenster mit dem aktuellen Signalblock für jedes aktive USB-Messgerät.

Die Interaktion der GUI mit den Benutzereingaben basiert auf eine Ereignis-abhängigen Callback-Steuerung. Damit bei einem Callback Aufruf alle notwendigen Informationen zur Verfügung stehen werden die Daten aller Fenster, Module und Konfigurationseinstellungen mit dem Handle der Haupt-GUI verknüpft. Dazu wird eine userData-Struktur angelegt und im Handle unter dem gleichnamigen Feld userData gespeichert. Die Callback-Funktionen werden oft mit dem Argument gcbf aufgerufen. Der Ausgabewert der gcbf Funktion gibt das Handle vom Objekt zurück, welches die Callback-Funktion aufgerufen hat. Das Handle verweist wiederum auf die Haupt-GUI, welche die userData-Struktur enthält. Dadurch ist eine funktions-übergreifender Austausch der Daten möglich.

Die Ergebnisse der Messung werden auf der Festplatte des Host-PC gespeichert. Die notwendige Ordnerstruktur wird automatisch durch die Applikation erzeugt. Für jeden Tag wird ein Ordner erzeugt, welcher wiederum folgende Unterordner enthält

- DAQSession_Calibration
- DAQSession_LogData
- DAQSession_Master
- DAQSession_MicrophoneData
- DAQSession_Slave1
- DAQSession_Slave2

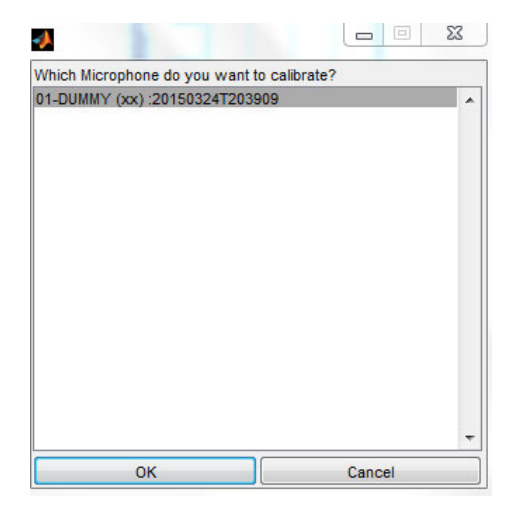
DAQSession_Slave3

Der Ordner DAQSession_Calibration enthält die Zeitsignale während der Kalibrierung des jeweiligen Kanals im Format Calibration_Channel_X_Y.daq. X ist eine zweistellige Zahl, die den Messkanal (1 – 16) spezifiziert. Das Datum und die Uhrzeit werden an der Stelle Y kodiert z.b. wird der 01.01.1990 12:34:56 Uhr als 19900101T123456 dargestellt. Wenn der Kanal um diese Uhrzeit kalibriert wurde lautet die dazugehörige Kalibrierdatei Calibration_Channel_01_19900101T123456.daq. Wenn kein Mikrofon während der akutellen Messung kalibriert wurde ist der Dateiordner leer. Im LogData-Ordner werden die jeweiligen Event-Dateien hinterlegt. Die Event-Daten werden jeweils als .mat-Datei abgespeichert und besitzen das Messdatum als Dateinamen z.B. 19900101T123456.mat. Dasselbe gilt auch für den MicrophoneData-Ordner. Bei jedem Messstart wird eine Datei erzeugt, die eine akutelle Konfiguration der Mikrofone und die dazugehörigen Informationen z.B. der letzten Kalibrierung und dem dazugehörigen Mikrofonübertragungsfaktor enthält.

KALIBRIERUNG VON MIKROFONEN

Die Pegelkalibrierung ist ein wichtiger Vorgang um die absolute Empfindlichkeit des Messmikrofons zu bestimmen. Abweichungen der Messstrecke z.B. durch die angeschlossenen Messkabel werden dadurch mitberücksichtigt. Die Kalibrierung wird unter Verwendung eines akustischen Kalibrators durchgeführt. Dieser erzeugt einen Referenzton um diesen mit den Messmikrofonen zu messen. Der Kalibrierton liegt in der Regel bei einer Frequenz von $f=1\ kHz$ und besitzt einen Pegel von 94 dB re 20 μPa^4 . Mit der Kalibrierung wird die Mikrofonempfindlichkeit justiert. Die Messung des Pegels des Referenztons ermöglicht eine schnelle Überprüfung der Funktionsfähigkeit des Messsystems. Die Software-Applikation stellt die Möglichkeit der Kalibrierung zur Verfügung. Über den Menüpunkt Calibration - calibrate microphone wird die Routine zur Mikrofon-Kalibrierung (calibrateMic.m) gestartet. Im ersten Schritt wird der Benutzer gefragt welches Mikrofon kalibriert werden soll.

 $Abbildung\,3.14: Auswahlfenster\,des\,zu\,kalibrierenden\,Mikrofons\,der\,MAMS-Software-Applikation.$



Nach Auswahl des Mikrofons und der Bestätigung das der Vorgang durchgeführt werden soll wird ein Fenster geöffnet, welches eine Pegel-korrekte FFT im Bereich von 500 Hz bis 2 kHz. Für die Kalibrierung wurde die SamplesAcquiredFcn geändert. Nachdem ein Signalblock erfasst wurde, wird die getSensitivity-Funktion aufgerufen.

 $^{^4}$ in Umgebungen mit einem hohen Umgebungsgeräuschpegel werden auch höhere Pegel z.B. 114 dB re 20 μPa verwendet.

Der Algorithmus basiert auf den Grundlagen der Frequenzanalyse. Der aktuelle Signalblock wird zuerst mit einer Fenster-Funktion gewichtet. Da es sich bei der Pegelkalibierung um eine einzelnen Ton (i.d.R. 1 kHz) handelt und die Genauigkeit der Amplitude sehr wichtig ist, wird das Eingangssignal mit einem Flat-Top-Fenster gewichtet. Dieses Fenster hat eine sehr hohe Amplitudengenauigkeit, der Amplitudenfehler ist praktisch Null [8]. Die Frequenzauflösung des Flattop-Fenster ist jedoch relativ schlecht, weil für jede Frequenzkomponente etwa 9-10 weitere Linien im Spektrum abgebildet werden [8]. Bei der Pegelkalibrierung ist jedoch die genaue Analyse der Amplitude wichtiger als die Kenntnis über die korrekte Signalfrequenz, solange diese innerhalb eines zulässigen Frequenzbereich von 960 Hz bis 1040 Hz liegt. Damit der Pegel richtig abgebildet werden kann muss das gewichtete Signal je nach Wahl der Fenster-Funktion skaliert werden. Der Skalierungsfaktor entspricht dem Kehrwert des Summe der Gewichtungsfaktoren des Fensters normiert auf die Länge der Folge.

Als erstes wird das komplexe Spektrum des Eingangssignal nach [31] berechnet. Die Berechnung der DFT mithilfe des FFT-Algorithmus liefert ein komplexes Zwei-Seitenspektrum S_{AA} . Jeder dieser spektralen Hälften besitzt jeweils die Halbe Energie des gesamten Spektrums. Die negativen Frequenzen sind daher redundant, weil sie das symmetrische Abbild der positive Frequenzhälfte darstellt und jeweils die Hälfte der Energie besitzt. Daher ist es möglich den redundanten Teil des Spektrum zu vernachlässigen und so ein Einseiten-Spektrum G_{AA} zu berechnen. Damit die Energie des Signals gleich bleibt muss die positive Frequenzhälfte mit Zwei multipliziert werden. Das gilt jedoch nicht für den Gleichspannungsanteil (f= 0 Hz), weil das Spektrum symmetrisch um dieses Bin ist.

$$G_{AA}(i) = S_{AA}(i), i = 0(DC)$$
 (3.5)

$$G_{AA}(i) = 2 \cdot S_{AA}(i), i = 1 - \frac{N}{2} - 1$$
 (3.6)

Die Frequenzbins von N/2-N-1 werden nicht berücksichtigt. Die Höhe der Amplitudenwerte der einzelnen Frequenzkomponenten beträgt jeweils

$$\frac{A_k^2}{2} = (\frac{A_k^2}{\sqrt{(2)}}),\tag{3.7}$$

wobei $\frac{A_k}{\sqrt{(2)}}$ dem Effektivwert eines Sinus-Signals entspricht. Um das Amplitudenspektrum aus der komplexen FFT zu erhalten muss es noch entsprechend konvertiert und skaliert werden [30].

$$Amplitude[V_{pk}] = \frac{Magnitude}{N} = \frac{\sqrt{real(FFT(A))^2 + imag(FFT(A))^2}}{N}$$
(3.8)

Die Komponenten der Spektrallinien stellen jeweils den Spitzenwert der Frequenzkomponente dar. Zur Umwandlung in einen Effektivwert ist das Zweiseitenspektrum durch den Crest-Faktor für Sinus-Signale zu dividieren. Mit der Multiplikation von 2 aufgrund des Wegfalls der redundanten Frequenzkomponenten.

$$Amplituden[V_{rms}] = \frac{Amplitude[V_{pk}]}{\sqrt{2}}$$
 (3.9)

Die Gleichung (3.9) stellt die pegelrichtige FFT dar. Nur bei der korrekten Berechnung der FFT und richtiger Anwendung der Fensterung ist es möglich die Pegelkalibrierung durchzuführen. Die Implementierung des Kalibrier-Algorithmus in MATLAB ist im folgenden aufgeführt.

- 1 %Kalibrierungs-Algorithmus------

```
3
     % 1. Berechnung des Gewichtungs-Fenster für die Fensterung des
     % erfassten Messdaten-Block
4
     winFFT = flattopwin(length(data(:,channelIdx)));
5
     % 2. Fensterung des aktuellen Messdaten-Block
6
     sigWin = data.*winFFT*(length(data)/sum(winFFT));
7
     % length(data)/sum(winFFT) ist Amplitudenkorrektur für die
8
9
     % Energieänderung durch das Fenster
     10
     11
     dataComplexFFT = fft(sigWin);
12
     13
     14
     dataAbsFFT = abs(dataComplexFFT);
15
     16
     % 5.Normierung des Spektrum und Beschränkung auf das Einseiten-Spektrum
17
     dataAbsFFT
              = 2*dataAbsFFT(1:end/2)/length(data); % Berechnung des
18
     % 6. Einseiten-Spektrums
19
     dataAbsFFT(1) = dataAbsFFT(1)/2; % Halbierung des ersten Bins, weil
20
     % die Spektrallinien bei 1 und NFFT/2 zusammen fallen
21
     22
     dataRMSFFT = dataAbsFFT/sqrt(2); % Berechnung des Effetivwertes
23
     % ==> Crest-Faktor für Sinus-Schwingungen 1/sqrt(2) ~ 0,707
24
     25
```

In der getsensitivity-Funktion wird der Übertragungsfaktor unter Verwendung eines akustischen Kalibrators bestimmt. Die Kalibrierung erfolgt durch die Auswertung der jeweils aktuellen Signalblöcke. Je nach Abtastrate variiert die Länge eines Blocks zwischen 1024 Samples und 16384 Samples pro Block. Für das Beispiel einer Abtastrate von 48 kHz wird die getsensitivity-Funktion nach jeweils 8192 Samples bzw. nach etwa 171 ms aufgerufen. Vom aktuellen Signalblock wird der Effektivwert berechnet. Dieser wird wiederum in einer Historie abgespeichert. Dieser Vektor dient im späteren Verlauf dazu Pegelschwankungen des Kalibriertons feststellen zu können. Die Kalibrierung ist nur erfolgreich, wenn der Kalibrierton über mindestens 5 Sekunden eine maximale Abweichung von \pm 0,5 dB besitzt. Wenn diese Bedingung erfüllt ist wird der Übertragungsfaktor des aktuellen Signalsblocks abgespeichert und die Kalibrierung beendet.

Der Benutzer kann die Übernahme des neuen Übertragungsfaktors auch verweigern, das ist sinnvoll, wenn die Pegeländerungen durch den neuen Übertragungsfaktor größer als ein paar dB sind. In diesem Fall kann ein Fehler oder Schaden in der Messkette vorliegen.

Sobald eine das Mikrofon auf einen neuen Mikrofonübertragungsfaktor kalibriert wurde kann die Kalibrierung auf zwei verschiedene Weisen überprüft werden. Die erste Möglichkeit besteht in dem erneutem Aufruf der Kalibrierungsroutine. Mit dem neuen Übertragungsfaktor sollte der gemessene Pegel relativ schnell den erwartenden Kalibrierpegel anzeigen (z.B. 94 dB) anzeigen. Wenn der Pegel über Fünf Sekunden konstant ist, wird der eine neuer Übertragungsfaktor und die Pegeldifferenz zu gegenüber der vorherigen Empfindlichkeit angezeigt.

3.2.6. STROMVERSORGUNG

Die Stromversorgung stellt einen der kritischen Punkte des Datenerfassungssystems dar. Es müssen insgesamt 16 ICP-Mikrofone, 4 USB-Messmodule, und einen Host-PC mit Strom versorgt werden. Die Stromversorgung der Mikrofone ist in der Signalkonditionierung des DT9837B-Module integriert. Der gesamte Leistungsbedarf des System liegt bei ca. 15,5 W (siehe Tabelle 3.5).

Der genaue Bedarf richtet sich nach Auslastung des PCs. Je höher dieser ist, desto größer ist der Leistungsbedarf. Der Anforderungskatalog fordert eine durchgehende Betriebszeit von 8-10 Stunden. Die vier USB-Module werden über zwei USB-Buchsen an den Computer angeschlossen. Ein Modul wird direkt mit dem PC verbunden, die übrigen drei Module werden über ein aktives USB-Hub an den Computer angeschlossen. Die Geräte benötigen für einen zuverlässigen Betrieb einen

Abbildung 3.15: Darstellung des Kalibrierfenster einer erfolgreichen Pegelkalibrierung innerhalb der MAMS-Software-Applikation.

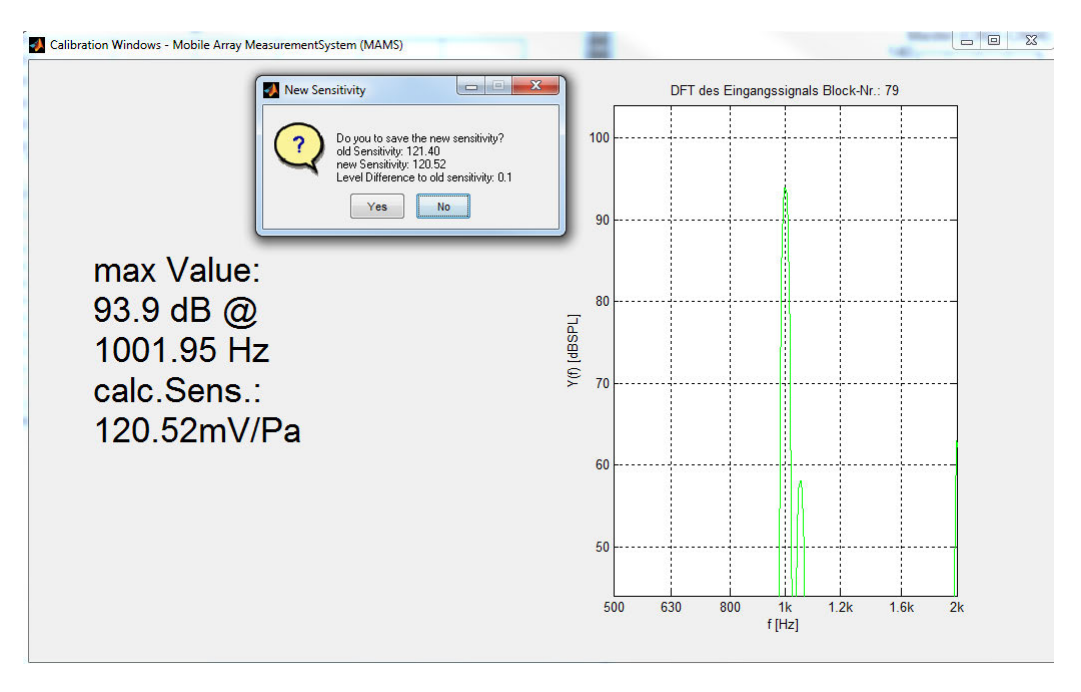


Tabelle 3.5: Leistungsbedarf der Komponenten des MAMS

PC-Host	≤ 15 W
DT9837B-Modul	4 x (0,3 V · 0,425 A)
Gesamt	≈ 15,5 <i>W</i>

Versorgungsstrom von mindesten 425 mA. Da der zur Verfügung stehende Strom eines USB-Ports auf maximal 500 mA begrenzt ist muss an dieser Stelle ein aktiver USB-Hub verwendet werden. Er stellt sicher, dass jedes, an den Hub angeschlossene Gerät, einen Strom von bis zu 500 mA abrufen kann. Der Strom wird mit den internen Akkus des USB-Hub CP-H420MP (4 x AAA Akkus) zur Verfügung gestellt. Die Akkus des USB-Hubs besitzen eine Kapazität von 1300 mAh bei einer Nennspannung von 1,2 V. Die Parallelschaltung erhöht die Kapazität des USB-Hubs auf 5200 mAh. Der USB-Hub ist so konzipiert, dass er nur den zusätzlich vom angeschlossenen Gerät benötigten Strom zur Verfügung stellen muss. Der maximale Strom von 500 mA wird auf alle angeschlossenen USB-Geräte eines Ports aufgeteilt. Bei drei DT9837B-Modulen an einem USB-Port werden jedem Gerät ca. 167 mA zur Verfügung gestellt. Für einen ordnungsgemäßen Betrieb ist dieser Strom zu gering. Der USB-Hub stellt jetzt den zusätzlichen Bedarf von (425 - 167) = 258mA an jedem Modul bzw. 774 mA insgesamt zur Verfügung. Die theoretische Betriebsdauer des USB-Hubs beträgt mit diesen Akkus

$$t = \frac{C}{I} = \frac{5200 \ mAh}{774 mA} = 6,72h \tag{3.10}$$

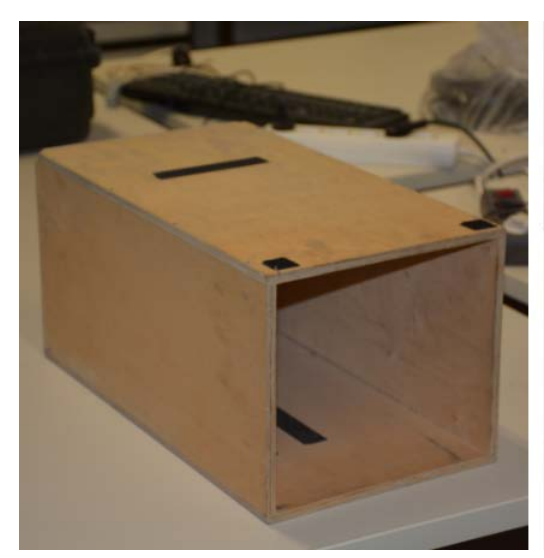
Die Anforderung an die Betriebszeit werden um ca. 1 Stunde unterschritten. Da die Installation der Mikrofone am Array mit mindestens einer Stunde eingeplant wird ist die Betriebszeit des USB-Hub für die DT98337B-Module als akzeptabel einzustufen. Außerdem kann die Laufzeit relativ schnell erhöht werden indem die Akkus ausgetauscht werden. Dadurch werden mit acht Akkus eine Laufzeit von etwa 13 Stundene erreicht.

Die Laufzeit des Laptop beträgt theoretisch etwa 8,5 Stunden 5 . Die Angabe stellt eine messtechnisch ermittelten Messwert unter Laborbedingungen dar. Um die Sicherheit eine langen Betriebsdauer auch bei höherem Leistungsverbrauch des Computers zu ermöglichen wurde eine zusätzliche Powerbank für den Computer vorgesehen. Eine Powerbank mit 23 Ah bei einer Nennspannung von 3,7 V (85,1 Wh) erhöht die Laufzeit auf etwa 14 Stunden ohne an einen Netzstromanschluss angeschlossen werden zu müssen. Als erstes erfolgt die Entladung der externen Powerbank, gefolgt von der externen Akku-Bay und anschließend dem internen Akkus des Computers. Ein größerer Akkubzw. Powerbank kann nicht eingesetzt werden, weil die internationalen Regeln für Flugzeuggepäck nur den Transport eines Akkus mit einer maximalen Kapazität von 120 Wh zu lassen.

3.2.7. GEHÄUSE

Sowohl für den Transportweg mit dem Flugzeug, als auch für den Aufstieg auf den Vulkan wurde ein Gehäuse benötigt in dem die Komponenten des Messsystems aufbewahrt und transportiert werden können. Ein erster Prototyp wurde aus Holzplatten angefertigt. Die Abmessungen wurden so gewählt, dass das Holzgehäuse noch in einen 70l Rucksack gesteckt werden kann und beim Transport mit dem Flugzeug die Abmessungen der Handgepäck-Stücke nicht überschreitet. Die Vorderseite ist zum Verstauen der Messgeräte offen gehalten. Die Rückseite Der Kiste ist mit eine schiebbaren Service-Klappe ausgestattet, damit im Fall eines Fehlers der Zugang zur Rückseite weiterhin möglich ist. Das kann notwendig sein um die Funktion der DAQ-Module über die Status-LEDs oder um Kabel zu überprüfen, ohne alle USB-Module von vorne entnehmen zu müssen. Das Gehäuse ist in der folgenden Abbildung dargestellt.

Abbildung 3.16: Erster Gehäuse-Prototyp des MAMS.





⁵Gesamtenergie der internen und externen Akkus von 127 Wh mit einem typ. Verbrauch von 15 Watt. Der Verbrauch wurde bei eingeschalteten Energie-Manager Profil Maximale Lebensdauer des Akkusërmittelt.

EVALUATION DES MOBILEN DATENERFASSUNGSSYSTEMS

Mit der Evaluierung des Datenerfassungssystems soll überprüft werden ob die Anforderungen an das System mit den vorhandenen Eigenschaften erfüllt werden. Die wesentlichen Kriterien aus dem Kapitel 3 lauteten:

- synchrone, Sample-genaue Verarbeitung von 16 Eingangskanälen,
- integrierte IEPE-Signalkonditionierung,
- Frequenzbereich von mindestens 10 Hz bis 20 kHz,
 - optional von 0,1 Hz bis 50 kHz
- linearer Phasengang (konstante Gruppenlaufzeit),
- gutes SNR,
- geringer THD,
- flexible programmierbare Steuerung der Datenerfassung,
- mobiler Batteriebetrieb (8-10 h),
- geringes Gewicht und ein kleines Packmaß.

Die Evaluierung erfolgte in verschiedenen Schritten, da die Anforderungen sehr unterschiedlich waren. Es gab sowohl Labor, als auch Feld-Messungen um die Funktionsfähigkeit des DAQ-Systems zu überprüfen. Im Labor wurden die Funktionsfähigkeit und Bedienung der DAQ-Software-Applikations untersucht. Zusätzlich wurden elektrische Messung zu den Eigenschaften der USB-Messgeräte durchgeführt. Im Feld fand vor der eigentlichen Messung am Vulkan ein Test zum praktischen Aufbau und

Langzeitstabilität des Messaufbaus statt.

Wie bereits zu Beginn erwähnt wurde sind das Trägersystem der Mikrofone, die Array-Geometrie und das Beamforming nicht Gegenstand dieser Arbeit und werden daher nicht bei der Evaluierung berücksichtigt.

Im Folgenden werden in verschiedenen Abschnitte die Eigenschaften der Messsystem-Komponenten mit den Anforderungen verglichen.Im ersten Abschnitt dieses Kapitels wird der Evaluierung der Software vorgenommen. Da die Bearbeitungszeit keine umfangreiche Quality and Usability-Untersuchung mit Probanden zuließ wird an dieser Stelle im wesentlichen nur die Kalibrierungs-Funktion und die Stabilität der Software-Applikation untersucht. Der Bedienungskomfort kann nur aus eigener Perspektive abgeschätzt, aufgrund der fehlenden Test mit Probanden jedoch nicht beurteilt werden.

4.1. EVALUATION DER SOFTWARE

4.1.1. KALIBRIERUNG

Der FFT-Analysator der für die Kalibrierung verwendet wird, wird anhand eine elektrischen Testmessung überprüft. Es werden insgesamt fünf Sinussignale mit einer Frequenz von 1 kHz und einer Amplitude zwischen 0,01 V bis 10 V erzeugt und mit einem DT9837B-Modul gemessen. Wenn der Analysator korrekt funktioniert wird im Bereich von 1kHz ein Signal mit der identischen Amplitude bzw. Effektivwert erwartet.

Die Messung wurde mithilfe eines dScope Series III Audio Analyzer durchgeführt. Mit dem dScope wurde das Sinussignal an Output A erzeugt und anschließend mit den Eingangskanal des Mastermoduls verbunden. Als Messkabel wurde ein ca. 1 m langes einfach geschirmtes RG58-Kabel verwendet.

Das Ergebnis der Untersuchung wird in der Abbildung 4.1 dargestellt. Die Messsignale sind jeweils fünf Sekunden lang und wurden mit dem Flat-Top-fenster gewichtet. Die Anzahl der FFT-Punkte beträgt $N=2^18=26.2144$. Das führt bei einer Abtastrate von 48~kHz zu einer Auflösung von $\Delta f=0.92~Hz/Bin$.

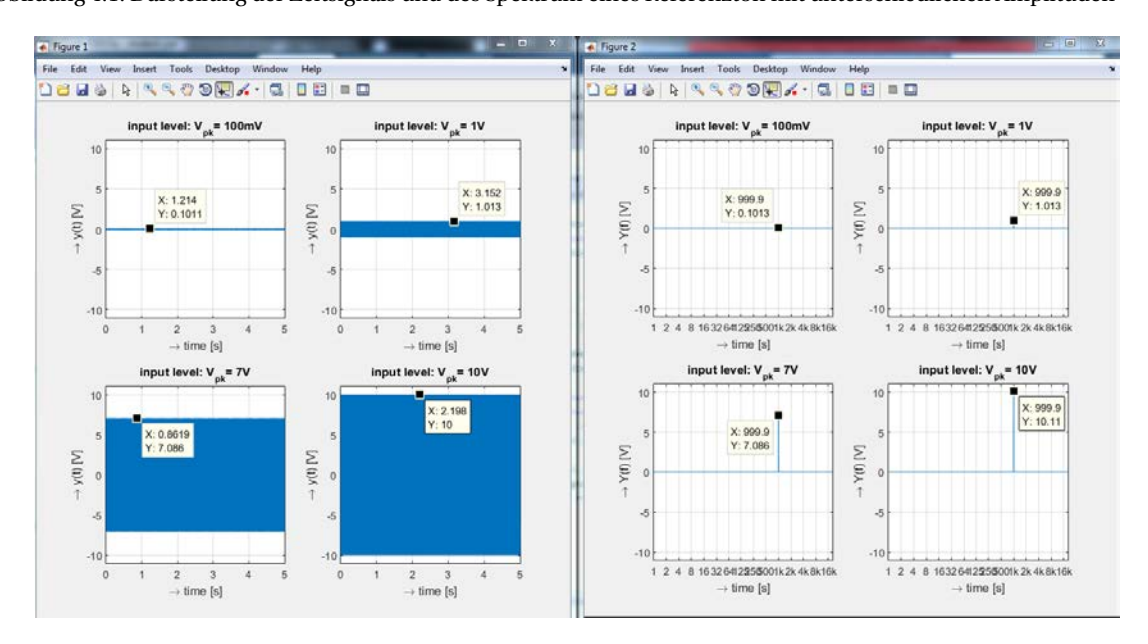


Abbildung 4.1: Darstellung der Zeitsignals und des Spektrum eines Referenzton mit unterschiedlichen Amplituden

Die Abweichungen liegen bis 7 V in einem zulässigen Bereich. Unterhalb einer Eingangsamplitude von 7 V beträgt die Abweichung der maximalen Amplituden ca. 0,2 mV (siehe 4.1). Es ist

auffällig, dass bei der Eingangsamplitude von $10\ V$ die Abweichung der maximalen Amplitude von Spektrum und Zeitsignal relativ groß wird. Das liegt unter Umständen in der Übersteuerung des A/D-Wandler durch diese hohe Amplitude. Daraufhin wird die Energie der harmonische Verzerrungen auch auf die Signalfrequenz.

Tabelle 4.1: Messergebnisse	des FFT-Analysator	Test für die Kali	brierung.

maximale Amplitude (Zeitsignal)	maximale Amplitude (Spektrum)	Differenz
V	V	V
0,1016	0,1013	0,0002
1,0135	1,0134	0,0001
7,0858	7,0858	0,0000
10,000	10,1082	-0,1082

So ein hohe Pegel wird jedoch auch nicht für eine Pegelkalibrierung verwendet. Mit einer typischen Empfindlichkeit von 50 mV/Pa erzeugt ein Mikrofon an seinem Ausgang ein Signal mit einer Amplitude von etwa 50 mV. Eine Übersteuerung ist nicht zu erwarten. Die FFT-Analysator funktioniert somit erwartungsgemäß in einer angemessenen Qualität.

4.1.2. Langzeitstabilität und Bedienkomfort

Die MAMS-GUI kann nachdem sie einmal gestartet wurde vollständig mit der Tastatur bedient werden. Die Messungen werden mit einem Druck auf die Leertaste gestartet und gestoppt. Sollen bestimmte Ereignisse protokolliert werden, kann der Benutzer mit den anderen Tasten den Zeitpunkt im Eventlog aufnehmen. Die Funktionen im Menü (z.B. Kalibrierung oder Ansicht der Mikrofon-Daten) können per Maus-Klick oder über Short-Cuts erreicht werden.

Aus eigener Erfahrung hat sich die Bedienung der Messung über die Leertaste als sehr komfortable erwiesen. Besonders in rauen Messumgebungen und heller Sonneneinstrahlung ist es mit einem kurzen Blick möglich zu überprüfen ob nach einem Druck auf die Leertaste die Messung gestartet wurde. Dasselbe trifft auf die Kalibrierung zu. Mit den Shortcut STRG+C wird das Menü zur Auswahl des zu kalibrierenden Mikrofons geöffnet. Alle weiteren Entscheidungen können ebenfalls mit der Tastatur getroffen werden. Gerade während einer Feldmessung war die Bedienung mit der Tastatur zuverlässig. sDie Maus wird nur noch bei der Konfiguration des Mikrofon-Setups benötigt, um die Seriennummer und damit die entsprechenden Mikrofone auszuwählen.

Insgesamt bewerteten alle bisherigen Benutzer des MAMS die Bedienung der GUIs als komfortabel. Hier wird der Farbwechsel von grün und rot beginnender oder beendeter Messung hervorgehoben. Jedoch handelt es sich dabei um einen kleinen Personenkreis von weniger als 5 Personen. Deshalb besitzen diese Aussagen eine eingeschränkte Aussagekraft.

Bezüglich der Langzeitstabilität können noch keine eindeutigen Aussagen getroffen werden. Im Rahmen der Entwicklung und Evaluierung war das MAMS mehr als 100 Messstunden in Betrieb. Mit seltenen Ausnahmen gab es eine Fehlermeldung und die DAQ-Module konnten nicht gestartet werden. Nach einem kompletten Neustart von MATLAB war das Problem behoben. Dieser Fehler konnte nicht zuverlässig reproduziert werden. Auch ließen sich keine eindeutige Einflussfaktoren, als der Fehler passiert feststellen.

4.2. EVALUATION DER HARDWARE

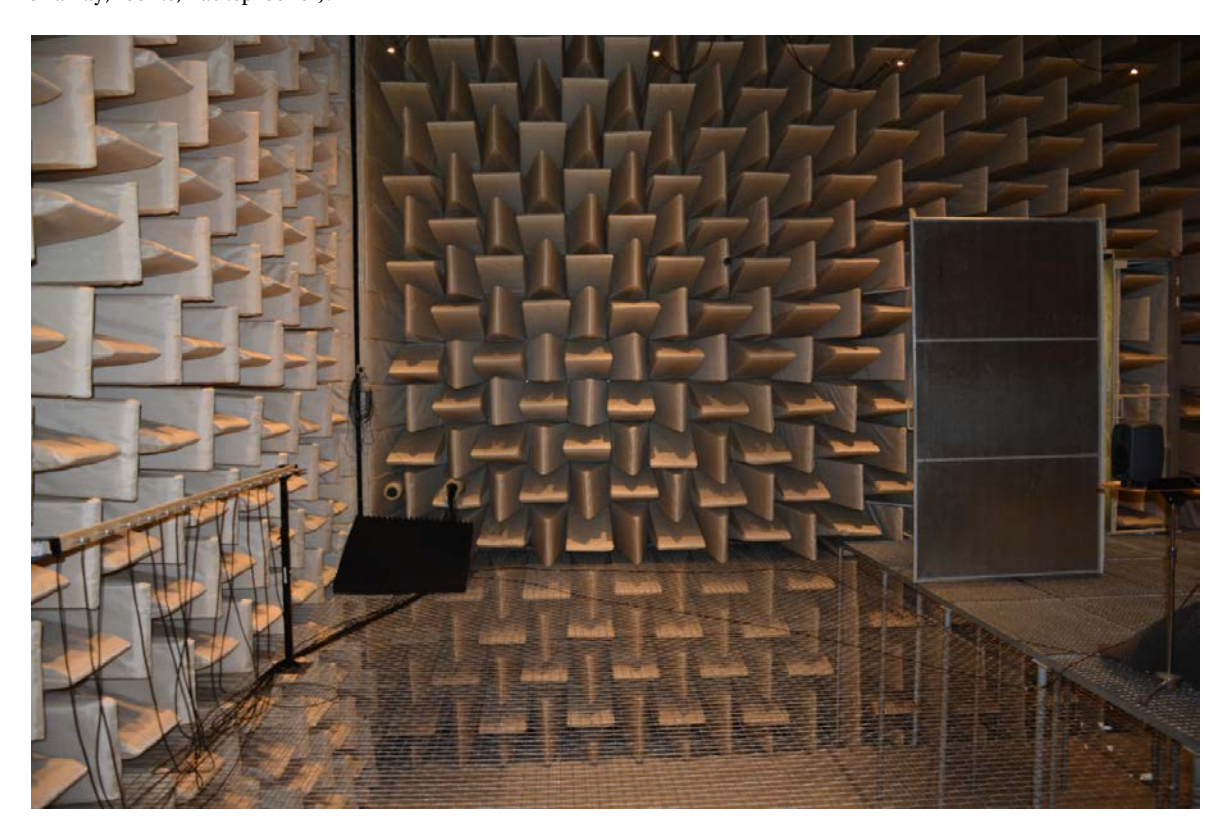
Dies Auswertung der .daq-Dateien erfolgten mit einer aktuellen Version MATLAB R2015a (8.5.0.197613). Diese Version enthält in der Signal Processing Toolbox Algorithmen zur Auswertung von Harmonischen Verzerrungsprodukten wie z.B. dem THD. Darüber hinaus besteht die Möglichkeit Signale bezüglich des SINAD, die SFDR und des SNR mithilfe von den MATLAB-Algorithmen zu berechnen. Es wurden keine eigene Algorithmen verwendet um Fehler auszuschließen und eine Transparenz reproduzierbarer Ergebnisse zu erhalten. Die USB-Messgeräte verfügen über keine Ausgangskanä-

le. Daher war es nicht möglich den Frequenzgang der Geräte zumessen ohne die Herstellergarantie zu verlieren. Deshalb wurde auf diese Messung verzichtet in der Annahme, dass die Herstellerangaben korrekt sind.

4.2.1. LABORMESSUNG

Die nachfolgenden Labormessungen fanden in der Regel Im RAR der TU Berlin statt. Das vorgestellte typische MAMS-Konfiguration wurde im RAR aufgebaut. An jedes der vier DT9837B-Module wurden vier Mikrofone angeschlossen. Die Mikrofone wurden als Linien-Array gegenüber einen Lautsprecher angeordnet.

Abbildung 4.2: Messaufbau zur Bestimmung von Synchronisationsabweichungen im RAR der TU Berlin (links, Mikrofonarray; rechts, Lautsprecher).



Die Module wurden jeweils mit einem USB 2.0 Kabel mit dem Host-PC verbunden. Damit die Datenerfassung der einzelnen Module synchron verläuft wurden die RJ45-Buchse der Module mit kurzen Patchkabel an das EP-Panel angeschlossen mit dem Panel wird das Sync-Signal vom Master-Modul an die angeschlossenen Slaves weiter durchgeschleift.

SYNCHRONISATION DER SIGNALE

Mit den zur Verfügung stehenden Mitteln konnte keine Asynchronizität zwischen den einzelnen Modulen festgestellt werden. Da nicht direkt an der Hardware gemessen werden konnte wurde innerhalb von MATLAB die Untersuchung vorgenommen. Für jedes Modul erzeugt die MAMS-Applikation eine gleichnamige .daq-Datei. Um die Daten auszulesen muss die Datei mit der Funktion daqread() ausgelesen werden.

```
1 [data, time, abstime, events, daqinfo] = daqread('test.daq');
```

Um die Synchronizität zu überprüfen muss als erste die Vairable abstime überprüft werden. Diese gibt den Zeitpunkt an, wann das Modul mit der Datenerfassung begonnen hat. Dadurch das als

erstes die Slaves in einer Wartehaltung gestartet werden und anschließend über den Start des Master mit der Datenerfassung beginnen müssen alle Module die selbe abstime besitzen. Als nächstes wird die Differenz der Zeitvektoren der Slave-Module zum Master-Modul berechnet. Diese Differenz beschreibt die zeitlichen Abweichung der Samples der Slave-Module zum Master-Modul. Aufgrund der Zwischenspeicherstruktur mit dem Buffer im DAQ-Modul und innerhalb der Matlab-Umgebung sind die Samples die mit der MAMS-Applikation berechnet wurden vollkommen synchron. Auf Seite der Hardware konnte villeicht eine Verzögerung erfolgen, die innerhalb der Software bereits kompensiert wurde.

FFT-ANALYSE DER SIGNALE

Zur Evaluierung der Eignung der Datenerfassung für die bevorstehende Messaufgabe am Vulkan werden vier Parameter gemessen: das SNR, die SINAD, die THD und der SFDR. Das SNR stellt ein klassischen Parameter dar, welcher das logarithmiertes Verhältnis der Signalleistung zur Rauschleitung dar. Ein besonders gutes SNR besitzt eine großen Wert. Dasselbe gilt für das SINAD, und dde SFDR. Für den Klirrfaktor (THD) gilt es einen möglichst niedrigen Wert zu erzielen. Das THD gibt das Verhältnis der Amplituden harmonischen Verzerrungen zur Eingangsamplitude des Eingangssignal an. Je niedriger das THD ist, desto weniger harmonische Verzerrung werden am Ausgangs des A/D-Wandlers gemessen.

Die Überprüfung der elektrischen Eigenschaften erfolgt auf zwei Wegen. Als erstes werden SNR, THD, SINAD und SFDR in Abhängigkeit der Signalfrequenz im Bereich von 1 Hz bis 20 kHz für drei Signalpegel (1 V, 7 V und 10 V) dargestellt. Nach Auswertung dieser Daten werden die selben Parameter in Abhängigkeit der Eingangspegel mit einer Frequenz von jeweils 1 kHz dargestellt.

Als Messsetup wurde das typische MAMS-Setup mit vier DT9837B Modulen eingesetzt (siehe Abbildung 4.3).

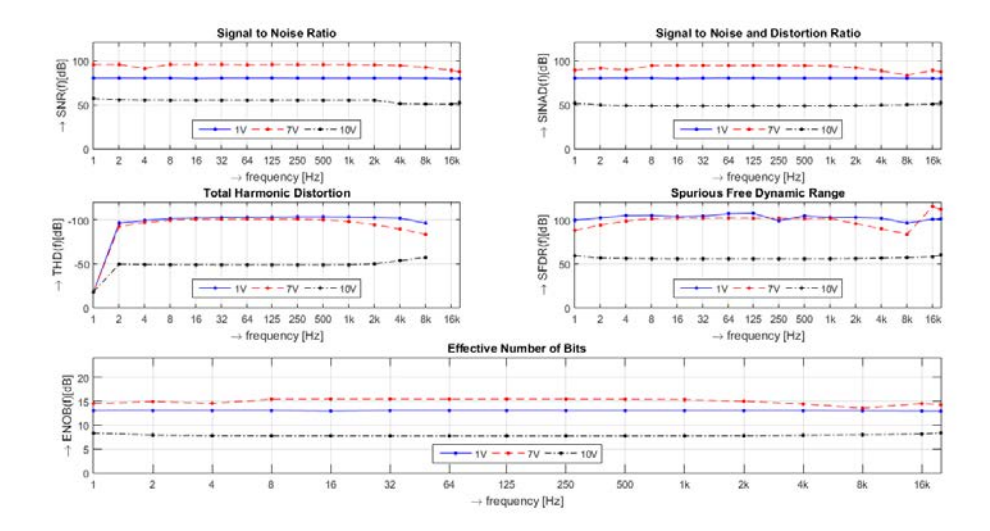


Abbildung 4.3: Vollständig aufgebautes MAMS mit neuem Gehäuse (Pelicase, rechts)

Die Eingangssignale wurden hier nicht mit den Mikrofonen gemessen und analysiert sondern

elektrisch mit einem DScope-Messsystem erzeugt und direkt mit den Eingänge der DAQ-Module verbunden, um den Einfluss der Mikrofone an dieser Stelle vernachlässigen zu können Die Ergebnisse der frequenzabhängigen Messung werden in der Abbildung 4.4 dargestellt.

Abbildung 4.4: Gemessene Werte für das SNR, SINAD, THD, SFDR und ENOB in Abhängigkeit der Signalfrequenz gemittelt über 4 Kanäle mit je vier Messungen mit einer Dauer von jeweils 5 Sekunden(Hanning-Fensterung)



Die USB-Messgeräte wurden bei jeder Messung mit einem Eingangsbereich von \pm 10 V betrieben. Durch den Messbereich von -10 V bis + 10 V lassen sich für die Signale mit einem Eingangspegel von -20 dBFS(1V), - 3 dBFS(7V) und 0 dBFS zwei Erwartungen ableiten, die in der Abbildung auch wiedergegeben werden. Als erstes wird erwartet, das die alle Werte mit zunehmenden Eingangspegel besser werden. Zweites wird ab einem bestimmten Pegel erwartet, dass die Werte rapide schlechter werden. In der dargestellt Abbildung wird der Frequenzverlauf von fünf Parameter in einem Frequenzbereich von 1 Hz bis 20 kHz dargestellt.

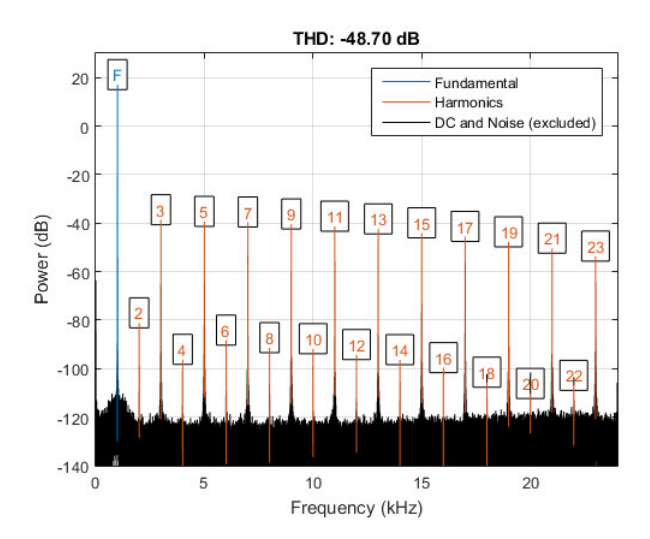
Das SNR zeigt das schlechteste Verhalten bei einem Eingangspegel von 10 V. Hier liegt das durchschnittliche Verhältnis vom SNR bei etwa 50 dB. Die beste Performance zeigt sich bei einem Eingangspegel von 7 V. Das entspricht dem maximalen Ausgangspegel der PCB 387B02 Mikrofonen. Mit sinkenden Pegel wird das Signal zu Rausch Verhältnis ebenfalls geringer. Das schlechtere SNR bei hohen und niedrigen Pegel hat zwei Ursachen. Das SNR berücksichtigt per Definition nur die Rauschleistung ohne harmonische Verzerrungsprodukte oder nicht gefilterten Gleichspannungsanteile. Bei hohen Pegel übersteuert der A/D-Wandler. Es werden die Amplituden, die über dem maximal darstellbaren Eingangsspannungen liegen mit dem höchsten zulässigen Wert kodiert. Dadurch können rechteckähnliche Signal entstehen, weil die Amplitude klippt. Diese Clippen ist mit dem Signal korreliert. Der Quantisierungsfehler ist nun größer als das theoretische Maximum von 0,5 LSB und die Rauschleistung wird auch größer. Die höhere Rauschleistung aufgrund des größer werdenen Quantisierungsfehler führt zu einer Verringerung des SNR.

Bei kleinen Signalpegel verhält es sich anders. Durch den geringen Signalpegel wird der A/D-Wandler nicht voll ausgesteuert. Das Signal mit kleiner Amplitude wird nur mit wenigen gültigen Kodewörtern kodiert. Das entspricht eine Quantisierung mit geringer Auflösung. Es werden häufiger geringe Pegelunterschiede mit dem selben Kodewort kodiert, was wiederum zu einem höheren Quantisierungsrauschen und somit auch geringerem SNR führt. Das Signal mit einem Eingangspegel von - 3 dBFS (7V) ist jedoch fast im vollen Aussteuerungsbereich des A/D-Wandler der USB-Messgeräte und zeigt einen guten Wert von etwas 95 dB. Bei allen Eingangspegel zeigt sich ein fast linearers Frequenzverhalten. Die Messung mit dem 7V-Signal weist Abfall zu hohen Frequenzen von 94,39 dB bei 4 kHz zu 87,71 dB bei 20 kHz auf. Die Abweichungen der übrigen Frequenzverläufe sind relativ

gering.

Der nächste Parameter ist das THD und ist in dieser Arbeit gleichgestellt mit der Bedeutung des klassischen Klirrfaktors. Der Klirrfaktor beschreibt das Verhältnis der Amplitude der Eingangssignalfrequenz zu der Summe der Amplituden der harmonischen Verzerrungen. Für die DT9837B-Module bedeutet das, dass mit einem 1 V- und 7 V-Signal Werte von etwa -100~dBc erreicht werden. Die Übersteuerung des 10~V Signals führt zu einem THD = -50~V. Dieser Wert ist auf die Verzerrungsprodukte aufgrund der Übersteuerung zurück zuführen. Der Frequenzverlauf zeigt beim THD auch eine Frequenzabhängigkeit mit zunehmender Frequenz auf. Dieser Effekt ist nur bedingt aussagefähig weil mit zunehmender Signalfrequenz weniger Verzerrungsprodukte berücksichtigt werden können,schließlich besitzt der Analysebereich eine Grenzfrequenz von 20 kHz. Deshalb wurde ab einer Frequenz von 8 kHz auf die Darstellung des THD verzichtet.

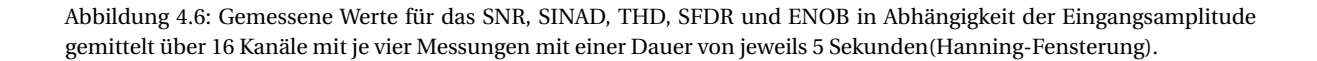
Abbildung 4.5: Darstellung des FFT-Spektrums zur Ermittlung des THD eines übersteuerten 1 kHz Sinus-Signals gemessen mit einen DT9837B-Modul.

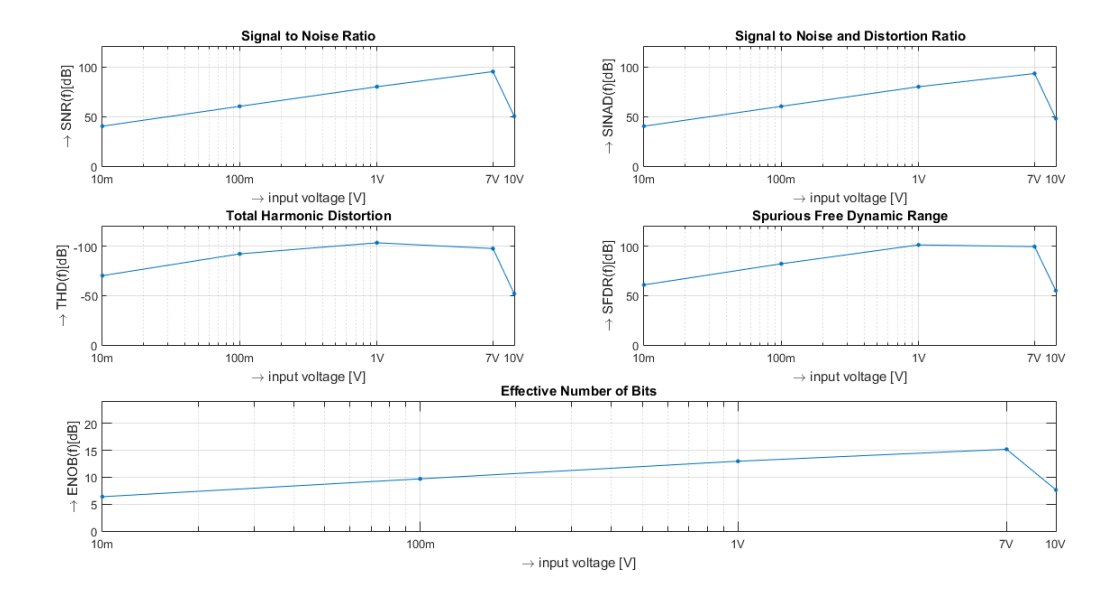


Der vierte Parameter ist der SFDR. Er beschreibt den Dynamikbereich von der Signalamplitude zur ersten Störamplitude im FFT-Spektrum. Das 10 Volt-Signal besitzt erwartungsgemäß die geringste Dynamik aufgrund der starken Verzerrung. Die Dynamik der bei anderen Signale liegen in etwa im selbem Bereich von etwa $80-100\ dB$.

In der Messtechnik ist die ENOB, die effektive Anzahl der Bits, ein aussagekräftiger Parameter. Der Parameter wurde aus den gemessenen SINAD-Werten berechnet. Die ENOB beschreiben welche effektive Quantisierungsauflösung der A/D-Wandler besitzt. Durch Verzerrungsprodukte und zusätzliches Rauschen (thermisch, elektrisch) wird der theoretische Wert von 24 Bit nicht erreicht. Im Rahmen dieser Arbeit wurde eine ENOB etwa 7 - 16 Bit ermittelt. Das entspricht einem Verlust von 8 bis 17 Bit zum theoretischem Ideal.

In der Abbildung 4.6 werden die Parameter in Abhängigkeit des Eingangssignalpegel dargestellt. Die Tendenz aus der vorherigen Betrachtung setzt sich hier fort. Mit zunehmender Signalamplitude verbessern sich die jeweiligen Parameter der gemessenen Signal. Ab einer gewissen Eingangsamplitude werden die Werte sofort schlechter. Ab diesen Punkt übersteuert das Signal. Durch die Übersteuerung wird dem Eingangssignal zusätzliches Rauschen und harmonische Verzerrungsprodukte hinzugefügt. Der Messbereich des Prüfling lag bei den Messungen im Bereich von -10~V bis +10~V eingestellt. Aus diesem Grund sind die Werte bei einer Eingangsamplitude von 10~mV sehr niedrig. Die geringe Amplitude führt zu einer Quantisierung nahe (45 dB Abstand zum Rauschteppich) des Rauschpegel des Messsystems. Hingegen ist der Abstand beim 7 Volt Signal mit am größten.





ZUSAMMENFASSUNG

Die Ergebnisse zeigen das die DT9837B-Module in ihren Eigenschaften (SNR, SINAD, THS, SFDR) einen relative linearen Frequenzverlauf von 2 Hz bis 4 kHz besitzen. Dasselbe gilt für die effektive Anzahl der Bits. Mit dem vorgestellten Messaufbau konnte jedoch keine Messung mit eine sehr hohen Quantisierungsauflösung reproduziert werden. Die maximale Auflösung lag im Bereich von 15 Bit mit einer Eingangsamplitude von 7 V. Die DAQ-Module reagierten in dem Test empfindlich auf Unter- und Übersteuerung des A/D-Wandlers. Das zeigten auch die Untersuchungen der Module in Abhängigkeit der Eingangsamplitude. Hier wiesen die untersuchten Parameter ihr lokales Maximum bei eine Amplitude von 7 Volt auf. Der DScope-Signalgenerator und das durch die Hardware zusätzlich hinzugefügte Rauschen führten zu Amplitude die wahrscheinlich geringfügig oberhalb der zulässigen Fullscale-Amplitude von 10 Volt lagen. Dadurch wurden starke harmonische Verzerrungsprodukte erzeugt, welche zu einer relevanten Verringerung der Messwerte führte.

Werden die Anforderung jetzt mit den vorliegenden Kenntnisse verglichen lassen sich folgende Schlüsse ziehen.

- Es ist eine integrierte IEPE kompatible Signalkonditionierung vorhanden. Die Konstantstromquelle stellt 4 mA bei einer Versorgungsspannung von 18 V zur Verfügung.
- Bei einem typischen Ausgangsbereich der Mikrofone von $\pm 7~V$ erreicht das THD einen mittleren Wert von etwa -98 dBc. Dieser Wert liegt in etwa im Bereich der Herstellerangaben [9]. Bei der Übersteuerung des A/D-Wandlers führen starke Verzerrungsprodukte zu einem niedrigen THD.
- Das SNR liegt laut Herstellerangaben bei SNR = 106 dB [9]. Dieser Wert konnte messtechnisch nicht überprüft werden. Das höchste Signal-/Rauschverhältnis wurde mit einer Amplitude von 7 V zu SNR = 95 dB bestimmt. Der Parameter SINAD beschreibt das Verhältnis der Leistung des Eingangssignal zu der Summe der Leistung der Harmonische Verzerrungen und des Rauschteppichs. Das höchste SINAD wurde zu ca. 93 dB bestimmt. Eine Herstellerangabe

zu diesen Parameter gab es nicht. Das SFDR liegt unter guten Messbedingungen bei etwas 100 dBc (Input = 1 V und 7 V) und entspricht in etwa den Herstellerangaben.

- Neben den elektrischen Eigenschaften lässt sich feststellen, dass durch die Kombination der Data Translation Open Layer Struktur und der Verwendung von MATLAB und der DAQ-Toolbox eine flexible Programmierumgebung zur Verfügung stellt. Mit den programmierbaren Benutzeroberflächen können alle gewünschten Funktionen auch grafisch umgesetzt werden ohne ein zu vertieftes Programmierwissen zu benötigen.
- Der Betrieb des MAMS ist ohne größerer Probleme für mehr als 10 h möglich. Durch den aktiven batteriebetriebenen USB-Hub können drei USB-Messmodule an einem USB-Port mit Strom versorgt werden. Nach 6-7 Stunden müssen die Akkus des USB-Hubs getauscht werden. Der Host-PC wird über eine internes Akku, einer zusätzlichen Akku Bay und einer Powerbank mit Strom versorgt. Die Kapazität der Akkus und der geringe Stromverbrauch ermöglichen einen etwa 14 stündige Betrieb.
- Auch die Anforderungen an das Gewicht werden erfüllt. Jedes der Module wiegt ca 500 g. In der Summe wiegen sie 2 kg. Das Gewicht des Computer und der Peripherie berücksichtigend kommt das MAMS inklusive des Holz-Protoyp-Gehäuses auf ein Gesamtgewicht von etwas 5,5 kg.
- Das die DT9837B Module synchron, Sample-genaue arbeiten konnte im Rahmen der Messungen auch bestätigt werden. Die Strukutr mit dem Zwischenspeicher sorgt für eine softwareseitig absolut synchrone Verarbeitung. Am Eingang kann die Erfassung asynchron sein, das wird jedoch durch die Zwischenspeicherstruktur abgefangen.
- Im Rahmen dieser Arbeit konnte kein genauer Frequenzbereich bzw. der lineare Phasengang (resultiert in einer konstanten Gruppenlaufzeit) nachgewiesen werden, weil kein Signalausgang zu Verfügung steht. Da es sich um eine zeitkritische Entwicklung handelte wurde auf das Öffnen des Gehäuses verzichtet. Der Hersteller hätte die Garantie entzogen und das wurde nicht beabsichtigt, weil das Messsystem sich noch in der Entwicklung befand und etwaige Fehler seitens des Hersteller nicht hätten reklamiert werden können.

4.2.2. FELDMESSUNGEN

Neben den Labormessungen fand vor der eigentlichen Messkampagne in Italien eine Messung auf dem Teufelsberg in Berlin statt. Die Messungen auf dem Teufelsberg fand Anfang Mai statt und hatte verschiedene Ziele.

Für die Datenerfassung war es wichtig zu sehen ob die Remote-Desktop Verbindung vom Host-PC zu einem Remote-PC funktioniert und stabil ist. Auf dem Teufelsberg wurde sowohl eine drahtgebunde (LAN), als auch eine drahtlose (WLAN) Verbindung zwischen beiden Computern hergestellt und überprüft. Die LAN-Verbindung mit einem 50 m langen Kabel zeigt keine Probleme. Im Abstand von etwa 15 m - 20 m wurde die Verbindungqualität der WLAN Verbindung schlechter und die Remote-Desktopverbindung brach ab. Der Messprozess wurde automatische fortgeführt konnte zu diesem Zeitpunkt aber nicht mehr geändert werden (ohne aktive Remote Vebindung). Im wesentlichen konnte kurz vor der eigentlichen Messung das Konzept der Datenerfassungssystems überprüft werden und noch kurzfristig Probleme im Feld bestimmt werden. Bezüglich der Datenerfassung war der Testaufbau erfolgreich. Die Spannungsversorgung der DT9837-Module lief mit den akkubetriebenen USB-Hub sehr stabil. Die Powerbanks versorgten die beiden Computer mit der notwendigen

Spannung. Es wurden einige Änderungswünsche in der Bedienung der Oberfläche notiert, die bis zur Messung im Mai in 2014 geändert werden sollten.

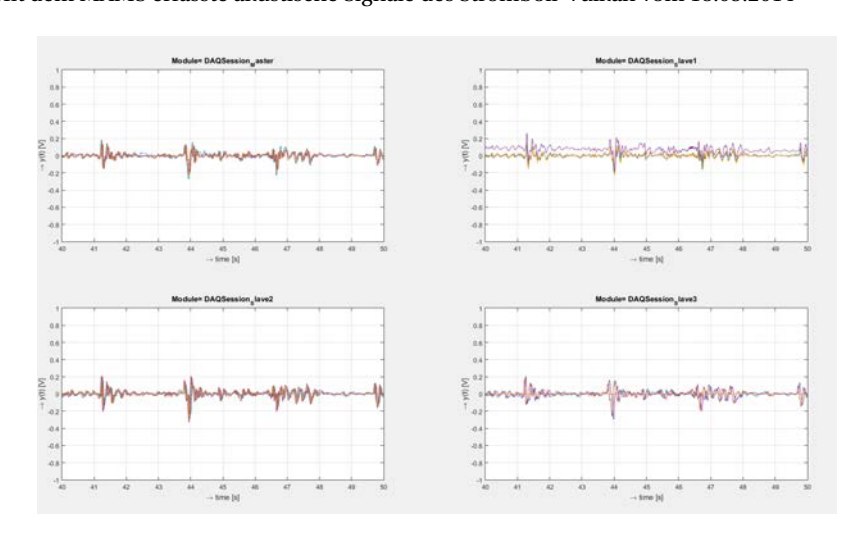
Im Mai fand dann die Forschungsreise zum Stromboli-Vulkan auf der gleichnamigen Insel in Italien statt. Vom 15. Mai bis zum 21 Mai war Zeit Messungen durchzuführen. Leider war die Witterungsbedingungen am Anfang so schlecht, das erst am vierten Tag Messungen mit dem MAMS durchgeführt werden konnten. Grund für die Verzögerung war der schwierige Aufbau des Mikrofonträgersystems an einem Gipfelhang gegenüber des Vulkans (siehe Abbildung 4.7).

Abbildung 4.7: Messort des Mirkofonarray am einem Gipfel gegenüber des Vulkans Stromboli.



Das Konzept des MAMS hat während der Messungen auf dem Stromboli funktioniert. Die DAQ-Module wurden mit dem Host-Pc und einer Powerbank auf dem Berghang in der Mitte des Kreisarrays installiert. Von dort aus wurden die Messkabel von den Modulen zu den Mikrofonen gelegt. Durch die gefährliche Lage der Mirkrofonpositionen konnte nur eine Person die Installation des Arrays vornehmen. Dazu war es notwendig diese Person zu an einem Seil zu sichern. Mit einem 50 m langen LAN-Kabel wurde die Verbindung vom Host-Pc zum Remote-Desktop oberhalb des Gipfels hergestellt.

Abbildung 4.8: Mit dem MAMS erfasste akustische Signale des Stromboli-Vulkan vom 18.05.2014



FAZIT UND AUSBLICK

Die Aufgabe dieser Arbeit war es ein Datenerfassungssystems zu entwickeln welches leicht, kompakt, sehr leistungsfähig und dabei stromsparend ist. Diese Arbeit hat sich diesem komplexen Thema genähert in dem die Grundlagen jeder Einzelkomponente untersucht wurden. Aus den verschiedenen Anforderungen die an das System gestellt wurden, wurde nach einiger Recherchezeit klar, dass nicht alle Systeme für diese Aufgabe geeignet sind.

Es zeigte sich, dass modulare USB-Messgeräte einen guten Kompromiss zwischen der Leistungsfähigkeit bzgl. des eigenen Rauschverhaltens und einem stromsparenden und langen Betrieb an einem Messort darstellen. Auch für USB-Messgeräte gibt es eine Vielzahl von Anbietern deren Produkte sich teilweise erheblich in den technischen Daten und auch im Preis unterscheiden. Bedingt durch die Vorauswahl der ICP-Mikrofone wurde die Entscheidung für die Geräteserie DT 9837B der Firma Data Translation getroffen. Diese Geräte werden vom Hersteller mit MATLAB-kompatiblen Treibern versehen. Aus diesem Grund war es möglich die Software für die DAQ-Applikation vollständig in Eigenleistung mit einem zuverlässigen FFT-Analysator zur Pegelkalibrierung von Mikrofonen zu implementieren.

Sowohl die Hardware, als auch die Software wurden zuerst unter Laboruntersuchungen auf ihre korrekte Funktionsfähigkeit überprüft. Bei der Software war es sehr wichtig, die Kalibrierung vernünftig zu testen. Ein Fehler in dieser Funktion würde einen falschen Kalibrierungsfaktor berechnen und die dargestellten Pegel wären falsch. Es müsste eine neue Kalibrierung stattfinden um absolute Schalldruckpegelmessungen machen zu können.

Das Datenerfassungssystem wurde für den Einsatz unter schwierigen Umgebungsbedienungen ohne lokaler Stromversorung entworfen. Ein erster Test wurde auf dem Teufelsberg in Berlin vor der Expedition nach Italien durchgeführt. Hier sind keine schwerwiegenden Fehler aufgetreten. Es wurden lediglich ein paar Bedien-Elemente der GUI angepasst um auf Stromboli eingesetzt zu werden. Die zweite Feldmessung fand dann auf Stromboli statt. Weil gerade zu Beginn der Untersuchungen auf dem Vulkan eine schwierige Wetterlage herrschte konnte das MAMS nur an einem Tag für mehrere Stunden als volles Array eingesetzte werden. In dieser Zeit wurden die Messaufgaben jedoch zuverlässig erfüllt.

Die Arbeit an einem Datenerfassungssystem ist eine große Herausforderung. In den 1,5 Monaten der Entwicklungsphase war es nicht möglich alle Eigenschaften und Fähigkeiten der DT9837B-Module zu erfassen und umzusetzen. Daher ergibt sich der Wunsch nach mehreren Umsetzungen von Maßnahmen zur Verbesserung des Messsystems. Einer der wichtigsten Punkte ist die variable Anpassung des Aussteuerungsbereiches. In der jetzigen Version arbeitet das MAMS lediglich im Bereich von -10 V bis + 10 V. Wenn die Signale kleiner als \pm 1 V ist empfiehlt es sich den Messbereich auf diesen einzustellen um den A/D-Wandler möglichst voll auszusteuern. Es wäre sicherlich darstellbar über die InputOverrange Condition der Module eine adaptives Verhalten hinzuzufügen.

64 5. FAZIT UND AUSBLICK

Ohne diese Änderung zeigen die DT9837B-Module ein befriedigendes Verhalten bzgl. SNR, THD etc. Das SNR liegt im Mittel bei etwa 95 dB. Das liegt ca. 48 dB unterhalb des theoretischen Maximus für einen 24-Bit A/D-Wandler. Die Differenz ist unter anderem auf das zusätzliche Rauschen der IEPE-Konditionierung zurückzuführen, Der Wert steigt sicherlich, wenn die maximale zu untersuchende Amplitude von -0,5 dBFS auch untersucht worden wäre. Dieser Wert wurde bei der Messreihe nicht berücksichtigt.

Neben diesen wesentlichen Änderungen gibt es eine Reihe von Code-Optimierungen zur Optimierung auf weniger Redundanz und mehr Stabilität (z.B. mehr Kurzanweisung zur mehrfachen Kanalkonfiguration verwenden).

Es gab auch bereits Vorschläge zur Optimierung der GUI um einen übersichtlichen Setup-Konfigurator, um einen neuen Messaufbau noch besser zu verwalten. Im Zuge der Vereinfachung der Bedienung soll auch das Laden und Speichern der Objekte ermöglicht werden.

Eine weitere geplante Nutzungserweiterung ist für die Kalibrierung vorgesehen. Anstelle eines fest definierten Pegels von 94 *dBSPL* sollen weitere Pegel zulässig sein. Das hat den Vorteil, das bei einer Umgebung mit hohem Fremdgeräuschpegel der Kalibrierton z.B. auf 114 dBSPL gestellt erden kann um dennoch eine erfolgreiche Kalibrierung durchführen zu können.

Sollten vergleichbare Funktionen etablierte Schallepegelmessysteme gewünscht werden, wären in einem nächsten Schritt verschiedene Zeit- und Frequenzbewertungen zu implementieren.

Trotz der geplanten Erweiterungen und der Einschränkungen in Bezug auf das Eigenrauschen hat sich das MAMS bereits bewährt. Es wurde seit Juni 2014 in Labormessungen in Waakirchen und der TU Berlin, sowie weiteren Feldmessungen auf dem Stromboli und dem Etna eingesetzt. Dieses Jahr findet eine erneute Expedition auf Stromboli statt. Bei dieser Reise wird das MAMS jedoch aufgeteilt und an drei Orten zeitgleich gemessen.

LITERATURVERZEICHNIS

- [1] Park, J. und S. Mackay (2003): *Practical data acquisition for instrumentation and control systems*. Amsterdam and London: Elsevier.
- [2] Möser, M. (2012): *Technische Akustik*. 9., aktualisierte Auflage. Berlin and Heidelberg: Springer Vieweg.
- [3] Weinzierl, S. (2014): "Material zur Vorlesung zu Audiotechnik I im Sommersemester 2014."
- [4] Brandt, A. (2011): *Noise and Vibration Analysis: Signal Analysis and Experimental Procedures.* West Sussex: John Wiley & Sons.
- [5] Metra Mess- und Frequenztechnik (2015): "IEPE-Standard." URL http://www.mmf.de/iepe-standard.htm.
- [6] Aziz, P. M.; H. v. Sorensen und van der Spiegel, J. (1996): "An Overview of Sigma-Delta Converters: How a 1-bit ADC achieves more than 16-bit Resolution." In: *IEEE Signal Processing Magazine*, 13(1) S. 61–84.
- [7] MathWorks (2013): "Data Acquisition Toolbox User's Guide R2013b."
- [8] Meyer, M. (2011): *Signalverarbeitung: Analoge und digitale Signale, Systeme und Filter.* 6., korrigierte und verbesserte Auflage.
- [9] Data Translation (2014): "DT9837 Series User's Manual."
- [10] Arason, P.; G. N. Petersen und H. Bjornsson (2011): "Observation of the altitude of the volcanic plume during the eruption of Eyjafjallajökull, April-May 2010." In: *Earth System Data Disscussion*, 4(1) S. 1–25.
- [11] Holzapfel, N. (2013): "Die vielfätige Bedrohung durch Vulkanasche." URL https://www.uni-muenchen.de/forschung/news/2013/f-46-13.html#top.
- [12] Stampka, K.; J. Sesterhenn; C. Graurock und J. J. Pena Fernandez (2014): "Arraymessung von Ausbrüchen des Vulkan Stromboli." In: DEGA (Hrg.) *Fortschritte der Akustik DAGA 2014*. Berlin: DEGA, S. 856–857.
- [13] Scarlato, P. et al. (2014): "The 2014 Broadband Acquisition and Imaging Operation (BAcIO) at Stromboli Volcano (Italy)." In: 2014 AGU Fall Meeting.
- [14] Woulff, G. und T. R. McGetchin (1976): "Acoustic Noise from Volcanoes: Theory and Experiment." In: *Geophys. J. R. astro. Soc.*, (45) S. 601–616.
- [15] Matoza, R. S. et al. (2009): "Infrasonic jet noise from volcanic eruptions." In: *Geophysical Research Letters*, (36).
- [16] Fee., D. und R. S. Matoza (2013): "An overview of volcano infrasound: From hawaiin to plinian, local to global." In: *Journal of Volcanology and Geothermal Research*, (249) S. 123–139.

66 Literaturverzeichnis

[17] Ripepe, M. und E. Marchetti (2002): "Array tracking of infrasonic sources at Stromboli volcano." In: *Geophysical Research Letters*, 29(22).

- [18] Johnson, J. B. und M. Ripepe (2011): "Volcano infrasound: A review." In: *Journal of Volcanology and Geothermal Research*, (206) S. 61–69.
- [19] Johnson, J. B. (2007): "On the relation between infrasound, seismicity, and smal pyroclastic explosions at Karymsky Volcano." In: *Journal of Geophysical Research*, (112).
- [20] Taddeucci, J. et al. (2014): "High-speed imaging, acoustic features and aeroacoustic computations of jet noise form Strombolian (and Vulcanian) explosions." In: *Geophysical Research Letters*, (41) S. 3096–3102.
- [21] Fee, D.; A. Yokoo und J. B. Johnson (2014): "Introduction to an Open Community Infrasound Dataset from the Actively Erupting Sakurajima Volcano, Japan." In: *Seismological Research Letters*, 85(6) S. 1151–1162. doi:\url{10.1785/0220140051}.
- [22] Henn, H.; G. R. Sinambari und M. Fallen (2008): *Ingenieurakustik: Physikalische Grundlagen und Anwendungsbeispiele: Mit 319 Abbildungen und 36 Tabellen.* 4., überarbeitete und erweiterte Auflage. Wiesbaden: Vieweg + Teubner.
- [23] Tam, C. K. W. (1995): "Supersonic Jet Noise." In: Annu. Rev. Fluid Mech., (27) S. 17–43.
- [24] Matoza, R. S.; D. Fee; T. B. Neilsen und Gee, K. L. Ogden, D. E. (2013): "Aeroacoustics of volcanic jets: Acoustic power estimation and jet velocity depedence." In: *Journal of Geophysical Research*, 118(12) S. 6269–6284.
- [25] Fagents, S. A.; Gregg, T. K. P. und Lopes, R. M. C. (Hrgs.) (2012): *Modeling Volcanic Processes: The Physics and Mathematics of Volcanism*. Cambridge, New York, Melbourne, Madrid, Cape Town, Singapore, Sao Paulo, Delhi, Mexico City: Cambridge University Press.
- [26] Schneider, M. (2008): "Mikrofone." In: S. Weinzierl (Hrg.) *Handbuch der Audiotechnik*. Berlin: Springer, S. 313–419.
- [27] DIN EN 60268-4(2011): "Elektroakustische Geräte Teil 4: Mikrofone."
- [28] Slavik, K. M. (2008): "Anschlusstechnik, Interfaces, Vernetzung." In: S. Weinzierl (Hrg.) *Handbuch der Audiotechnik*. Berlin: Springer, S. 945–1033.
- [29] Weinzierl, S. und A. Lerch (2008/2009): *Kommunikationtechnik II*. Vorlesungsskript, TU Berlin, Berlin.
- [30] Kester, W. (2008): "Unterstand SINAD, ENOB, SNR, THD, THD+N, and SFDR so You Don't Get Lost in the Noise Floor."
- [31] Cerna, M. und Harvey F. A. (2000): "The Fundamentals of FFT-Based Signal Analysis and Measurement."
- [32] Michel, U. und M. Möser (2010): "Akustische Antennen." In: M. Möser (Hrg.) *Messtechnik der Akustik*. Berlin, Heidelberg: Springer-Verlag.
- [33] Möser, M. (2009): *Technische Akustik*. 8., aktualisierte Auflage. Dordrecht, Heidelberg, London, New York: Springer.



ANHANG

A.1. MATLAB-FILES

A.1.1. MAMS SOFTWARE-APPLIKATION

Die folgenden MATLAB-Dateien sind alphabetisch geordnet. Zur Ausführung des Applikation muss die MAMS_GUI_v8.m gestartet werden. Diese wird nur korrekt ausgeführt, wenn mindestens ein DT9837B-Modul an dem ausführendem Computer angeschlossen ist und die entsprechenden Treiber installiert sind.

```
1 function out = calcSpl(aInput)
2 %-----
3 % Schnittstellenbeschreibung
4 %
                  Rick Plescher, 30.04.2015
5 % Autor:
6 %
7 % Funktionsaufruf: out = calcSpl(aInput)
8 %
  % Fkt.-beschreibung: Die Funktion calcSpl.m rechnet die Einheiten des
10 %
                         erfassten Signal von Volt in Pascal um.
11 %
12 % Eingabe:
      aInput: Struktur mit den Eingabeparamtern .signal: Amplitudenzeitsignal [Volt]
13 % aInput:
14 %
         .sensitivity: Mikrofon-Übertragungsfaktor
15 %
16 %
17 % Ausgabe:
18 % out:
                          Schalldruckpegel in dB re 20 uPa
19 %
20 % sontiges:
21 %
22 %-----
24 %% Intialisierung
25 referencePressure = 2E-5; % Bezugsgröße p0= 2 * 10^-5 Pa
27 %% Programmcode
28 soundLevelPressure = 20*log10(abs((...
   aInput.signal/aInput.sensitivity)/referencePressure));
31 %% Wegschreiben der Ergebnisse
32 out = soundLevelPressure;
```

34 end

```
1 function calibrateMic(aInputObject)
3 % Schnittstellenbeschreibung
                         Rick Plescher, 30.04.2015
5 % Autor:
6 %
                        calibrateMic(aFigureHandle)
7 % Funktionsaufruf:
8 응
9 % Fkt.-beschreibung:
                         Diese Funktion initialisiert ein neues Fenster (zur
10 %
                         Kalibrierung. Ein Auswahl-Menü fragt den Benutzer
11
                          nach dem zu kalibrierenden Kanal. Nachfolgend wird
12
                          das entsprechende DAQ-Modul konfiguriert. Die
13 %
                          eigentliche Kalibrierung erfolgt über die Funktion
                          getSensitivity.m (ausgeführt als
14 %
15 %
                          SamplesAcquieredFunction)
16 응
17 % Eingabe:
18 % aInputObject
                        : typ. das Handle zum Figure der MAMS-GUI
19 %
20 % Ausgabe:
                        : Indirekte Ausgabe über die aktualisierte
21 % aInputObject
22 % (INDIREKT)
                           Objekt-Spezifische Datenstruktur von der MAMS-GUI
23 %
24 % sontiges:
25 % notwendig zum Ausführen ist folgende .m-Datei
26 %
          - getSensitivity.m
27 % Außerdem muss eine aktuelle microphoneData.mat Datei im Hautpfad
28 % liegen.
29 %-----
30 %% Einlesen der Eingangsdaten
31 % Einlesen der Eingabedaten der GUI-Datenmatrix
                     = get(aInputObject, 'UserData');
32 userData
34 % Einlesen der Mikrofondaten------
35 readMicInput.file = fullfile(cd,'microphoneData.mat');
36 readMicInput.header = false;
37 microphoneData = readMicrophoneData(readMicInput);
39 numActiveChannels = size(microphoneData, 1); % Anzahl der aktiven Kanäle
41 % Auswahl des zu kalibrierenden Mikrofon-----
42 listString = cell(1, numActiveChannels);
43 for n=1:numActiveChannels
     listString(n) = \{[...]
         num2str(n,'%02d'),'-',...
         microphoneData{n,4},' (',...
         microphoneData{n,5},') :',...
47
         microphoneData{n,7}]};
49 end
50 % Channelnum enthält den Index des zu kalibrierenden Mikrofons
51 channelNum = ...
     listdlg(...
52
          'fus'
                         , 1
53
                                                                     , . . .
          'ffs'
                        , 1
54
                                                                     , . . .
         'ListSize'
         'ListSize' ,[320,260] ,...
'PromptString' ,'Which Microphone do you want to calibrate?',...
         'SelectionMode' ,'Single'
```

```
'ListString' ,listString);
58
59 %----
60 %% Programmcode
61 % Wenn ein Mikrofon ausgewählt wurde wird ein Kalibrierungsfenster
62 % aufgerufen und dort mit der Kalibrierung fortgefahren
63 if isempty(channelNum)==0
      % Benutzer-Abfrage ob die Kalibrierung durchgeführt werden soll
64
      button = \dots
          questdlg(...
              'Do you want to start the calibration process?',...
67
              'Start Calibration Process',...
              'Yes',...
69
              'No',...
70
              'No');
71
72
      if strcmp(button, 'Yes')
73
          hCalibPlot = zeros(1,2); % zwei Plot Handles
74
          hCalibTitle
                             = zeros(1,2); % zweit Titel-Handles
75
          hCalibTxtDisplay = zeros(1,2); % zwei Display-Handles
76
          hCalibrationHandle = figure; % Handle des Kalibrierung-Fenster
77
78
          % Hintergrundfarbe einlesen
79
                             = get(0, 'DefaultUIControlBackgroundColor');
         btnColor
80
81
          % Konfiguration des Kalibrierungsfenster-----
82
          % Color := Hintergrundrase all
% Colormap := spezifische Farbe der Figure
83
84
          % HandleVisibility := Zugriffsmöglichkeit auf das Handle
85
          % IntegerHandle := Vergabe Modus der Figure-Zahl
          % MenuBar
                            := Anzeige eines Menüs
                            := Name des Fensters
          % Name
88
          89
90
                           := Angabe der Position und Größe
91
                            := Einheit des Fensters
          % Units
92
                            := Objekt-spezifische Daten
          % UserData
93
          % Visible
                             := Sichtbarkeits des Fensters
94
95
96
          set (hCalibrationHandle,...
97
              'Units' , 'pixels'
                                                                , . . .
              'Color'
                                , btnColor
98
                                                                , . . .
              'HandleVisibility' , 'on'
99
                                                                , . . .
100
              'IntegerHandle' , 'off'
101
                                                                , . . .
                                 , 'None'
              'MenuBar'
102
                                 , ['Calibration Windows - '
              'Name'
103
                                                                , . . .
                                    'Mobile Array Measurement'
104
                                                                , . . .
                                   'System (MAMS)']
                                                                , . . .
105
                                 , 'off'
              'NumberTitle'
                                                                , . . .
106
                                 , 'arrow'
              'Pointer'
                                                                , . . .
                                 , [100 , 50 , 1024 , 600] ,...
              'Position'
                                 , []
              'UserData'
                                                                , . . .
              'Visible'
                                 , 'on');
110
111
          subplot (1, 2, 2)
112
          hCalibPlot(2) = ...
113
              plot(zeros(userData.blockLengthDAQ/2,1)); % Leerer Plot
114
          hCalibTitle(2) = ... % Anzeige des Titel
115
116
              title(['DFT des Eingangssignals Block-Nr.: ', num2str(0)]);
          xlabel('f [Hz]')
117
          ylabel('Y(f) [dBSPL]')
```

```
119
           grid on;
           set(gca,... % Konfiguration der X- und Y-Achse
120
                'XLim'
                          , [500,2000],...
121
                           , 'log',...
                'XScale'
122
                            , [500 ,630
                'XTick'
                                          ,800 ,1e3 ,1250 ,1.6e3 ,2e3],...
123
                'XTickLabel', {'500','630','800','1k','1.2k','1.6k','2k'},...
124
125
                          , [44,104]);
            % Konfiguration des suplot 121:= Text-Information-----
           subplot(1,2,1)
127
           hCalibTitle(1) = title('Calibration Information');
128
129
           set(gca,'Visible','Off');
130
           hCalibTxtDisplay(1) = text(-0.2,0.5,' ','FontSize',26);
131
           % Definition der Kalibrierungs-Datenstruktur-----
132
           userData.calibrationWindowStruct.hCalibrationHandle =...
133
                hCalibrationHandle;
134
           userData.calibrationWindowStruct.plotHandle
135
                hCalibPlot;
           userData.calibrationWindowStruct.txtDisplayHandle
137
                hCalibTxtDisplay;
139
           userData.calibrationWindowStruct.titleHandle
               hCalibTitle:
140
141
           userData.dateStr
142
               datestr(now, 30);
143
144
           % Aktualisierung der Objekt-spezifischen Datenstruktur
           set (aInputObject, 'UserData', userData);
145
146
           % Fallabfrage in Abhängigkeit der Anzahl der angeschlossenen
           % DAQ-Module
           switch userData.numDaqModules
                case 1 % 1 angeschlossenes Modul: Master
149
                    if (channelNum>=1 && channelNum <=4)</pre>
150
                        try % Try/catch -Abfrage zum Fehler abfangen
151
                             % Einlesen der bisherigen Syncronisierungs-Modus
152
                           oldSyncMode = get(userData.master, 'SyncMode');
153
                             % Konfiguration des DAQModul für die Kalibrierung
154
                           set (userData.master,...
155
156
                                'LogFileName'
                                    fullfile(userData.folderStr , ...
158
                                    'DAQSession_Calibration'
159
                                    ['Calibration_Channel_'
                                     num2str(channelNum,'%02d') , ...
160
                                     '_',userData.dateStr])
161
                               'SamplesAcquiredFcn'
162
                                    {@getSensitivity_v2,...
163
                                     aInputObject, channelNum, oldSyncMode},...
164
                                                                 , 'None');
                                'SyncMode'
165
166 % % DUMMY-VERSION--Konfiguration des DAQModul für die Kalibrierung
167 응 응
                   oldSyncMode = [];
168 % %
                                set (userData.master, ...
169 % %
                                    'LogFileName'
170 % %
                                        fullfile(userData.folderStr , ...
171 % %
                                        'DAQSession_Calibration'
172 % %
                                        ['Calibration_Channel_'
                                         num2str(channelNum,'%02d') , ...
173 % %
                                          '_',userData.dateStr]) , ...
174 % %
                                   'SamplesAcquiredFcn'
175
                                        {@getSensitivity_v2,...
176 % %
177 응 응
                                         aInputObject, channelNum, oldSyncMode });
                             start (userData.master); % Start der Kalibrierung
179
```

```
catch % Falls die Kofiguration des Moduls und
180
                               % das Starten der Datenerfassung fehlschlägt
181
                               % wird eine Fehlermeldung ausgegeben und die
182
                               % Kalibreirung gestoppt
183
                            errordlg('calibration error');
184
185
186
                    end
                case 2 % 2 angeschlossene Module: Master - Slave1
                    % Master------
                    if (channelNum>=1 && channelNum <=4)</pre>
189
190
                             oldSyncMode = get(userData.master,'SyncMode');
191
192
                            set (userData.master,...
193
                                 'LogFileName'
194
                                     fullfile(userData.folderStr , ...
195
                                     'DAQSession_Calibration'
196
                                     ['Calibration_Channel_'
197
                                      num2str(channelNum,'%02d') , ...
198
                                      '_',userData.dateStr])
199
                                 'SamplesAcquiredFcn'
200
                                     {@getSensitivity_v2,...
201
                                      aInputObject, channelNum, oldSyncMode},...
202
                                                                  , 'None');
                                 'SyncMode'
203
                            start(userData.master);
204
205
                        catch
                            errordlg('calibration error');
206
207
                    end
208
                    % Slave1-----
                    if (channelNum>=5 && channelNum <=8)</pre>
210
211
                            oldSyncMode = get(userData.slave1, 'SyncMode');
212
213
                            set (userData.slave1,...
214
                                 'LogFileName'
215
                                     fullfile(userData.folderStr , ...
216
                                     'DAQSession_Calibration'
217
218
                                     ['Calibration_Channel_'
219
                                      num2str(channelNum,'%02d') , ...
                                      '_',userData.dateStr])
220
                                 'SamplesAcquiredFcn'
221
                                     {@getSensitivity_v2,...
222
                                      aInputObject, channelNum, oldSyncMode},...
223
                                                                  , 'None');
                                 'SyncMode'
224
                            start(userData.slave1);
225
                        catch
226
                            errordlg('calibration error');
227
                        end
228
                    end
229
                case 3 % 3 DAQ-Module : Master-Slave1-Slave2
231
                    % Master-----
232
                    if (channelNum>=1 && channelNum <=4) % Master</pre>
233
                             oldSyncMode = get(userData.master,'SyncMode');
234
235
                            set (userData.master, ...
236
                                 'LogFileName'
237
                                     fullfile(userData.folderStr , ...
238
                                     'DAQSession_Calibration', ...
239
                                     ['Calibration_Channel_'
```

```
num2str(channelNum,'%02d') , ...
241
                                       '_',userData.dateStr])
242
                                  'SamplesAcquiredFcn'
243
                                      {@getSensitivity_v2,...
244
245
                                       aInputObject, channelNum, oldSyncMode},...
                                  'SyncMode'
                                                                    , 'None');
246
247
                             start(userData.master);
                         catch
249
                             errordlg('calibration error');
250
                         end
251
                     end
                     % Slave1-----
252
                     if (channelNum>=5 && channelNum <=8)</pre>
253
254
                             oldSyncMode = get(userData.slave1, 'SyncMode');
255
256
257
                             set (userData.slave1,...
                                  'LogFileName'
259
                                      fullfile(userData.folderStr , ...
                                      'DAQSession_Calibration' , ...
260
                                      ['Calibration_Channel_'
261
                                       num2str(channelNum,'%02d') , ...
262
                                       '_',userData.dateStr])
263
                                  'SamplesAcquiredFcn'
264
265
                                      {@getSensitivity_v2,...
266
                                       aInputObject, channelNum, oldSyncMode},...
                                  'SyncMode'
267
                                                                    , 'None');
268
                             start (userData.slave1);
270
                             errordlg('calibration error');
271
                         end
                     end
272
                     % Slave2-----
273
                     if (channelNum>=9 && channelNum <=12)</pre>
274
275
                         try
                             oldSyncMode
                                             = get (userData.slave2, 'SyncMode');
276
277
278
                             set (userData.slave2,...
                                  'LogFileName'
280
                                      fullfile(userData.folderStr , ...
                                      'DAQSession_Calibration' , ...
281
                                      ['Calibration_Channel_'
282
                                       num2str(channelNum,'%02d') , ...
283
                                       '_',userData.dateStr])
284
                                  'SamplesAcquiredFcn'
285
                                      {@getSensitivity_v2,...
286
                                       aInputObject, channelNum, oldSyncMode},...
287
                                  'SyncMode'
288
                                                                    , 'None');
289
                             start (userData.slave2);
                         catch
                             errordlg('calibration error');
291
292
                         end
293
                     end
294
                case 4
295
                     % Master----
                     if (channelNum>=1 && channelNum <=4) % Master</pre>
296
                         try
297
                             oldSyncMode = get(userData.master,'SyncMode');
298
299
                             set (userData.master,...
                                  'LogFileName'
                                                                    , . . . .
```

```
fullfile(userData.folderStr , ...
302
                                       'DAQSession_Calibration'
303
                                       ['Calibration_Channel_'
304
                                       num2str(channelNum,'%02d') , ...
305
                                        '_',userData.dateStr]) , ...
306
                                  'SamplesAcquiredFcn'
307
                                      {@getSensitivity_v2,...
308
                                       aInputObject, channelNum, oldSyncMode},...
                                  'SyncMode'
                                                                     , 'None');
311
                              start(userData.master);
312
                         catch
                             errordlg('calibration error');
313
                         end
314
                     end
315
                     % Slave1-----
316
                     if (channelNum>=5 && channelNum <=8)</pre>
317
318
                         trv
                              oldSyncMode
                                             = get (userData.slave1, 'SyncMode');
319
320
                             set (userData.slave1,...
321
322
                                  'LogFileName'
                                      fullfile(userData.folderStr , ...
323
                                       'DAQSession_Calibration'
324
                                       ['Calibration_Channel_'
325
                                       num2str(channelNum,'%02d') , ...
326
327
                                       '_',userData.dateStr])
                                  'SamplesAcquiredFcn'
328
                                      {@getSensitivity_v2,...
329
                                       aInputObject, channelNum, oldSyncMode},...
330
                                                                     , 'None');
                                  'SyncMode'
                             start(userData.slave1);
332
333
                         catch
                             errordlg('calibration error');
334
                         end
335
                     end
336
                     % Slave2----
337
                     if (channelNum>=9 && channelNum <=12)</pre>
338
339
                         trv
340
                             oldSyncMode = get(userData.slave2,'SyncMode');
341
342
                             set (userData.slave2,...
                                  'LogFileName'
343
                                      fullfile(userData.folderStr , ...
344
                                       'DAQSession_Calibration' , ...
345
                                       ['Calibration_Channel_'
346
                                       num2str(channelNum,'%02d') , ...
347
                                        '_',userData.dateStr]) , ...
348
                                  'SamplesAcquiredFcn'
349
                                      {@getSensitivity_v2,...
350
                                       aInputObject, channelNum, oldSyncMode},...
351
                                  'SyncMode'
                                                                    , 'None');
                             start(userData.slave2);
353
354
                         catch
355
                             errordlg('calibration error');
356
                         end
                     end
357
                     % Slave3-----
358
                     if (channelNum>=13 && channelNum <=16)</pre>
359
                         try
360
                              oldSyncMode = get(userData.slave3,'SyncMode');
361
```

```
363
                            set (userData.slave3,...
                                'LogFileName'
364
                                    fullfile(userData.folderStr , ...
365
                                    'DAQSession_Calibration' , ...
366
                                    ['Calibration_Channel_'
367
                                    num2str(channelNum,'%02d') , ...
                                     '_',userData.dateStr]) , ...
369
                                'SamplesAcquiredFcn'
371
                                    {@getSensitivity_v2,...
                                     aInputObject, channelNum, oldSyncMode},...
372
                                'SyncMode'
373
                                                                 , 'None');
                            start(userData.slave3);
374
                        catch
375
                            errordlg('calibration error');
376
                        end
377
                   end
378
379
           end
380
382
   warndlg('Calibration unsuccesful!');
383 end
384 %-----
385 %% Wegschreiben der Ergebnisse
set(aInputObject,'UserData',userData); % Objekt-Spezifische Daten
388 end
```

```
1 function close_callback(gcobject)
2 %------
3 % Schnittstellenbeschreibung
4 %
                    Rick Plescher, 30.04.2015
5 % Autor:
6 %
 % Funktionsaufruf: callback-Event
7
 % Fkt.-beschreibung: Bei drücken des 'Close'-Button der MAMS-GUI wird
9
10
                    diese Funktion aufgerufen.
11
12 % Eingabe:
                   gcobject ist ein handle vom aktuellen Objekt,
13 % gcobject:
14 %
                     welches diese callback-function aufgerufen hat.
15 %
16 % Ausgabe:
                    - keine Ausgabe -
17 %
18 %
19 % sontiges:
20 %
21 %-----
22
23 %% Intialisierung
25 %-----
26 %% Überprüfung der Eingabe-Parameter
28 %-----
29 %% Programmcode
31 %-----
32 %% Wegschreiben der Ergebnisse
```

```
33
34 %-----
35 % userData = get(gcobject, 'UserData');
36 delete(gcobject);
37 % delete(userData.hPlotRefSignal);
38
39 end
```

```
1 function out = closeCalibration_callback(aObject, event, aInput)
2 %-----
3 % Schnittstellenbeschreibung
4 %
5 % Autor:
                        Rick Plescher, 30.04.2015
6 % Funktionsaufruf: out = closeCalibration_callback(aObject,event,aInput)
8 % Fkt.-beschreibung: Stopt das ausführende Objekt
9 %
10 % Eingabe:
11 %
12 %
13 % Ausgabe:
14 %
15 응
16 % sontiges:
17 %
18 %-----
20 %% Intialisierung
21
23 %% Überprüfung der Eingabe-Parameter
25 %-----
26 %% Programmcode
27 if strcmp(get(aInput, 'Running'), 'On')
     stop(aInput);
28
30 %-----
31 %% Wegschreiben der Ergebnisse
33 %-----
34 end
```

```
1 function out = configureDT9837BChannels(aInput)
3 % Schnittstellenbeschreibung
4 %
                         Rick Plescher, 30.04.2015
5 % Autor:
6 %
7 % Funktionsaufruf:
                        out = configureDT9837BChannels(aInput)
8 %
9 % Fkt.-beschreibung:
                          Diese Funktion initialisiert dens angegebenen Kanal
10 %
                          am jeweiligen DAQ-Modul von Data Translation aus
                          der DT9837B Produktgruppe.
11 %
12 %
                          Üblicherweise wird die Funktion im Schleifen-
13 %
                          Durchlauf aufgerufen. Daher sind zusätzliche
14 %
                          Maßnahmen notwendig um doppelte EInträge zu
15 %
                          vermeiden.
```

```
16 %
17 % Eingabe:
                          : Eingabestruktur
18 %
      aInput
19 %
                           : Kanalzahl des zu initialisierenden Kanal [1-4]
           .module
20 %
                           : Struktur des zu konfigurienden DAQ-Modul
          .microphoneData : Daten aller angeschlossenen Mikrofone
22 응
23 % Ausgabe:
24 % out
                           : Ausgabestruktur
                            : Struktur mit objekt-spezifischen Daten des DAQ-
25 %
           .module
  2
                             Modul mit neu initialisierten Kanal
26
  9
27
  % sontiges:
28
      Für die richtige FUnktion muss sicher gestellt werden 'dass die Cell-
29
  응
       Struktur "microphoneData" ohne Header(keine Item-Bezeichnung in der
30
       ersten Zeile) übergeben wird.
31
32
  %----
  %% Programmcode
  % Prüfung, ob ein Mikrofon richtig konfiguriert wurde (hier wird geprüft ob
  % ein Modell-Name vergeben wurde
  if (strcmp(aInput.microphoneData{aInput.n,4},'')==0)
       % Ermittlung der angemeldeten Hardware-Kanäle (HW-Kanäle)
38
                              = ...
       existingHwChannelIdx
39
           get (get (aInput.module, 'Channel'), 'HwChannel');
40
       % Wenn mehr als eine Kanal angemeldet ist muss die resultierenden
41
       % Cell-Struktur noch in eine Matrix umgewandelt werden
42
       if iscell(existingHwChannelIdx)
43
           existingHwChannelIdx = ...
               cell2mat(existingHwChannelIdx);
46
       end
47
       % Prüfung auf doppelte Einträge, Vergleich mit den HW-Kanälen in der
48
       % globalen Mikrofon-Datenbank
49
       doubleIdx = ...
50
           find(existingHwChannelIdx==...
51
           aInput.microphoneData{aInput.n,3});
52
       % Wenn der HW-Kanal nicht bereits angemeldet wurde wird er jetzt
53
54
       % hinzugefügt
55
       if isempty(doubleIdx)
           trv
               % der Kanal wird am DAQ-Modul angemeldet
57
               tmpChan = ...
58
                   addchannel(aInput.module,...
59
                   aInput.microphoneData{aInput.n,3});
60
61
               % Konfiguration des Kanals
62
               % 'ExcitationCurrentSource' := Anschalten zur
63
                                               Konstant-Stromversorgung
64
               % 'Coupling'
                                            := AC => schaltetet einen Hochpass-
65
               응
                                               Filter mit niedriger
               응
                                               Grenzfrequenz an den Eingang um
67
68
                                               den Konstant-Strom zu filtern
                                            := Auf "1" gestellt ergibt sich ein
69
               % 'GainPerChan'
                                               Messbereich von [-10 V,10 V]
70
               % 'ChannelName'
                                            := String mit der Kanal-Bezeichnung
71
72
               set (aInput.module.channel(get(tmpChan,'Index')),...
73
74
                    'ExcitationCurrentSource' ,'Internal',...
                   'Coupling'
                                                ,'AC',...
75
                   'GainPerChan'
                                                , 1,...
76
```

```
'ChannelName'
77
                   ['Ch', num2str(aInput.n, '%02d')]);
78
79
          catch
               warndlg(['Can not initialize Channel',...
80
                   num2str(aInput.microphoneData{aInput.n,1})]);
81
           end
82
      end
83
84 end
86 %% Wegschreiben der Ergebnisse
87  out = aInput.module;
89 end
```

```
1 function displayGuiMicInfo()
3 % Schnittstellenbeschreibung
4 %
5 % Autor:
                         Rick Plescher, 30.04.2015
6 %
7 % Funktionsaufruf:
                         displayGuiMicInfo()
                         Diese Funktion ruft beim Aufruf automatisch die
9 % Fkt.-beschreibung:
                          aktuell Hinterlegten Mikrofondaten auf und stellt
11 %
                          diese Übersichtlich dar.
13 % Eingabe:
                         keine Eingabe erforderlich
14 %
15 %
                         keine direkte Ausgabe
16 % Ausgabe:
17 %
18 %
19 % sontiges:
20 % benötigt wird eine microphoneData.mat Datei im aktuellen Dateipfad
22 %% Initialisierung
23 figureHandle = figure; % Erzeugung eines neuen Fenster
24 %-----
25 %% Programmcode
26 set (figureHandle, ...
     'Name' , 'Microphone Data',... % Anzeigen des Namens
'NumberTitle' , 'Off',... % Keine Number
27
28
                    , 'Off',... % Keine Nummerierung des Anzeigetitels
, 'On'); % Veränderung der Größe mit der Maus Zulassen
29
30
32 screenUnits = 'pixels'; % Bildschirm-Messeinheit in Pixel
33 set(0,'Units',screenUnits); % Setzen der Bildschirm-Einehit
34 screenSize = get(0, 'ScreenSize'); % Einlesen der Bildschirmgröße
36 figWidth = 0.70*screenSize(3); % Breite des Fensters definieren
37 figHeight = 0.85*screenSize(4); % Höhe des Fensters definieren
39 set(figureHandle,... % Einstellen der neuen Fenstergröße und -position
      'Position',...
40
      [screenSize(3)/2-figWidth/2
                                     , screenSize(4)/2-figHeight/2,...
41
      figWidth
                                     , figHeight]);
42
45 % aktuelle Mikrofondaten
```

```
46 readMicInput.file = fullfile(cd,'microphoneData.mat');
47 readMicInput.header = true; % Ausgabe mit dem Header (Items)
48 % Einlesen der Daten als Cell-Array
                    = readMicrophoneData(readMicInput);
49 data
51 columnname = data(1,:); % Cell-Vektor mit den Items
52 columneditable = false(size(columnname)); % Die Items können nicht
                                           % editiert werden
54 % Definition des Format für die einzelnen Spalten der folgenden Tabelle
55 columnformat = \{\dots
      'numeric'
                 , . . .
      'numeric'
57
                 , . . .
      'numeric'
58
                 , . . .
      'char'
59
                 , . . .
      'char'
60
                 , . . .
      'numeric'
61
                 , . . .
     'char'};
62
63 % Definition der Spaltenbreiten der folgenden Tabelle
64 columnWidth = \{50, 80, 100, 180, 120, 120, 270\};
65 % Initialisierung der UI-Tabellen-Elements
66 uitable(...
      'Units'
                     , 'normalized',... % Einheit der Tabellengröße/Position
67
      'ColumnEditable', columneditable,... % Splaten sind editierbar
68
      'ColumnFormat' , columnformat,... % Format der Spalteneingabe
69
                    , columnname,... % Spaltenbezeichnung
      'ColumnName'
70
                    , columnWidth,... % Spaltenbreite
      'ColumnWidth'
71
                    , data(2:end,:),... % Daten der Spalten
      'Data'
72
                    , 20,... % Schriftgröße
      'FontSize'
73
                    , figureHandle,... % Einbettung im Handle des Fensters
      'Parent'
                    , [0 0 1 1]); % Position und Größe der Tabelle
      'Position'
76 %-----
77 end
```

```
1 function editMicrophoneData()
  §_____
3 % Schnittstellenbeschreibung
4 %
                        Rick Plescher, 30.04.2015
5 % Autor:
6 %
7 % Funktionsaufruf: editMicrophoneData()
8 %
9 % Fkt.-beschreibung: Die Funktion öffnet ein neues Fenster mit den
10 %
                         bisher aktuell hinterlegten Mikrofondaten.
                          Anschließend kann durch die Auswahl einer
11 %
12 %
                          Seriennummer die Konfiguration der Mikrofone
13 %
                          geändert werden. Das Mikrofon-Editier-Fenster
14 %
                          ermöglicht auch das Laden oder Speichern von
15 %
                         Mikrofon-Presets.
16 %
17 % Eingabe:
                         keine Eingabe erforderlich
18 %
19 % Ausgabe:
                         keine direkte Ausgabe
20 %
21 % sontiges:
                         Um die korrekte Funktionsweise zu ermöglichen muss
22 응
                          eine aktuelel microphoneData.mat Datenbank im
  응
                          aktuellen Pfad hinterlegt sein und außerdem müssen
24 %
                          folgende Funktionen im Matlab-Pfad zur Verfügng
25 %
                          stehen:
26 응

    loadSavePresetMicData_keyCallback.m
```

```
27 %
                        2. loadPresetMicData_mouseCallback.m
28 %
                        3. savePresetMic_mouseCallback.m
30 %% Intialisierung
31 f
     = figure; % Erzeugung eines neuen Fenster
33 %% Programmcode
34 set(f,... % Konfiguration des neuen Fensters
      'Menubar' ,'none',... % Menü ausschalten
                    ,'Choose your microphone setup',... % Name des Fensters
      'Name'
      'NumberTitle' ,'Off',... % Keine Nummerierung des Fenster-Titels
38
      'Resize'
                   ,'Off'); % Keine Möglichkeit mit der Maus die
                             % Fenstergröße zu ändern
39
40
41 screenUnits = 'pixels'; % Einheit des Fenster := Pixel
42 set(0, 'Units', screenUnits); % Einstellen der neuen Fenster-Einheit
43 screenSize = get(0, 'ScreenSize'); % Ermittlung der Bildschirmgröße
44
             = 0.60*screenSize(3); % Definition der Fensterbreite
45 figWidth
            = 0.85*screenSize(4); % Definition der Fensterhöhe
46 figHeight
47 set(f,... % Konfiguration der Position und der Größe des Fensters
      'Position',...
48
          [screenSize(3)/2-figWidth/2
                                       , screenSize(4)/2-figHeight/2,...
49
           figWidth
                                       , figHeight]);
50
52 % An dieser Stelle werden die Mikrofondaten ohne Header eingelesen. Die
53 % eingelesenen Daten stammen aus der aktuellsten Mikrofondatenbank im
54 % aktuellen Dateipfad
55 readMicInput.file = fullfile(cd,'microphoneData.mat'); % Dateipfad
readMicInput.header = false; % Keine Items einlesen
                    = readMicrophoneData(readMicInput); % Einlesen der Daten
57 data
58 data
                     = data(:,4:end); % Es werden für jedes Mikrofon nur die
                                     % letzten 4 Spalten eingelesen
59
                                     % (Modell, Seriennummer,
60
                                     % Übertragungsfaktor, Datum der
61
                                     % letzten Kalibrierung
62
63 % An dieser Stelle wird die gesamte Datenbank der Mikrofone die jemals für
64 % das Messsystem eingetragen wurde abgelegt. Es können nur Mikrofone
  % verwendet werden die in dieser Datenbank enthalten sind. Es ähnelt in der
66 % Verwendung einem Preset.
                    = ... % Dateipfad
68 readMicInput.file
     fullfile(cd, 'MicrophoneDatabase', ...
69
      'completeMicDatabase-DO NOT EDIT.mat');
70
71 readMicInput.header = true; % Einlesen inklusive des Headers
                   = readMicrophoneData(readMicInput); % Einlesen der Daten
74 % Darstellung der Mikrofondaten und Definition der Callback-Funktion++++++
75 rowName
                    = {1:size(data,1)};
                    = ... % Spaltenbezeichnung
76 columnname
     {'Model', 'SN'
                                   , 'Sensitivity' , 'Last Calibration'};
78 columneditable = ... % Einstellen der Editierbarkeit der Spalten
     [false , true
                                   , false
                                                , false];
79
80 columnformat
                    = ... % Format der Spalten
  {'char', [tmp(2:end,5);{''}]', 'numeric'
                                                 , 'char'};
81
82 columnWidth = ... % Spaltenbreite
                                   , 180
                                                  , 250};
   {180 , 180
83
84
85 % Initialisierung und Konfiguration der Tabelle mit den Mikrofondaten+++++
86 % Die CellEditCallback - Funktion wird immer ausgeführt wenn in der Tabelle
87 % neue Mikrofondaten vom Benutzer eingegeben werden. Damit wird die
```

```
88 % derzeitige microphoneData.mat aktualisiert.
89 t = uitable(... % Eigenschaften siehe: help Uitable Properties
       'Units'
                         , 'normalized',...
90
       'CellEditCallback' , {@refreshMicData_callback},...
91
       'ColumnEditable' , columneditable,...
92
                          , columnformat,...
       'ColumnFormat'
93
                         , columnname,...
       'ColumnName'
94
                         , columnWidth,...
       'ColumnWidth'
      'Data'
                          , data,...
       'FontSize'
                         , 20,...
97
                         , [0 0 1 1],...
       'Position'
98
       'RowName'
99
                          , rowName);
100 % Einlesen der geänderten Mikrofondaten in das Fenster-Handle und
101 % Definition des Key-Callback für das Laden und Speichern des Presets der
102 % Mikrofon-Daten
103 set(f,...
       'UserData' , get(t,'UserData'),...
'KeyPressFcn' ,{@loadSavePresetMicData_keyCallback,t});
104
107 % Definiton des Save/Load Buttons und der Callback-Funktionen+++++++++++++
108 % Beim Maus-Klick auf den Load-Button wird ein Callback ausgeführt
109 hLoad = uicontrol(...
      'Units' , 'normalized',...
110
                        , {@loadPresetMicData_mouseCallback,t},...
       'Callback'
111
                        , f,...
       'Parent'
112
                        , [0.1150 0.01 0.2 0.0556],...
       'Position'
113
                        , 'Load Preset',...
       'String'
114
                        , 'pushbutton',...
       'Style'
115
      'Value'
                         , 1);
117 % Beim Maus-Klick auf den Save-Button wird ein Callback ausgeführt
118 hSave = uicontrol(...
                      , 'normalized',...
, {@savePresetMicData_mouseCallback,t},...
      'Units'
119
       'Callback'
120
       'Parent'
                       , f,...
121
                       , [0.4150 0.01 0.2 0.0556],...
       'Position'
122
                       , 'pushbutton',...
       'Style'
123
                       , 'Save Preset',...
       'String'
124
                        , 1);
       'Value'
125
127 %% Wegschreiben der Ergebnisse
128 waitfor(f); % In der Funktion wird so lange gewartet bis das Fenster
             % geschlossen
130 %---
131 end
```

```
: Nummer des zu kalibrierenden Kanals
15 % aChannelNum
16 % aOldSyncMode
                        : ursprünglicher Sync-Modus des DAQ-Moduls
17 %
                          Für DT9837B z.B 'None', 'Master', 'Slave'
18 %
19 % Ausgabe:
20 응
21 응
22 % sontiges:
24 %-----
25 %% Intialisierung
26 persistent counter; % Aufruf-Zähler (wie oft wurde die Funktion aufgerufen)
27 persistent lookBackCounter; % Zähler der gültigen Mikrofon-Empfindlichkeit
28 persistent sensitivity; % Mikrofon-Empfindlichkeit (Übertragungsfaktor)
29 persistent levelHistoryDB; % Historie der kalibrierten Pegel [dB] mit altem
30 persistent levelHistoryPa; % Historie der kalibrierten Pegel [Pa] ohne
                            % Übertragungsfaktor
31
32 if isempty(counter) % bei der allerersten Aufruf werden die Zähler
                      % initialisiert
34
     lookBackCounter = 0;
35
                     = 1:
     counter
36
     sensitivity = [];
37
     levelHistoryDB = [];
38
     levelHistoryPa = [];
39
40 else
41
     counter = counter +1;
42
43
44 end
45
47 calibrationLevel = 94; % Kalibrierpegel
48 refPressure = 2E-5; % Bezugsgröße für den Schalldruck [dB]
49 calibrationPressure = refPressure*10^(calibrationLevel/20); % Bezugsgröße
                                                  % für den Schalldruck [Pa]
50
maxCalibVariance = 0.5; % maximal zulässige Abweichung vom
                        % Kalibrierpegel in dB
52
53 %-----
54 %% Programmcode
55 userData = get(aFigureHandle,'UserData'); % Handle der MAMS-GUI
                = get(aObject, 'SamplesAcquiredFcnCount'); % Anzahl der
56 numSamples
  % Samples ab wann die Kalibrierungsfunktion aufgerufen wird
  % entspricht auch der Blocklänge der normalen Datenerfassung
59 sampleRate = get(aObject, 'SampleRate'); % Einlesen der Abtastrate
60 sensBackLookIdx = ceil(5*sampleRate/numSamples); % Anzahl der Samples über
61 % die der Kalibrier-Ton innerhalb der zulässigen Abweichung vom
62 % Referenz-Pegel liegen soll (Hier ==> 5 Sekunden)
63 % Einlesen der Mikrofondaten-----
readMicInput.file = fullfile(fullfile(cd,'microphoneData.mat'));
readMicInput.header = false;
66 userData.microphoneData = readMicrophoneData(readMicInput);
67 oldMicSensitivity = userData.microphoneData{aChannelNum, 6};
68 if oldMicSensitivity == 0 % Falls noch keine Sensitivity vorhanden ist
      % wird standardmäßig mit 50 mV/Pa gerechnet
69
      oldMicSensitivity = 50e-3;
70
72 % Prüfen ob das Kalibrier-Fenster noch da ist-----
73 if ishandle(userData.calibrationWindowStruct.plotHandle(2))
      data = peekdata(aObject,numSamples); % einlesen der
74
      % aktuellen Messdaten (je nach Anzahl der aktiven Kanäle am Modul kan
```

```
76
     % es bis zu 4 Spalten haben)
     hwChannelNum = userData.microphoneData{aChannelNum, 3}; % Einlesen
77
     % des aktuellen Hardware-Kanal des DAQ-Modul
78
79
     % Ermittlung des Kanal-Idx zum Auslesen des richtigen Kanals in der
80
     % Daten-Matrix
81
     if iscell(aObject.Channel.HwChannel)
82
83
         channelIdx = ...
            aObject.Channel.Index(...
            cell2mat(aObject.Channel.HwChannel) == hwChannelNum);
87
     else
88
89
         channelIdx = aObject.Channel.Index(1);
90
91
     end
92
93
     % Unterschiede zu den verschiedenen Kanal-Arten
95
        aChannelNum := Kanal-Nummer von 1 - 16 (maximal 16 Kanäle)
96
        hwChannelNum:= modul spezifische Kanal-Nummer von 0 - 3
97
        (repräsentiert die Kanäle 1-4)
98
        channelIdx := Kanal-Zahl zum Einlesen der Daten (1-4)
99
100
     % Kalibrierungs-Algorithmus-----
101
102
     % 1. Berechnung des Gewichtungs-Fenster für die Fensterung des
     % erfassten Messdaten-Block
     winFFT = flattopwin(length(data(:,channelIdx)));
     % 2. Fensterung des aktuellen Messdaten-Block
107
     siqWin
                  = data.*winFFT*(length(data)/sum(winFFT));
108
     % length(data)/sum(winFFT) ist Amplitudenkorrektur für die
     % Energieänderung durch das Fenster
109
     110
     111
     dataComplexFFT = fft(sigWin);
112
     113
     dataAbsFFT = abs(dataComplexFFT);
     % 5.Normierung des Spektrum und Beschränkung auf das Einseiten-Spektrum
                 = 2*dataAbsFFT(1:end/2)/length(data); % Berechnung des
118
     dataAbsFFT
     % 6. Einseiten-Spektrums
119
     dataAbsFFT(1) = dataAbsFFT(1)/2; % Halbierung des ersten Bins, weil
120
     % die Spektrallinien bei 1 und NFFT/2 zusammen fallen
121
     122
     dataRMSFFT
                 = dataAbsFFT/sqrt(2); % Berechnung des Effetivwertes
123
     % ==> Crest-Faktor für Sinus-Schwingungen 1/sqrt(2) ~ 0,707
124
     = sampleRate/length(data); % Berechnung der
     % Frequenzauflösung der FFT
127
128
     freqRange = 0:df:sampleRate/2-1; % Berechnung des Frequenz-Vektor
129
130
     % Gültiger Frequenzbereich in den der Kalibrier-Ton liegen darf
     calibratorFreqRangeIdx = find(freqRange>=960 & freqRange<=1040);</pre>
131
132
     % Suche nach dem Pegel des Kalibrier-Ton im zulässigen Bereich
133
     [maxFFTValue,maxFFTIdx] = max(dataRMSFFT(calibratorFreqRangeIdx));
134
     % Umrechnung des Index in eine Frequenz
     maxFFTFreqBin
                        = freqRange(calibratorFreqRangeIdx(maxFFTIdx));
```

```
% Umrechnung des Index des Kalibrierbereich auf den gesamten
137
       % Frequenzbereich
138
       maxFFTIdx
                               = calibratorFreqRangeIdx(maxFFTIdx);
139
       140
       sensitivity(counter)
                              = dataRMSFFT(maxFFTIdx)/calibrationPressure;
141
       % Berechnung der FFT kalibriert auf den alten Kalibierton
142
143
       dataDBFFT
                              = ...
           20*log10((dataRMSFFT/oldMicSensitivity)/refPressure);
144
       % Speichern des aktuellen Kalibierpegels in die Historie
       levelHistoryDB(counter) = dataDBFFT(maxFFTIdx);
146
       levelHistoryPa(counter) = dataRMSFFT(maxFFTIdx);
147
       148
       % Kurve für die FFT wird rot-gezeichnet, und die Daten gezeichnet
149
       set (userData.calibrationWindowStruct.plotHandle(2),...
150
                      , 'red',...
           'Color'
151
                      ,freqRange,...
           'XData'
152
                      ,dataDBFFT);
           'YData'
153
       % Anzeige des neuen Titels
154
       set (userData.calibrationWindowStruct.titleHandle(2),...
                      ,['DFT des Eingangssignals Block-Nr.: ',...
           'String'
           num2str(counter)]);
157
       % Anzeige der aktuellen Informationen des Blocks
158
       set (userData.calibrationWindowStruct.txtDisplayHandle(1),...
159
           'String' , {'max Value: ';...
160
           [num2str(20*log10(maxFFTValue/oldMicSensitivity/refPressure),...
161
           '%03.1f'),' dB @ '];...
162
           [num2str(maxFFTFreqBin,'%04.2f'),' Hz'];...
163
164
           'calc.Sens.: ';...
            [num2str(sensitivity(counter)*1e3,'%02.2f'),'mV/Pa']});
       drawnow; % Aktualisierung des GUI-Fensters
167
168
       % Sobald der Zähler Counter größer als der SensBackLookIdx ist die
169
       % Mindestwartezeit für ein stabiles Signal vorbeis.
170
       if counter>=sensBackLookIdx
171
           % Berechnung der relelativen Abweichung der letzten Sekunden des
172
           % Kalibriertons
173
                               = max(abs(diff(...
174
           tmp
175
               levelHistoryDB(end-sensBackLookIdx+1:end))));
          % Abfrage: wenn die relativen Abweichungen der letzten Sekunden
177
          % maximal der zulässigen Abweichung entspricht wird die zweite
178
          % Kalibirschleife begonnen
          if tmp <= maxCalibVariance</pre>
179
               % Beginn der zweiten Kalibrierschleife
180
               % Kurve des Kalibrier-Fenster wird grün dargestellt
181
               set (userData.calibrationWindowStruct.plotHandle(2),...
182
                          , 'green');
               'Color'
183
184
           % Wenn der Index größer als die Mindest-Wartezeit ist ist die
185
           % Kalibrierung erfolgriech := Diese Schleife sorgt dafür, dass ide
           % Kalibrierung erst dann erfolgt, wenn eine dauerhafter konstanter
           % Pegel gemessen wird
188
               if lookBackCounter >= sensBackLookIdx
189
190
                   stop(aObject); % Stop der Datenerfassung
191
                   % set(aObject, 'SyncMode', aOldSyncMode);
192
193
                                      = sensitivity(end); % Auswahl des
                   newMicSensitivity
194
                   % Mikrofon-Übertragungsfaktor
195
196
                   % Berechnung des Unterschieds zwischen den Pegel mit neuem
197
```

```
% und alten Differenzpegel
198
                                      = ...
                     levelDifference
199
                         20*log10(levelHistoryPa(end)/...
200
                         newMicSensitivity/refPressure)-...
201
                         20*log10(levelHistoryPa(end)/...
202
203
                         oldMicSensitivity/refPressure);
                     % Benutzer-Abfrage ob der neue Mikrofon-Übertragunsfaktor
204
                     % übernommen werden soll
                     acceptCalibrationButton = ...
206
207
                         questdlg(...
208
                         {'Do you to save the new sensitivity?';...
                          ['old Sensitivity: ',...
209
                           num2str(oldMicSensitivity*1E3,'%02.2f')];...
210
                          ['new Sensitivity: ',...
211
                           num2str(newMicSensitivity*1E3,'%02.2f')];...
212
                          ['Level Difference to old sensitivity: ',...
213
                           num2str(levelDifference,'%03.1f')]},...
214
                         'New Sensitivity',...
215
                         'Yes',...
216
                         'No',...
217
                         'No');
218
219
                     % Wenn der Übertragungsfaktor übernommen wird wird er im
220
                     % aktuellen Mirkofon-datenfile übernommen
221
222
223
                     if strcmp(acceptCalibrationButton, 'Yes')
224
                     userData.microphoneData{aChannelNum, 6} = newMicSensitivity;
225
                     userData.microphoneData{aChannelNum,7} = datestr(now,30);
227
228
                    microphoneItems = { ...
                         'Num'
                                                          ,'HwCh-Num','Model',...
                                          ,'Ch-Num'
229
                         'Serialnumber' , 'Sensitivity' , 'Last Calibration'};
230
                     userData.microphoneData = ...
231
                         [microphoneItems; userData.microphoneData];
232
                    microphoneData
233
                         userData.microphoneData;
234
                     % Speichern der Mikrofon-Daten
235
236
                     save(fullfile(cd, filesep, 'microphoneData.mat'),...
237
                         'microphoneData');
                     else
239
240
                    end
241
                    helpdlg('Calibration Finished!');
242
                    lookBackCounter = 0;
243
                                     = 1;
244
                    counter
245
                     sensitivity
                                    = [];
                     levelHistoryDB = [];
246
                     levelHistoryPa = [];
247
                end
249
250
251
                lookBackCounter = lookBackCounter+1;
           else % Falls die relativ Abweichung vom Kalibrier-Ton zu groß war
252
                % wird der entsprechende Counter zurückgesetzt
253
254
                set (userData.calibrationWindowStruct.plotHandle(2),...
255
                     'Color' , 'red');
256
                lookBackCounter = 0;
257
            end
```

```
259
       end
260 else
      lookBackCounter = 0;
261
      counter = 1;
sensitivity = [];
262
263
      levelHistoryDB = [];
264
      levelHistoryPa = [];
265
266
     stop(aObject);
      set (aObject, 'SyncMode', aOldSyncMode);
268
269 end
270 %-----
271 %% Wegschreiben der Ergebnisse
272 % set(userData.calibrationWindowStruct.hCalibrationHandle,...
273 % 'DeleteFcn' ,{@closeCalibration_callback,aObject});
274 set(aFigureHandle, 'UserData', userData);
```

```
1 function out = initDaqSetup(aInput)
3 % Schnittstellenbeschreibung
4 %
                       Rick Plescher, 30.04.2015
5 % Autor:
6 %
7 % Funktionsaufruf: out = initDaqSetup(aInput);
9 % Fkt.-beschreibung: Diese Funktion konfiguriert die angeschlossenen
                        DAQ-Module und die aktiven Kanäle.
10 %
11 %
12 % Eingabe:
13 % aInput
14 % .hInfoText
                       : Handle zu de Info-Textbox
                        : Handle zu der grafischen Benutzeroberfläche des
15
     .hMamsGui
16 %
                          Datenerfassungssystems
17 %
18 % Ausgabe:
19 % out
20 %
      .blockLengthDAQ : Blocklänge [Samples]
      .folderStr : Speicherort [String]
.masterIdx : Index des angeschlossenen Slave Idx
21 %
22 %
      .microphoneData : Mikrofondaten [cell-struct]
23 %
     .moduleString : Specher-Name [String]
24 %
     .numActiveChannels : Anzahl der aktiven Kanäle
25 %
26 %
     .numDaqModules : Anzahl der angeschlossenen
     .sampleRate
27 %
                       : Abtastrate der DAQ-Module [double]
     .slaveIdx
28 %
                       : DAQ-Slave Index-Array [double array]
29 %
30 % sontiges:
31 % Voraussetzung für eine erfolgreiche Konfiguration ist die Verwendung
32 % einer 32-Bit Version von Matlab und der Data Translation Open Layer
33 %
     (dtol) -Adapter muss instaliert sein
34 %
     notwendige Funktionen:
35 %
     1. configureDT9837BChannels.m
36 %
         2. editMicrophoneData.m
         3. readMicrophoneData.m
39 %-----
40 %% Intialisierung
```

```
41 out
                  = struct();
42 connectedDevices= struct();
43 listString = cell(8,1);
                = { . . .
44 moduleString
       'DAQSession_Master';...
45
       'DAQSession_Slave1';...
46
       'DAQSession_Slave2';...
47
       'DAQSession_Slave3'};
48
49 %-----
50 %% Benutzer-Abfrage zur Abtastraten-Konfiguration
{['Samplerate = 4 kHz/Samples per Block (online-View) = ',...
52
       ' 1024/frequency Resolution (online-FFT) = 3,906 Hz/Bin']};
53
54 listString(2)
       {['Samplerate = 8 kHz/Samples per Block (online-View) = ',...
55
       '2048/frequency Resolution (online-FFT) = 3,906 Hz/Bin']};
56
57 listString(3)
                 = ...
       {['Samplerate = 10 kHz/Samples per Block (online-View) = ',...
58
       '2048/frequency Resolution (online-FFT) = 4,883 Hz/Bin']};
59
60 listString(4)
       {['Samplerate = 22.05 kHz/Samples per Block (online-View) = ',...
61
       '4096/frequency Resolution (online-FFT) = 5,383 Hz/Bin']};
62
1 listString(5) = ...
       {['Samplerate = 32 kHz/Samples per Block (online-View) = ',...
64
       '8192/frequency Resolution (online-FFT) = 3,906 Hz/Bin']};
65
                 = ...
66 listString(6)
       {['Samplerate = 44.1 kHz/Samples per Block (online-View) = ',...
67
       '8192/frequency Resolution (online-FFT) = 5,383 Hz/Bin']};
68
69 listString(7) = \dots
       {['Samplerate = 48 kHz/Samples per Block (online-View) = ',...
       '8192/frequency Resolution (online-FFT) = 5,859 Hz/Bin']};
72 listString(8)
                 = ...
      {['Samplerate = 96 kHz/Samples per Block (online-View) = ',...
73
       '16384/frequency Resolution (online-FFT) = 5,859 Hz/Bin']};
74
75
76 sampleRateConfig= ... % Aufruf der Listen-Dialogs
      listdlg(...
77
                      , 1
       'fus'
78
                                   , . . .
      'InitialValue' , 8
79
                                   , . . .
80
                                   , . . .
                     ,[600,150]
       'ListSize'
81
                                  , . . .
      'ListString' ,listString ,...
'PromptString' ,'Which Samplerate do you want to use?',...
       'ListString'
82
83
       'SelectionMode' ,'Single' ,...
84
       'uh'
                                   30);
85
                       ,
86
87 if isempty(sampleRateConfig) % Default-Wert: fs = 48 kHz;8192 Samples
       sampleRateConfig = 8;
88
89 end
90
91 switch(sampleRateConfig)
      case 1
92
93
          sampleRate
                         = 4E3;
94
          blockLengthDAQ = 1024;
95
       case 2
          sampleRate
                           = 8E3:
96
          blockLengthDAQ = 2048;
97
      case 3
98
           sampleRate
                         = 10E3;
99
           blockLengthDAQ = 2048;
100
       case 4
```

```
sampleRate
102
                           = 22.05E3;
           blockLengthDAQ = 4096;
103
       case 5
104
           sampleRate
                           = 32E3;
105
           blockLengthDAQ = 8192;
106
       case 6
107
                            = 44.1E3;
           sampleRate
108
           blockLengthDAQ = 8192;
       case 7
           sampleRate
                          = 48E3;
111
           blockLengthDAQ = 8192;
112
113
       case 8
           sampleRate
                           = 96E3:
114
           blockLengthDAQ = 16384;
115
116
       otherwise
117
           sampleRate
                         = 48E3;
118
           blockLengthDAQ = 8192;
119
120 end
121 %-----
122 %% Benutzer-Abfrage zu den DAQ-Modulen
123 %Berechnung des notwendigen Bufferspeichers
124 lengthBuffer = ceil(2*sampleRate/blockLengthDAQ);
if lengthBuffer < 2</pre>
       lengthBuffer = 2; %internes Minimum bei manueller Konfiguration
126
127 end
                      = fullfile('F:', datestr(now, 29)); % Auf Privat-Rechner
128 % % folderStr
                  = fullfile('D:', datestr(now, 29)); % Auf dem MAMS-Rechner
129 folderStr
130 hardwareInfo = daqhwinfo('dtol');
displayGuiTextInfo(aInput.hInfoText,02);
132 % % hardwareInfo = daqhwinfo('winsound'); % angeschlossene Geräte suchen
133 % % displayGuiTextInfo(aInput.hInfoText,02); % Statusmeldung ausgeben
134 % Ermittlung der Anzahl der angeschlossenenen Module
135 numDaqModules = size(hardwareInfo.BoardNames, 2);
136 displayGuiTextInfo(aInput.hInfoText,03); % Statusmeldung ausgeben
137
138 masterIdx
                   = listdlg(... % Aufruf des Listen-Dialogs
                      , 1
       'fus'
139
                                 , . . .
                      , 1
140
       'ffs'
                                    , . . .
                       , [320,260] ,...
, 'Please Select the Master-Module!',...
       'ListSize'
141
      'PromptString'
       'SelectionMode', 'Single'
143
       'ListString'
                       , hardwareInfo.BoardNames);
144
145
                   = []; % Initialisierung des Slave-Vektros
146 slaveIdx
147
148 % Ermittlung der Slave-Hardware-Indizes
149 if numDaqModules > 1
       tmp
                   = 1:numDaqModules; % Vektor von 1 bis Anzahl DAQ-Module
150
                   = tmp(tmp~=masterIdx); % Vektor ohne Master-Index
151
       tmpIdx
       slaveIdx
                 = zeros(1,length(tmp)); % Slave-Index Vektor initialisieren
       for n=1:length(tmpIdx)
154
155
           tmpSlaveIdx
                str2double(hardwareInfo.BoardNames{tmpIdx(n)}(end-3));
156
           slaveIdx(tmpSlaveIdx) = tmpIdx(n);
157
       end
158
159 end
160
   displayGuiTextInfo(aInput.hInfoText,04); % Statusmeldung ausgeben
161
```

```
163 % Anlegen eines Ordner zum Abspeichern der Mikrofondaten
if exist(fullfile(folderStr,'DAQSession_MicrophoneData'),'dir')~=7
       mkdir(fullfile(folderStr, 'DAQSession_MicrophoneData'));
165
166 end
167
168 %Anlegen eines Ordner zum Abspeichern der Kalibrierungsdatei
if exist(fullfile(folderStr,'DAQSession_Calibration'),'dir')~=7
       mkdir(fullfile(folderStr, 'DAQSession_Calibration'));
171 end
172
173 % Anlegen eines Ordners zum Abpseichern der Event-Daten
if exist(fullfile(folderStr,'DAQSession_LogData'),'dir')~=7
       mkdir(fullfile(folderStr,'DAQSession_LogData'));
175
176 end
177
178 % Anlagen eines Ordners zum Abspeichern der Messdaten
179 for n=1:numDaqModules
       if exist(fullfile(folderStr,moduleString{n}),'dir')~=7
           mkdir(fullfile(folderStr, moduleString{n}));
182
183 end
184
displayGuiTextInfo(aInput.hInfoText,05);% Statusmeldung ausgeben
186 %% Einlesen der zuvor angegebenen Mikrofondaten
readMicInput.file = fullfile(cd,'microphoneData.mat');
188 readMicInput.header = false;
189 % Einlesen der zugehörigren Mikrofondatei
190 microphoneData
                      = readMicrophoneData(readMicInput);
191  numActiveChannels = size(microphoneData, 1);
193 %% Programmcode
194 % Switch-Abfrage für die verschiedene Anzahl von angeschlossenen
195 % DAQ-Modulen. Es gibt die Möglichleit ziwschen 1 und 4 Module
196 % anzuschließen. Jeder dieser Fälle wird mit dieser Fallunterscheidung
197 % abgefragt.
198 switch numDagModules
       case 1 % Ein DAQ-Modul angeschlossen: Master
199
200
           trv
201
               displayGuiTextInfo(aInput.hInfoText,06);
               master = analoginput('dtol',...
                   hardwareInfo.InstalledBoardIds{masterIdx});
204
                               master = ...
               응 응
                                    analoginput ('winsound',...
205
               응 응
                                    hardwareInfo.InstalledBoardIds{masterIdx});
206
207
           catch
               displayGuiTextInfo(aInput.hInfoText,81);
208
209
           end
210
211
           userDateStr = datestr(now, 30); % Datum-String nach ISO 8601
           displayGuiTextInfo(aInput.hInfoText,07);
214
           % Konfiguration des Master-Module-----
215
216
           % BufferingConfig
                                        := [Blocklänge, Anzahl der Blöcke]
                                       := Anzahl der Samples ab wann die
           % SamplesAcquiredFcnCount
217
                                           SamplesAcquiredFcn ausgeführt wird
218
           % SamplesPerTrigger
                                       := Anzahl der zu erfassenden Samples
219
                                           bei ausgelöstem Trigger
220
           % SampleRate
                                        := Abtastrate
221
           % LogToDiskMode
                                        := Speicherungs-Modus (Datei-Name)
           % LoggingMode
                                        := Speicherungs-Modus (Dateiort)
```

```
% TimeOut
                                          := maximale Ausführzeit
224
                                          := Anzahl der zu wiederholenden Trigger
            % TriggerRepeat
225
                                         := Trigger-Typ
            % TriggerType
226
            set (master, ...
227
                                           , [blockLengthDAQ, lengthBuffer],...
                'BufferingConfig'
228
                'SamplesAcquiredFcnCount', blockLengthDAQ,...
229
                                       , Inf
                'SamplesPerTrigger'
230
                                          , sampleRate
                'SampleRate'
                                          , 'Index'
                'LogToDiskMode'
232
                                                            , . . .
                                          , 'Disk'
                'LoggingMode'
233
                                                            , . . .
                                          , 2
                'TimeOut'
234
                                                            , . . .
                                          , 0
                'TriggerRepeat'
235
                                                            , . . .
                                           , 'Immediate'
                'TriggerType'
236
                                                            );
237
            set (master,...
238
                                              , 'Master',...
                'SyncMode'
239
                'SamplesAcquiredFcn'
                                              , {@plotData1,aInput.hMamsGui},...
240
                'LogFileName'
241
                                              , ...
                fullfile(folderStr, 'DAQSession_Master', userDateStr));
242
243 % %
                set (master, ...
244 % %
                                                  , {@plotData1,aInput.hMamsGui},...
                    'SamplesAcquiredFcn'
245 % %
                    'LogFileName'
                                                  , . . . .
246 % %
                         fullfile(folderStr, 'DAQSession_Master', userDateStr));
            % Konfiguration der Kanäle des Master-Module-----
247
248 % %
                connectedDevices.master =...
249 % %
                             configureDUMMYChannel(master);
           for n= 1:numActiveChannels
250
251
                if microphoneData{n,1} <= 4</pre>
                    configureInput.module
                                                      = master;
                    configureInput.microphoneData = microphoneData;
253
254
                    configureInput.n
                                                      = n;
255
                    connectedDevices.master =...
256
                        configureDT9837BChannels(configureInput);
257
                end
258
           end
259
       case 2 % Zwei DAQ-Module angeschlossen: Master-Slave
260
            try %Versuch der Anmeldung von zwei Modulen
261
262
                displayGuiTextInfo(aInput.hInfoText,06);
                master = analoginput('dtol',...
                    hardwareInfo.InstalledBoardIds{masterIdx});
                slave1 = analoginput('dtol',...
265
                    hardwareInfo.InstalledBoardIds{slaveIdx});
266
            catch % Falls das nicht funktioniert gibt es eine Fehlermeldung
267
                displayGuiTextInfo(aInput.hInfoText,81);
268
            end
269
270
            userDateStr = datestr(now, 30);
271
272
            displayGuiTextInfo(aInput.hInfoText,07);
273
274
            % Konfiguration des Mater- und Slave-Modul
275
276
            set([master,slave1],...
                                           , [blockLengthDAQ, lengthBuffer],...
277
                'BufferingConfig'
                'SamplesAcquiredFcnCount', blockLengthDAQ,...
278
                'SamplesPerTrigger'
                                       , Inf
279
                                          , sampleRate
                'SampleRate'
280
                'LogToDiskMode'
                                         , 'Index'
281
                                                            , . . .
                                          , 'Disk'
                'LoggingMode'
282
                                                            , . . .
                                          , 2
                'TimeOut'
283
                                                            , . . .
                                          , 0
                'TriggerRepeat'
                                                            , . . .
```

```
, 'Immediate' );
                'TriggerType'
285
            % Kofiguration des Sync-Modus und der Callback-Funktion----
286
            set (master, ...
287
                                              , 'Master' ,...
                'SvncMode'
288
                                              , {@plotData1,aInput.hMamsGui},...
                'SamplesAcquiredFcn'
289
                'LogFileName'
290
                fullfile(folderStr, 'DAQSession_Master', userDateStr));
291
            set (slave1, ...
293
                'SyncMode'
                                               'Slave'
294
                                                               , . . .
                'SamplesAcquiredFcn'
                                              , {@plotData2,aInput.hMamsGui},...
295
                'LogFileName'
296
                fullfile(folderStr,'DAQSession_Slave1',userDateStr));
297
            % Konfiguration der aktiven Kanäle
298
            for n = 1:numActiveChannels % Schleife über alle aktiven Kanäle
299
                % Konfiguration der aktiven Kanäle (Master-Modul CH = 1:4)
300
                if microphoneData{n,1} <= 4</pre>
301
                    configureInput1.module
                                                       = master;
                    configureInput1.microphoneData = microphoneData;
303
                    configureInput1.n
                                                       = n;
304
305
306
                    connectedDevices.master = ...
307
                         configureDT9837BChannels(configureInput1);
308
                end
309
310
                % Konfiguration der aktiven Kanäle (Slave1-Modul CH = 5:8)
311
                if ((microphoneData{n,1} >4) && (microphoneData{n,1}<=8))</pre>
312
                    configureInput2.module
                                                       = slave1;
                    configureInput2.microphoneData = microphoneData;
                    configureInput2.n
314
                                                       = n;
315
                    connectedDevices.slave1...
316
                        = configureDT9837BChannels(configureInput2);
317
                end
318
            end
319
320
       case 3 % Drei DAQ-Module angeschlossen: Master-Slave-Slave
321
            try % Versuch der Anmeldung von drei Modulen
322
                displayGuiTextInfo(aInput.hInfoText,06);
                master = analoginput('dtol',...
                    hardwareInfo.InstalledBoardIds(masterIdx));
                slave1 = analoginput('dtol',...
326
                    hardwareInfo.InstalledBoardIds{slaveIdx(1)});
327
                slave2 = analoginput('dtol',...
328
                    hardwareInfo.InstalledBoardIds{slaveIdx(2)});
329
            catch % Falls das nicht funktioniert gibt es eine Fehlermeldung
330
                displayGuiTextInfo(aInput.hInfoText,81);
331
332
333
            userDateStr = datestr(now, 30);
334
335
            displayGuiTextInfo(aInput.hInfoText,07);
336
337
            % Konfiguration der DAQ-Moduke-----
338
            set([master,slave1,slave2],...
                                          , [blockLengthDAQ, lengthBuffer],...
                 'BufferingConfig'
339
                'SamplesAcquiredFcnCount', blockLengthDAQ,...
340
                                        , Inf
                'SamplesPerTrigger'
341
                                           , sampleRate
                'SampleRate'
342
                                                            , . . .
                                          , 'Index'
                'LogToDiskMode'
343
                                                            , . . .
                                          , 'Disk'
                'LoggingMode'
344
                                                            , . . .
                'TimeOut'
345
                                                            , . . .
```

```
, 0
                 'TriggerRepeat'
346
                                           , 'Immediate'
                'TriggerType'
347
                                                            );
            % Kofiguration des Sync-Modus und der Callback-Funktion----
348
            set (master, ...
349
                                              , 'Master' ,...
                 'SyncMode'
350
                                              , {@plotData1,aInput.hMamsGui},...
                'SamplesAcquiredFcn'
351
                'LogFileName'
352
                                               , . . . .
                fullfile(folderStr, 'DAQSession_Master', userDateStr));
353
354
            set (slave1,...
355
                'SyncMode'
                                               , 'Slave'
356
                 'SamplesAcquiredFcn'
                                               , {@plotData2,aInput.hMamsGui},...
357
                 'LogFileName'
358
                                               , ...
                fullfile(folderStr, 'DAQSession_Slave1', userDateStr));
359
360
            set (slave2,...
361
                'SyncMode'
                                               , 'Slave'
362
                                                                , . . .
                 'SamplesAcquiredFcn'
                                              , {@plotData3,aInput.hMamsGui},...
363
                 'LogFileName'
                                              , ...
                fullfile(folderStr, 'DAQSession_Slave2', userDateStr));
365
366
            % Konfiguration der aktiven Kanäle
367
            for n= 1:numActiveChannels % Schleife über alle aktiven Kanäle
368
                % Konfiguration der aktiven Kanäle (Master-Modul CH = 1:4)
369
                if microphoneData{n,1} <= 4</pre>
370
371
                     configureInput1.module
                                                        = master;
372
                     configureInput1.microphoneData = microphoneData;
373
                     configureInput1.n
                                                         = n;
374
                     connectedDevices.master =...
                         configureDT9837BChannels(configureInput1);
376
377
                end
378
                % Konfiguration der aktiven Kanäle (Slavel-Modul CH = 5:8)
379
                if ((microphoneData\{n,1\} > 4) \&\& (microphoneData\{n,1\} <= 8))
380
                     configureInput2.module
                                                       = slave1;
381
                                                       = microphoneData;
                     configureInput2.microphoneData
382
                     configureInput2.n
383
384
385
                     connectedDevices.slave1...
386
                         = configureDT9837BChannels(configureInput2);
387
                end
388
                % Konfiguration der aktiven Kanäle (Slave2-Modul CH = 9:12)
389
                if ((microphoneData{n,1} >8) && (microphoneData{n,1}<=12))
390
                    configureInput3.module
                                                       = slave2;
391
                     configureInput3.microphoneData
                                                       = microphoneData;
392
                    configureInput3.n
                                                        = n;
393
394
                     connectedDevices.slave2...
395
                         = configureDT9837BChannels(configureInput3);
396
                end
397
398
            end
399
        case 4 % Drei DAQ-Module angeschlossen: Master-Slave-Slave-Slave
400
            try % Versuch der Anmeldung von drei Modulen
401
                displayGuiTextInfo(aInput.hInfoText,06);
402
                master = ...
403
                     analoginput('dtol',...
404
                         hardwareInfo.InstalledBoardIds(masterIdx));
405
                slave1 = ...
```

```
analoginput('dtol',...
407
                        hardwareInfo.InstalledBoardIds(slaveIdx(1)));
408
                slave2 = ...
409
                    analoginput('dtol',...
410
                       hardwareInfo.InstalledBoardIds{slaveIdx(2)});
411
412
                slave3 = ...
                    analoginput('dtol',...
413
                        hardwareInfo.InstalledBoardIds{slaveIdx(3)});
            catch % Falls das nicht funktioniert gibt es eine Fehlermeldung
                displayGuiTextInfo(aInput.hInfoText,81);
416
417
            end
418
            userDateStr = datestr(now, 30);
419
420
            displayGuiTextInfo(aInput.hInfoText,07);
421
            % Konfiguration der DAQ-Module----
422
            set([master, slave1, slave2, slave3],...
423
                                          , [blockLengthDAQ, lengthBuffer],...
                'BufferingConfig'
                'SamplesAcquiredFcnCount', blockLengthDAQ,...
425
                                       , Inf
                'SamplesPerTrigger'
                'SampleRate'
                                           , sampleRate
427
                                                            , . . .
                                          , 'Index'
                'LogToDiskMode'
428
                                                            , . . .
                                           , 'Disk'
                'LoggingMode'
429
                                          , 2
                'TimeOut'
430
                                                            , . . .
                                          , 0
                'TriggerRepeat'
431
                                          , 'Immediate' );
                'TriggerType'
432
433
            % Kofiguration des Sync-Modus und der Callback-Funktion------
434
            set (master, ...
                                              , 'Master' ,...
                'SyncMode'
                                              , {@plotData1,aInput.hMamsGui},...
                'SamplesAcquiredFcn'
                'LogFileName'
437
                fullfile(folderStr, 'DAQSession_Master', userDateStr));
438
439
            set (slave1,...
                                              , 'Slave'
                'SyncMode'
440
                'SamplesAcquiredFcn'
                                              , {@plotData2,aInput.hMamsGui},...
441
                'LogFileName'
                                              , ...
442
                fullfile(folderStr, 'DAQSession_Slave1', userDateStr));
443
            set (slave2,...
444
445
                'SyncMode'
                                              , 'Slave'
                                                               , . . .
                'SamplesAcquiredFcn'
                                              , {@plotData3,aInput.hMamsGui},...
447
                'LogFileName'
                fullfile(folderStr, 'DAQSession_Slave2', userDateStr));
448
449
            set (slave3,...
                                              , 'Slave'
                'SyncMode'
450
                'SamplesAcquiredFcn'
                                              , {@plotData4,aInput.hMamsGui},...
451
                'LogFileName'
452
                fullfile(folderStr, 'DAQSession_Slave3', userDateStr));
453
454
            % Konfiguration der aktiven Kanäle
455
            for n= 1:numActiveChannels% Schleife über alle aktiven Kanäle
                % Konfiguration der aktiven Kanäle (Master-Modul CH = 1:4)
                if microphoneData{n,1} <= 4</pre>
458
459
                    configureInput1.module
                                                       = master;
460
                    configureInput1.microphoneData = microphoneData;
461
                    configureInput1.n
                                                        = n;
462
                    connectedDevices.master = ...
463
                         configureDT9837BChannels(configureInput1);
464
465
                % Konfiguration der aktiven Kanäle (Slavel-Modul CH = 5:8)
466
                if ((microphoneData\{n,1\} > 4) \&\& (microphoneData\{n,1\} <= 8))
```

```
468
                    configureInput2.module
                                                      = slave1;
                    configureInput2.microphoneData = microphoneData;
469
                    configureInput2.n
470
                                                      = n;
471
                    connectedDevices.slave1...
472
                        = configureDT9837BChannels(configureInput2);
473
                end
474
475
                % Konfiguration der aktiven Kanäle (Slave2-Modul CH = 9:12)
                if ((microphoneData{n,1} >8) && (microphoneData{n,1}<=12))</pre>
477
                    configureInput3.module
                                                      = slave2;
478
                    configureInput3.microphoneData
                                                     = microphoneData;
479
                    configureInput3.n
480
                                                      = n;
481
                    connectedDevices.slave2...
482
                        = configureDT9837BChannels(configureInput3);
483
                end
484
                % Konfiguration der aktiven Kanäle (Slave3-Modul CH = 13:16)
485
                if ((microphoneData{n,1} >12) && (microphoneData{n,1}<=16))</pre>
                    configureInput4.module
                                                      = slave3;
487
                                                     = microphoneData;
                    configureInput4.microphoneData
488
                    configureInput4.n
489
                                                      = n;
490
                    connectedDevices.slave3...
491
                        = configureDT9837BChannels(configureInput4);
492
                end
493
494
           end
495 end
497 %% Wegschreiben der Ergebnisse
498 names = fieldnames(connectedDevices);
499 if isempty(names)~=1
       out = connectedDevices;
500
501 end
502
503 out.blockLengthDAQ
                            = blockLengthDAQ; % Blocklänge [Samples]
504 out.folderStr
                            = folderStr; % Speicherort [String]
505 out.masterIdx
                            = masterIdx; % Index des angeschlossenen Slave Idx
506 out.microphoneData
                            = microphoneData; % Mikrofondaten [cell-struct]
507 out.moduleString
                            = moduleString; % Specher-Name [String]
508 out.numActiveChannels = numActiveChannels; % Anzahl der aktiven Kanäle
509 % [double]
510 out.numDaqModules
                            = numDaqModules; % Anzahl der angeschlossenen
511 % DAQ-Module [double]
512 out.sampleRate
                            = sampleRate; % Abtastrate der DAQ-Module [double]
                            = slaveIdx; % DAQ-Slave Index-Array [double array]
513 out.slaveIdx
514
515 % aktualisierung des Anzeig Namen der GUI
set (aInput.hMamsGui,...
        'Name', [get(aInput.hMamsGui,'Name'),' fs=',num2str(sampleRate),...
517
       ' blockLength= ',num2str(blockLengthDAQ)]);
odisplayGuiTextInfo(aInput.hInfoText,08);
520 %----
521 end % Function end
```

```
1 function out = initFigureSetup(aInput)
2 %------
3 % Schnittstellenbeschreibung
4 %
```

```
5 % Autor:
                           Rick Plescher, 30.04.2015
6 %
7 % Funktionsaufruf:
                         out = initFigureSetup(aInput);
8 %
9 % Fkt.-beschreibung: Die Funktion initiiert die Darstellungsfenster der
                         aufzunehmenden Daten und das Menu der DAQ-Systems
10 응
11 %
12 % Eingabe:
13 % aInput
                         : Eingabe-Struktur
                         : Handle der Haupt-GUI
14 % .hMamsGui
      .hInfoText
                         : Handle des Text-Info Fenster
15 %
16 % .daqSetup
                         : Struktur mit DAQ-Setup-Daten (siehe initDaqSetup)
17 %
18 % Ausgabe:
19 % out
                         : Ausgabe-Struktur
                         : Handle der Achsen
      .hAxes
20 응
                          : Handle der Kurven
       .hLine
21
       .hMenu
                          : Handle des Menüs
22
      .hSubplot
                         : Handle des Subplots
23 %
       .hPastSignalGui : Handle der letzten aufgenommenen Daten (GUI)
.hPastSigPlot : Handle der letzten aufgenommenen Daten (Kurve)
24 %
25 %
26 %
       .pastSignalCounter : Zähler der vergangenen Signalblöcke
27 %
28 % sontiges:
29 % notwendigen Funktionen:
30 %

    calibrateMic.m

31 %
         2. close_callback.m
         displayGuiMicInfo.m
32 %
33 %
         4. displayGuiTextInfo.m
34 %
         5. editMicrophoneData.m
36 %% Intialisierung
37 hLine = zeros(4,4); % Handle der Kurven der max. 16 DAQ-Kanäle
             = zeros(1,4); % Handle der Achsen für die 4 DAQ-Subplots
38 hAxes
39 hSubplot = zeros(1,6); % Handel der Subplot
40 fontSize
              = 12; % Schriftgröße
41 yLimValue = zeros(1,2);
42 yLimValue(1) = 20;
43 yLimValue(2) = 140;
45 %% Programmcode
46 % Definition des x-Achse Tick/Label
47 xTickMat = (1:2e3:aInput.daqSetup.blockLengthDAQ)-1;
48 xTickLabelCell = cell(size(xTickMat));
49 xTickLabelCell(1) = {'1'};
50 for n=2:numel(xTickMat)
      xTickLabelCell(n) = {[num2str(fix(xTickMat(n)/1e3),'%i'),'k']};
51
52 end
53 % subplot 232: Master-Modul-----
54 % Subplot initialisieren
hSubPlot(2) = subplot(2,3,2);
56 % 4 Kurven für den DAQ-Modul-Plot initialisieren
57 hLine(:,1) = plot(zeros(aInput.daqSetup.blockLengthDAQ,4));
58 % setzen der Achsen
59 set (gca, ...
                         , aInput.hMamsGui
       'Parent'
60
                         , [1,aInput.daqSetup.blockLengthDAQ],...
      'XLim'
61
                         , xTickMat
       'XTick'
62
                                                               , . . .
    , xTickLabelCell 'YLim'
63
                                                               , . . .
                          , [yLimValue(1),yLimValue(2)]);
65 % einlesen des Achsen-Handle
```

```
= gca;
66 hAxes(1)
67 % subplot 233: Slave1-Modul------
68 hSubPlot(3) = subplot(2,3,3);
69 hLine(:,2) = plot(zeros(aInput.daqSetup.blockLengthDAQ,4));
70 set (qca,...
                                            , aInput.hMamsGui
           'Parent'
           'XLim'
'XTick'
                                           , [1,aInput.daqSetup.blockLengthDAQ],...
72
                                            , xTickMat
                                                                                                           , . . .
73
           'XTickLabel'
                                            , xTickLabelCell
                                                                                                            , . . .
       'YLim'
                                             , [yLimValue(1),yLimValue(2)]);
76 hAxes(2) = gca;
77 % subplot 235: Slave2-Modul------
78 hSubPlot(5) = subplot(2,3,5);
79 hLine(:,3) = plot(zeros(aInput.daqSetup.blockLengthDAQ,4));
80 set(gca,...
                                            , aInput.hMamsGui
            'Parent'
81
                                            , [1,aInput.daqSetup.blockLengthDAQ],...
           'XLim'
82
          'XTick'
                                            , xTickMat
83
                                            , xTickLabelCell
          'XTickLabel'
                                                                                                            , . . .
          'YLim'
                                             , [yLimValue(1),yLimValue(2)]...
85
      );
86
hAxes(3) = gca;
88 % subplot 236: Slave3-Modul------
89 hSubPlot(6) = subplot(2,3,6);
90 hLine(:,4) = plot(zeros(aInput.daqSetup.blockLengthDAQ,4));
91 set (gca, ...
                                 , aInput.hMamsGui ,...
, [1,aInput.daqSetup.blockLengthDAQ],...
92
      'Parent'
           'XLim'
93
          'XTick'
                                            , xTickMat
                                                                                                           , . . .
           'XTickLabel'
                                           , xTickLabelCell
           'YLim'
                                            , [yLimValue(1),yLimValue(2)]...
96
97
          );
98 hAxes(4) = gca;
99 %-----
100 %% Signal-Past-Plot
101 % Diese Fenster zeigt bis zu einer gewissen Zeit an, was bisher aufgenommen
102 % wurde.
104 btnColor = [1,1,1]; % Hintergrundfarbe des neuen Fenster
105 set(0,'Units','pixels'); % Fenster-Einheit auf Pixel setzten
106 screenSize = get(0,'ScreenSize'); % einlesen der Bildschirm-Größe
                        = get(0, Screensize),

= screenSize(3)/2-50; % Fensterbreite

= screenSize(4)/4; % Fensterböhe
107 figWidth
109 figPos = ... % Fensterposi
110 [20 , screenSize(4)-figHeight-50 ...
110
           figWidth , figHeight];
111
112
nmath in the image is a second in the ima
                                  , 'pixels'
'Units'
                                                                             ,... % Einheit des Fenster
                                             , btnColor
                                                                              ,... % Hintergrundfarbe
           'Color'
          'Colormap'
                                             , []
                                                                               , . . . %
           'HandleVisibility' , 'on'
                                                                               ,... % Zugang zum Handle
           'IntegerHandle' , 'off'
                                                                              ,... % Art der Zahl(für Handle)
118
                                            , 'orr'
, 'none'
           'MenuBar'
                                                                               ,... % Menü
119
                                            , ['MAMS - last 15 min overview '
           'Name'
120
                                                   '(maximum value of all channels from',...
121
                                                ' the 1st DAQ-module/Master)' ],...
122
                                         , 'off' ,... % Anzeige der Figure-Zahl
        'NumberTitle'
123
                                            , figPos
          'Position'
                                                                              ,... % Fenster-Position
124
                                           'Pointer'
            'Tag'
126
```

```
, []
       'UserData'
127
                                               ,... % spezifische Daten-Matrix
                           , 'on'
                                               ); % Sichtbarkeit des GUI
       'Visible'
128
129
                       = 15; % maximal Zeitdauer der darzustellenden letzten
130 maxDur
                              % Aufnahme-Minuten
131
132
133 % Anzahl der Blöcke um die maxDur Minuten darzustellen
134 numPastSigBlocks = ...
       ceil((maxDur*60*aInput.daqSetup.sampleRate)/...
135
136
       aInput.daqSetup.blockLengthDAQ);
137 % Dauer eines DAQ-Blocks
138 dt
   aInput.daqSetup.blockLengthDAQ/aInput.daqSetup.sampleRate;
139
140 % Zeit-Vektor von -maxDur:0
                      = fliplr((-1*((0:numPastSigBlocks-1)*dt)))';
141 t
142 % Initialisierung der Kurve für die bisherige Datenerfassung
143 hPastSigPlot = plot(t,zeros(numPastSigBlocks,1));
144 % Initialisierung des Past-Signal-Zähler
145 pastSignalCounter = 0;
147 title('signal overview', 'FontSize', 26);
148 xlabel('last acquired max samples [min]');
149 ylabel('max signal level [dBSPL]');
150 set (gca, ...
                  , 'On'
      'XGrid'
151
                                                                    , . . .
152
                                                                    , . . .
                   , (-maxDur : 2.5:0) * 60
153
       'XTickLabel', {'-15';'-12.5';'-10';'-7.5';'-5';'-2.5';'0'}
154
       'YGrid' , 'On'
                  , [40,140]
       'YLim'
156
                , 40:20:140);
       'YTick'
157
158 %-----
159 %% Menu-Elemente initialisieren
160 displayGuiTextInfo(aInput.hInfoText,10);
161 % Initialisierung des Menüs-----
162 \text{ hMenu}(1) = uimenu(...
       'Parent', aInput.hMamsGui
163
                                               , . . .
       'Label', 'File');
164
165 hMenu(2) = uimenu(hMenu(1)
                                               , . . .
      'Accelerator' , 'q'
                                               , . . .
       'Callback' , 'close_callback(gcbf)',...
'Label' 'Close''
                       , 'Close');
       'Label'
169 hMenu(3) = uimenu(...
   'Label' , 'Calibration'
170
                                               , . . .
                       , aInput.hMamsGui);
       'Parent'
171
172 hMenu(4) = uimenu(...
     'Accelerator' ,'v'
173
                                               , . . .
                     , 'displayGuiMicInfo'
       'Callback'
174
                                               , . . .
      'Label' , 'view microphone data',...
'Parent' , hMenu(3));
175
                       , hMenu(3));
177 hMenu(5) = uimenu(...
       'Accelerator' , 'e'
                     , 'editMicrophoneData' ,...
178
       'Callback'
179
       'Label'
                      , 'edit microphone data',...
180
                       , hMenu(3));
181
182 hMenu(6) = uimenu(...
       'Callback' , 'calibrateMic(gcbf)' ,...
'Label' , 'calibrate Microphone',...
'Parent' , hMenu(3));
183
184
185
```

```
188 %% Darstellung der aktiven Modul-Fenster
189 % Unterscheidung nach Anzahl der DAQ-Module
190 switch aInput.daqSetup.numDaqModules
       case 1
191
            % Aktivieren des Master-Modul Fenster-----
192
            set (hAxes(1),...
193
                'FontSize' , fontSize,...
194
                           , 'On',...
                'XGrid'
                             , 'On');
                'YGrid'
            xlabel(hAxes(1) , '\rightarrow samples [-]');
197
            ylabel(hAxes(1) , '\rightarrow sound level [dBSPL]');
title(hAxes(1) , 'Master (Ch01-Ch04)');
199
            % Deaktivieren des übrigen Fenster---
200
            set(hLine(:,2) , 'Visible','Off');
201
            set(hSubPlot(3) , 'Visible','Off');
202
            set(hLine(:,3) , 'Visible','Off');
203
            set(hSubPlot(5) , 'Visible','Off');
204
            set(hLine(:,4) , 'Visible','Off');
205
            set(hSubPlot(6), 'Visible','Off');
207
            % Aktivieren des Master-Modul Fenster-----
208
209
            set (hAxes(1),...
                'FontSize' , fontSize,...
210
                         , 'On',...
                'XGrid'
211
                             , 'On');
                'YGrid'
212
            xlabel(hAxes(1) , '\rightarrow samples [-]');
213
            ylabel(hAxes(1) , '\rightarrow sound level [dBSPL]');
214
            title(hAxes(1) , 'Master (Ch01-Ch04)');
215
            % Aktivieren des Slavel-Modul Fenster----
216
            set (hAxes(2),...
                'FontSize' , fontSize,...
218
                          , 'On',...
, 'On');
                'XGrid'
219
                'YGrid'
220
            xlabel(hAxes(2) , '\rightarrow samples [-]');
221
            ylabel(hAxes(2) , '\rightarrow sound level [dBSPL]');
222
            title(hAxes(2) , 'Slave1 (Ch05-Ch08)');
223
            % Deaktivieren des übrigen Fenster--
224
            set(hLine(:,3) , 'Visible','Off');
225
            set(hSubPlot(5) , 'Visible','Off');
226
            set(hLine(:,4) , 'Visible','Off');
227
            set(hSubPlot(6) , 'Visible','Off');
228
229
       case 3
            % Aktivieren des Master-Modul Fenster-----
230
231
            set(hAxes(1),...
                'FontSize' , fontSize,...
232
                          , 'On',...
                'XGrid'
233
                             , 'On');
                'YGrid'
234
            xlabel(hAxes(1) , '\rightarrow samples [-]');
235
            ylabel(hAxes(1) , '\rightarrow sound level [dBSPL]');
236
            title(hAxes(1) , 'Master (Ch01-Ch04)');
237
            % Aktivieren des Slavel-Modul Fenster----
            set(hAxes(2),...
239
                'FontSize' , fontSize,...
240
                          , 'On',...
, 'On');
241
                'XGrid'
                'YGrid'
242
            xlabel(hAxes(2) , '\rightarrow samples [-]');
243
            ylabel(hAxes(2) , '\rightarrow sound level [dBSPL]');
title(hAxes(2) , 'Slavel (Ch05-Ch08)');
244
245
            % Aktivieren des Slave2-Modul Fenster----
246
247
            set (hAxes(3),...
                'FontSize' , fontSize,...
```

```
'XGrid' , 'On',...
'YGrid' , 'On');
249
                             , 'On');
250
            xlabel(hAxes(3) , '\rightarrow samples [-]');
251
            ylabel(hAxes(3) , '\rightarrow sound level [dBSPL]');
252
            title(hAxes(3) , 'Slave2 (Ch09-Ch12)');
253
            % Deaktivieren des übrigen Fenster---
254
            set(hLine(:,4) , 'Visible','Off');
255
            set(hSubPlot(6) , 'Visible','Off');
        case 4
257
258
            % Aktivieren des Master-Modul Fenster-----
259
            set (hAxes(1),...
                'FontSize' , fontSize,...
260
                          , 'On',...
, 'On');
                 'XGrid'
261
                'YGrid'
262
            xlabel(hAxes(1) , '\rightarrow samples [-]');
263
            ylabel(hAxes(1) , '\rightarrow sound level [dBSPL]');
264
            title(hAxes(1) , 'Master (Ch01-Ch04)');
265
            % Aktivieren des Slavel-Modul Fenster----
            set (hAxes(2),...
                'FontSize' , fontSize,...
                         , 'On',...
                 'XGrid'
269
                             , 'On');
                'YGrid'
270
            xlabel(hAxes(2) , '\rightarrow samples [-]');
271
            ylabel(hAxes(2) , '\rightarrow sound level [dBSPL]');
272
            title(hAxes(2) , 'Slave1 (Ch05-Ch08)');
273
            % Aktivieren des Slave2-Modul Fenster----
274
275
            set (hAxes(3),...
                'FontSize' , fontSize,...
276
                           , 'On',...
                'XGrid'
                             , 'On');
                'YGrid'
            xlabel(hAxes(3) , '\rightarrow samples [-]');
279
            ylabel(hAxes(3) , '\rightarrow sound level [dBSPL]');
280
            title(hAxes(3) , 'Slave2 (Ch09-Ch12)');
281
            % Aktivieren des Slave3-Modul Fenster----
282
            set (hAxes(4),...
283
                'FontSize' , fontSize,...
284
                         , 'On',...
, 'On');
                'XGrid'
285
                'YGrid'
286
            xlabel(hAxes(4) , '\rightarrow samples [-]');
ylabel(hAxes(4) , '\rightarrow sound level [dBSPL]');
            title(hAxes(4) , 'Slave3 (Ch13-Ch16)');
289
290 end
292 %% Wegschreiben der Ergebnisse
293 Out hAxes
                            = hAxes;
294 out.hLine
                             = hLine;
295 out.hMenu
                            = hMenu;
                            = hSubplot;
296 out.hSubplot
297 out.hPastSignalGui = hPastSignalGui;
298 out.hPastSigPlot = hPastSigPlot;
299 out.pastSignalCounter = pastSignalCounter;
300 %-----
301 end
```

```
1 function keyEvent_callback(gcobject)
2 %------
3 % Schnittstellenbeschreibung
4 %
5 % Autor: Rick Plescher, 30.04.2015
```

```
6 %
7 % Funktionsaufruf:
                         startStop_callback(gcobject)
8 %
                         Die Funktion wird beim Drücken des
9 % Fkt.-beschreibung:
10 %
                         Start/Stop-Button in der Main-GUI ausgeführt. Sie
                         steuert im Wesentlichen den Ablauf der Messung.
11 응
12 응
13 % Eingabe:
14 % gcobject:
                         handle der Figures, welches diese Funktion
15 %
                         aufgerufen hat.
16 %
                         - keine Ausgabe -
17 % Ausgabe:
18 %
19 %
20 % sontiges:
21 %-----
22 %% Intialisierung
23 % Einlesen objekt-spezifischen Daten des MAMS-GUI
24 userData = get(gcobject, 'UserData');
25 % Einlesen der letzten vom Benutzer eingegebenen Taste
26 eventKey = get(gcobject, 'CurrentCharacter');
27 %-----
28 %% Programmcode
29 % Abfrage welchen Status die Datenerfassung gerade hat und ob mit einem
30 % Druck auf die Leertaste ' ' der Status geändert werden soll.
31 % userData.daqState = 'Start':= Die Datenerfassung ist bereit zu aufnehmen,
                                ist aber nicht aktiv.
33 % userData.daqState = 'Stop' := Die Datenerfassung ist aktiv und wird mit
                                 einem Druck auf die Leertaste beendet
34 %
36 if (strcmp(userData.daqState,'Start')&& strcmp(eventKey,' '));
      userData.daqState = 'Stop'; % Status-Wechsel
37
      set(gcobject,'Color',[0.8,1,0.8]); % neue Hintergrundfrabe der MAMS-GUI
38
      % Initialisieren des Plot für die letzten Minuten der
39
      % Signalaufzeichnung
40
      resetOverallSignal = get (userData.hPastSigPlot, 'YData');
41
      set (userData.hPastSigPlot,...
42
          'YData' , zeros(size(resetOverallSignal)));
43
44
45
      46
      readMicInput.file = fullfile(cd,'microphoneData.mat');
      readMicInput.header
47
                            = true;
      userData.microphoneData = readMicrophoneData(readMicInput);
48
      49
50
      \mbox{\ensuremath{\$}} Erzeugung des Datums-String für die Log-Files
51
      userData.dateStr = datestr(now, 30);
52
53
      % Switch-Abfrage für die Unterscheidung der ANzahl der
54
      % angeschlossenenen Module
55
      switch userData.numDaqModules
          case 1 % Ein Modul angeschlossen: Master
              % Einstellen des Sync-Modus des Master-Module
              set(userData.master, 'SyncMode' , 'Master');
59
              % Einstellen des Log-FileName und der Callback-Funktion
60
              set (userData.master,...
61
                  'LogFileName'
62
                      fullfile(userData.folderStr,...
63
                      'DAQSession_Master', userData.dateStr),...
64
                  'SamplesAcquiredFcn' , {@plotData1,gcobject});
65
              % Aktualisierung des neuen GUI-Name
```

```
67
            set (gcobject,...
                'Name', ...
68
                ['Graphical User Interface - ',...
69
                 'Mobile Array Measurement System (MAMS)-',...
70
                userData.dateStr]);
71
            % Aktualisierung des neuen Speichernamen und Speichern der
72
            % Mikrofondaten
73
            saveMicDataInput.saveFileStr=...
74
                fullfile (userData.folderStr, ...
                   'DAQSession_MicrophoneData', [userData.dateStr,'.mat']);
76
            saveMicDataInput.header
                                  = true; % Speichern mit Header
77
            saveDAQMicrophoneData(saveMicDataInput);
78
            79
            80
81
            start (userData.master);
            82
            % Auslesen der relevanten DAQ-Parameter
83
84
            tmp.dateStr
                             = userData.dateStr;
            tmp.eventKey
85
                             = eventKev;
            tmp.blockLengthDAQ = userData.blockLengthDAQ;
86
            tmp.sampleRate = userData.sampleRate;
87
            set (userData.hInfoText, 'Userdata', tmp);
88
            % Aktualisierung des DAQ-Infofenster in der GUI
89
            displayGuiTextInfo(userData.hInfoText,12);
90
         case 2 % Zwei Module angeschlossen: Master-Slave1
91
            % Einstellen des Sync-Modus der DAQ-Module
92
            set(userData.master, 'SyncMode' , 'Master');
93
            set(userData.slave1, 'SyncMode', 'Slave');
94
            95
            % Einstellen des Log-FileName und der Callback-Funktion
            set (userData.slave1,...
97
98
                'LogFileName'
                   fullfile(userData.folderStr,...
99
                   'DAQSession_Slave1', userData.dateStr),...
100
                'SamplesAcquiredFcn'
                                     , {@plotData2,gcobject});
101
            set (userData.master,...
102
                'LogFileName'
103
                                       , ...
                   fullfile(userData.folderStr,...
104
                   'DAQSession_Master', userData.dateStr),...
                'SamplesAcquiredFcn'
                                   , {@plotData1,gcobject});
            108
            % Aktualisierung des neuen GUI-Name
109
            set (gcobject,...
                'Name',['Graphical User Interface -',...
110
                ' Mobile Array Measurement System (MAMS)-',...
111
                userData.dateStr]);
112
            113
114
            % Aktualisierung des neuen Speichernamen und Speichern der
115
            % Mikrofondaten
            saveMicDataInput.saveFileStr=...
116
                fullfile(userData.folderStr,...
117
                'DAQSession_MicrophoneData', [userData.dateStr, '.mat']);
118
119
            saveMicDataInput.header
                                  = true; % Speichern mit Header
120
            saveDAQMicrophoneData(saveMicDataInput);
            121
            122
            start (userData.slave1);
123
            start (userData.master);
124
            125
            % Auslesen der relevanten DAQ-Parameter
                           = userData.dateStr;
            tmp.dateStr
```

```
tmp.eventKey
128
                                = eventKev;
              tmp.blockLengthDAQ = userData.blockLengthDAQ;
129
              tmp.sampleRate
                                = userData.sampleRate;
130
131
              set (userData.hInfoText, 'Userdata', tmp);
132
              % Aktualisierung des DAQ-Infofenster in der GUI
133
              displayGuiTextInfo(userData.hInfoText,12);
134
          case 3 % Drei Module angeschlossen: Master-Slave1-Slave2
              % Einstellen des Sync-Modus der DAQ-Module
              set(userData.master, 'SyncMode' , 'Master');
137
              set(userData.slave1, 'SyncMode' , 'Slave');
138
              set (userData.slave2, 'SyncMode', 'Slave');
139
              140
              % Einstellen des Log-FileName und der Callback-Funktion
141
              set (userData.slave2,...
142
                  'LogFileName'
143
                                            , ...
                      fullfile (userData.folderStr,...
144
                      'DAQSession_Slave2', userData.dateStr),...
145
                                            , {@plotData3,gcobject});
                  'SamplesAcquiredFcn'
146
              set (userData.slave1,...
147
                  'LogFileName'
148
                     fullfile(userData.folderStr,...
149
                      'DAQSession_Slavel', userData.dateStr),...
150
                  'SamplesAcquiredFcn'
                                            , {@plotData2,gcobject});
151
              set (userData.master,...
152
                  'LogFileName'
153
                     fullfile (userData.folderStr,...
154
155
                      'DAQSession_Master', userData.dateStr),...
                                          , {@plotData1,gcobject});
                  'SamplesAcquiredFcn'
              % Aktualisierung des neuen GUI-Name
159
              set (acobject,...
                  'Name', ['Graphical User Interface -',...
160
                  ' Mobile Array Measurement System (MAMS)-',...
161
                  userData.dateStrl):
162
              163
              % Aktualisierung des neuen Speichernamen und Speichern der
164
              % Mikrofondaten
165
166
              saveMicDataInput.saveFileStr=...
167
                  fullfile(userData.folderStr,...
                  'DAQSession_MicrophoneData', [userData.dateStr, '.mat']);
169
              saveMicDataInput.header
                                     = true; % Speichern mit Header
170
              saveDAQMicrophoneData(saveMicDataInput);
              171
              172
              start (userData.slave2):
173
              start (userData.slave1);
174
              start (userData.master);
175
              176
              % Auslesen der relevanten DAQ-Parameter
              tmp.dateStr
                                = userData.dateStr;
              tmp.eventKey
                                = eventKey;
179
              tmp.blockLengthDAQ = userData.blockLengthDAQ;
180
181
              tmp.sampleRate
                                = userData.sampleRate;
              set (userData.hInfoText, 'Userdata', tmp);
182
              % Aktualisierung des DAQ-Infofenster in der GUI
183
              displayGuiTextInfo(userData.hInfoText, 12);
184
          case 4 % Vier Module angeschlossen: Master-Slave1-Slave2-Slave3
185
              % Einstellen des Sync-Modus der DAQ-Module
186
              set(userData.master, 'SyncMode' , 'Master');
set(userData.slave1, 'SyncMode' , 'Slave');
```

```
set(userData.slave2, 'SyncMode', 'Slave');
189
             set(userData.slave3, 'SyncMode', 'Slave');
190
             191
             % Einstellen des Log-FileName und der Callback-Funktion
192
             set (userData.slave3,...
193
194
                  'LogFileName'
195
                     fullfile(userData.folderStr,...
                     'DAQSession_Slave3', userData.dateStr),...
                 'SamplesAcquiredFcn'
                                          , {@plotData4,gcobject});
             set (userData.slave2,...
198
                 'LogFileName'
199
                     fullfile(userData.folderStr,...
200
                     'DAQSession_Slave2',userData.dateStr),...
201
                                          , {@plotData3,gcobject});
                 'SamplesAcquiredFcn'
202
             set (userData.slave1,...
203
                  'LogFileName'
204
                     fullfile(userData.folderStr,...
205
                     'DAQSession_Slave1', userData.dateStr),...
                                          , {@plotData2,gcobject});
                 'SamplesAcquiredFcn'
             set (userData.master,...
                 'LogFileName'
209
210
                     fullfile(userData.folderStr,...
                     'DAQSession_Master',userData.dateStr),...
211
                 'SamplesAcquiredFcn'
                                          , {@plotData1,gcobject});
212
             213
214
             % Aktualisierung des neuen GUI-Name
215
             set (gcobject, ...
216
                 'Name', ['Graphical User Interface -',...
                 ' Mobile Array Measurement System (MAMS)-',...
                 userData.dateStr]);
             219
             % Aktualisierung des neuen Speichernamen und Speichern der
220
221
             % Mikrofondaten
             saveMicDataInput.saveFileStr=...
222
                 fullfile(userData.folderStr,...
223
                 'DAQSession_MicrophoneData', [userData.dateStr,'.mat']);
224
             saveMicDataInput.header
                                      = true;
225
             saveDAQMicrophoneData(saveMicDataInput);
226
              start (userData.slave3);
230
             start (userData.slave2);
231
             start (userData.slave1);
232
             start (userData.master);
             233
             % Auslesen der relevanten DAQ-Parameter
234
                               = userData.dateStr;
             tmp.dateStr
235
             tmp.eventKey
                               = eventKey;
236
237
             tmp.blockLengthDAQ = userData.blockLengthDAQ;
                               = userData.sampleRate;
             tmp.sampleRate
             set (userData.hInfoText, 'Userdata', tmp);
             % Aktualisierung des DAQ-Infofenster in der GUI
240
241
             displayGuiTextInfo(userData.hInfoText,12);
242
      end
243
      % Wenn der DAQ-Statuts auf Stop steht und die Leertaste gedrückt wurde
244
      % werden die laufenden Module gestoppt
245
246 elseif (strcmp(userData.daqState, 'Stop')&& strcmp(eventKey, ' '))
      % Aktualisierung der Hintergrundfarbe
247
      set(gcobject, 'Color', [1,0.8,0.8]);
248
      userData.daqState = 'Start'; % Wechsel des DAQ Status auf Bereitschaft
```

```
% für eine weitere DAQ-Session
250
       % Switch-Abfrage zum Stoppen der DAQ-Module in Abhängikeit der Anzahl
251
       % der bereits angemeldeten Module
252
       % Das Master-Module wird immer als erstes gestoppt
253
       switch userData.numDagModules
254
            case 1
255
                stop(userData.master);
256
257
            case 2
                stop(userData.master);
                stop(userData.slave1);
259
            case 3
260
                stop(userData.master);
261
                stop(userData.slave1);
262
                stop(userData.slave2);
263
           case 4
264
                stop(userData.master);
265
266
                stop(userData.slave1);
                stop(userData.slave2);
267
                stop(userData.slave3);
       end
269
       % Aktualisierung des DAQ-Infofenster
270
       displayGuiTextInfo(userData.hInfoText,11);
271
       % Zurücksetzen des Zähler des bisherigen Signalverlaufs
272
       userData.pastSignalCounter = 0;
273
274 end
275
276 % Wenn die Datenerfassung noch aktive ist und ein Key-Evvent erfolgt wird
277 % die Tastatureingabe aufgezeichnet
278 if (strcmp(userData.daqState, 'Stop'))
       try % Prüfen ob bereits ein Event-Log angelegt wurde
279
            tmp
                    = load(...
280
                fullfile(...
281
                    userData.folderStr, 'DAQSession_LogData',...
282
                    [userData.dateStr,'.mat']),'eventLog');
283
            eventLog= tmp.eventLog;
284
       catch % Wenn kein Event-Log angelegt wurde, wird eines jetzt mit Header
285
              % angelegt
286
            eventLog = {'time Stamp (UTC)', 'event Number'};
287
288
            save(fullfile(userData.folderStr,'DAQSession_LogData',...
                [userData.dateStr,'.mat']),'eventLog');
       end
       % Alle Tastatureingaben außßer der Leertaste werden als Event-Log
291
       % Eintrag aufgezeichnet
292
       % Platzhalter: An dieser Stelle ist eine weitere Einschränkung der
293
       % zulässigen Event-Key Log Bereichs durch die Abfrage möglich z.B. nur
294
       % a-z und/oder A-Z und/oder 0-9 ...
295
       if (strcmp(eventKey,' ')==0)
296
            % Erstellung des neuen Event-Key Stempel
297
                    = {datestr(now, 30), ['Event ''', eventKey, '''']};
298
            % Kaskadierung des neuen mit den alten Stemple
299
            eventLog= [eventLog;tmp];
301
302
            % Erstellung eines String für die MAMS-GUI
303
            eventString = {[tmp{2},' logged at '];tmp{1};' (UTC)'};
            % Wegschreiben der Ergebnisse in die MAMS-GUI
304
                                             = userData.dateStr;
            displayUserData.dateStr
305
            displayUserData.eventString
                                             = eventString;
306
            displayUserData.blockLengthDAQ = userData.blockLengthDAQ;
307
            displayUserData.sampleRate
                                             = userData.sampleRate;
308
            % Aktualiseirung des Info-Fenster
            set (userData.hInfoText, 'Userdata', displayUserData);
```

```
1 function loadPresetMicData_mouseCallback(~,~,aTableHandle)
3 % Schnittstellenbeschreibung
5 % Autor:
                        Rick Plescher, 30.04.2015
6 %
7 % Funktionsaufruf:
                       loadPresetMicData_mouseCallback(~,~,aTableHandle)
9 % Fkt.-beschreibung: Lädt auf Mausklick ein Preset (nur auf den Button)
10 %
11 % Eingabe:
12 %
     aTable
                         Handle ur MicDataTabelle
13 %
14 % Ausgabe:
                         indrekt übner neue microphoneData.mat
15
16
17 % sontiges:
18 % notwendige Funktion: readMicrophoneData
19 %-----
20 %% Programmcode
21 [fileName, pathName] = uigetfile(...
      '.mat',...
22
      'Please choose a microphone setup file',...
23
      'MultiSelect' , 'Off');
24
26 if fileName ~=0
27
      readMicInput.file = fullfile([pathName, fileName]);
28
      readMicInput.header = true;
29
      microphoneData = readMicrophoneData(readMicInput);
30
      set (aTableHandle, 'Data', microphoneData(2:end, 4:end));
31
32
      save(fullfile(cd, 'microphoneData.mat'), 'microphoneData');
33
34 else
      warndlg('No new Mic-Preset loaded!');
35
36 end
38 %% Wegschreiben der Ergebnisse
40 %---
41 end
```

```
1 function loadSavePresetMicData_keyCallback(obj,~,aTableHandle)
2 %-------
3 % Schnittstellenbeschreibung
4 %
```

```
Rick Plescher, 30.04.2015
5 % Autor:
6 %
7 % Funktionsaufruf:
                          loadSavePresetMicData_keyCallback
8 %
9 % Fkt.-beschreibung:
                          Speichert/lädt die Mikrofoneinstellungen
10 %
11 % Eingabe:
12 % aTabelHandle:
                          Handle zu Tabelle der editMicrphoneData()-funktion
                           keine direkte
14 % Ausgabe:
15 %
                           indirekt wird eine neues Setup gespeichert7geladen.
16 %
17 %
18 % sontiges:
19 % notwendige Funktion: readMicrophoneData
20 %--
21
22 %% Intialisierung
23
25 %% Überprüfung der Eingabe-Parameter
26
27 %-----
28 %% Programmcode
29 if (strcmp(get(obj,'CurrentCharacter'),'l'))
      [fileName, pathName] = uigetfile(...
30
31
           '.mat',...
           'Please choose a microphone setup file',...
32
          'MultiSelect' , 'Off');
33
     readMicInput.file = fullfile([pathName, fileName]);
35
      readMicInput.header = true;
36
      microphoneData = readMicrophoneData(readMicInput);
37
38
      set (aTableHandle, 'Data', microphoneData(2:end, 4:end));
39
40 end
41
42 if (strcmp(get(obj,'CurrentCharacter'),'s'))
43
      [fileName, pathName] = uiputfile(...
           '.mat',...
44
           'Please save your new microphone setup file');
45
46
47
      microphoneItems = { ...
                           ,'Ch-Num'
           'Num' ,'Ch-Num' ,'HwCh-Num' ,'Model',...
'Serialnumber' ,'Sensitivity' ,'Last Calibration'};
           'Num'
48
49
50
                      = get (aTableHandle, 'Data');
      data
51
      tmp
                     = cell(size(data,1),7);
52
      for n = 1:size(data,1)
53
          tmp(n,:)
           {n, n, mod (n-1, 4), data{n, 1}, data{n, 2}, data{n, 3}, data{n, 4}};
57
      microphoneData = [microphoneItems;tmp];
58
      save([pathName, fileName], 'microphoneData');
59 end
60 %----
61 %% Wegschreiben der Ergebnisse
62
63
```

```
2 clc; % Löschen de Einträge des 'Command Window'
3 dagreset; % entfernt alle geladene DLL, Mex-Files und DAQ-Objekte
4 clear all; % Löscht alle Variablen aus den Arbeitsspeicher
5 close all; % Schließt alle Fenster
6 %-----
7 %% Initialisierung der Haupt-GUI
8 set(0,'Units','pixels'); % Einheit der Main-GUI in Pixel setzen
9 screenUnits = get(0,'Units'); % Speichern der Bildschirmeinheit
10 screenSize = get(0, 'ScreenSize'); % Abfrage der Bildschirmgröße
12 figWidth = screenSize(3)/2; % Definition der Fensterbreite
13 figHeight = screenSize(4)-100; % Definition der Fensterhöhe
14 figPos = ... % Definition der Fensterposition
    [screenSize(3)/2, 40 \dots
      figWidth , figHeight];
17
18 btnColor = [1,1,1]; % Definition der Hintergrundfarbe der Main-GUI
19
      units' , 'pixels' 'Color'
20 hMamsGui = figure(... % Definition des Main-GUI Fensters
'Units'
                        , btnColor
22
                                                          , . . .
      'DeleteFcn'
      'Colormap'
23
                                                         , . . .
      'DeleteFcn' , 'close_callback(gcbf)'
'HandleVisibility' , 'on'
'KeyPressFcn' , 'keyEvent_callback(gcbf)'
24
                                                          , . . .
25
26
      'MenuBar' , 'none'
                                                          , . . .
                         , ['Graphical User Interface -'
      'Name'
                                                          , . . .
      ' Mobile Array Measurement System (MAMS)']
29
                                                          , . . .
     'NumberTitle' , 'off'
30
                                                          , . . .
30 'Numberlitle' , 'oll'
31 'Pointer' , 'arrow'
32 'Position' , figPos
33 'Tag' , 'Main-GUI'
34 'UserData' , []
35 'Visible' , 'On'
                                                          , . . .
                                                          , . . .
                                                          , . . .
                                                          , . . .
                                                          );
36 % subplot 231: Info Fenster-----
37 hInfo = subplot(2,3,1); % Subplot-Fenster erzeugen
38 hInfoAxe = gca; % aktuelles Handle laden
39 hInfoText = text(-0.6,0.8,'','FontSize',12); % Text-Objekt erzeugen
41 set(hInfo,'Visible','Off'); % Sichtbarkeit des Fenster ausstellen
42 set(hInfoAxe,'Visible','Off'); % Sichtbarkeit der Achse ausstellen
43
44 displayGuiTextInfo(hInfoText,01); % Ausgabe eines Info-Nachricht
45 %-----
46 %% Auswahl des Mikrofon-Setup
47 editMicrophoneData() % Benutzer nach Mikrofon-Setup fragen
49 %% Intialisierung der Module
50 % Definition der Eingabe-Struktur zur Intialisierung der DAQ-Module
51 daqSetupInput.hInfoText = hInfoText;
52 daqSetupInput.hMamsGui = hMamsGui;
53 % Funktionsaufruf zur Intialisierung der DAQ-Module
                      = initDaqSetup(daqSetupInput);
54 daqSetup
55 %-----
56 %% Initialisierung der Subplots
57 % Definition der Eingabe-Struktur zur Intialisierung der Fenster
58 figureSetupInput.hMamsGui = hMamsGui;
59 figureSetupInput.hInfoText = hInfoText;
60 figureSetupInput.daqSetup = daqSetup;
```

```
61 % Funktionsaufruf zur initialisierung der GUI-Fenster
62 figSetup
                      = initFigureSetup(figureSetupInput);
63 %-----
                  _____
64 %% Definition des UserData-Struktur
65 % Die Userdata-Struktur der Main-GUI enthält alle Informationen und
66 % Daten während einer laufenden Messungen.
68 % Daten die in dieser Datei erzeugt wurden-----
69 userData.hInfo = hInfo; % Handle des Info-Fenster
                       = hInfoAxe; % Handle der Achsen
= hInfoText;% Handle des Info-Text-Anzeige
70 userData.hInfoAxe
71 userData.hInfoText
72 %------
73 % Daten die in der initDaqSetup-Dunktion erzeugt wurden-----
74 userData.blockLengthDAQ = dagSetup.blockLengthDAQ;
75 % Dateipfad der zu speichernden Datei
76 userData.folderStr = daqSetup.folderStr;
77 % Index des Modules, welches als Master definiert wurde
78 userData.masterIdx = daqSetup.masterIdx;
79 % Zell-Struktur mit Mikrofon-Daten
80 userData.microphoneData = daqSetup.microphoneData;
81 % Namen der DAQ-Module
                          = daqSetup.moduleString;
82 userData.moduleString
83 % Anzahl der aktive Kanäle
84 userData.numActiveChannels = daqSetup.numActiveChannels;
85 % Anzahl der DAO-Module
86 userData.numDagModules
                         = daqSetup.numDaqModules;
87 % Abtastrate der DAQ-Module
88 userData.sampleRate = dagSetup.sampleRate;
89 % Vektor mit den Indizes der Slave-DAQ-Module
90 userData.slaveIdx = daqSetup.slaveIdx;
91 % Auswahl des angeschlossenen DAQ-Module
92 switch userData.numDaqModules
93
    case 1
                          = daqSetup.master;
       userData.master
94
     case 2
95
                          = daqSetup.master;
       userData.master
96
         userData.slave1
                           = daqSetup.slave1;
97
     case 3
98
99
         userData.master
                           = daqSetup.master;
         userData.slave1
                           = daqSetup.slave1;
         userData.slave2
                           = daqSetup.slave2;
102
     case 4
                          = daqSetup.master;
103
       userData.master
                          = daqSetup.slave1;
         userData.slave1
104
        userData.slave2 = daqSetup.slave2;
105
         userData.slave3
                          = daqSetup.slave3;
106
107 end
109 % Daten die in der initFigureSetup erzeugt wurden--------
110 % Handle der Subplot-Achsen
III userData.hAxes
                           = figSetup.hAxes;
112 % Handle der Signal-Pegel-Darstellung
113 userData.hLine
                           = figSetup.hLine;
114 % Handle des Main-Gui-Menus
115 userData.hMenu
                          = figSetup.hMenu;
116 % Handle der Subplots
userData.hSubplot = figSetup.hSubplot;
118 % Handle der Past-Signal-Kurve
userData.hPastSigPlot = figSetup.hPastSigPlot;
120 % Handle Past-Signal-Overview
userData.hPastSignalGui = figSetup.hPastSignalGui;
```

```
1 function plotData1(aObject,~, gcobject)
3 % Schnittstellenbeschreibung
4 %
                        Rick Plescher, 30.04.2015
5 % Autor:
7 % Funktionsaufruf:
                       plotData1(obj,~, gcobject)
9 % Fkt.-beschreibung: Diese Funktion wird immer ausgeführt wenn der
                        SamplesAcquiredFcnCount des Master-Modul erreicht
11 %
                         wird. Es wird das Fenster mit den Signalen des
12 %
                         Master-Modul aktualisiert und in dieser Funktion
13 %
                         zusätzlich das Fenster mit dem bisherigen
                         Signalverlauf aktualsiert wird
14 %
15 %
16 % Eingabe:
17 % aObject
                        : Objekt-Handle zu dem Master-Module mit seinen
18 %
                          aktuellen Daten und EInstellungen
19 %
20
  % Ausgabe:
                        keine direkte Ausgabe
21
22 %
23 % sontiges:
                         Zum korrekten Ablauf ist die Function calcSPl.m
24 %
25 %
                         notwendig. Außerdem muss das Fenster des bisherigen
26 %
                         Signalverlaufs geöffnet sein.
27 %-----
28 %% Programmcode
29 % Einlesen der aktuellen Daten
30 userData = get(gcobject, 'UserData');
31 % Einlesen der aktuellen Mikrofondaten
32 readMicInput.file = fullfile(fullfile(cd,'microphoneData.mat'));
33 readMicInput.header = false;
34 userData.microphoneData = readMicrophoneData(readMicInput);
36 % Abfrage ob das Master-Module immer noch aktiv ist
37 if isrunning(aObject)
     data
                         = ... % Vorrausschau der aktuellen erfassten Daten
38
         peekdata(userData.master, userData.master.SamplesAcquiredFcnCount);
39
     numActivechannels = ... % Ermittlung der aktuell angemeldeten Kanäle
40
        size(get(get(userData.master, 'Channel'), 'HwChannel'), 1);
41
42
      % Schleife zur Berechnung des pegelrichtige Zeitsignals
     for n = 1:numActivechannels % Schleife maximal 1 bis 4
44
         calcSplInput.signal = data(:,n);
```

```
46
           calcSplInput.sensitivity= userData.microphoneData{n,6};
           set(userData.hLine(n,1) , 'YData', calcSpl(calcSplInput));
47
48
       end
49
       % Darstellung des bisherigen Signalverlauf (jeweils das Maximum
50
       % des Master-Modul)
51
       if (userData.pastSignalCounter < ...</pre>
52
               length(get(userData.hPastSigPlot,'YData')))
53
           % Inkrementieren des Signalverlauf-Zähler
                                            = ...
           userData.pastSignalCounter
               userData.pastSignalCounter+1;
           % Ermittlung des größten Amplitudenwertes aller Kanäle des
57
           % Master-Moduls
58
           t.mpMax
59
                                             =...
               max(max(get(userData.hLine(1,1),'YData')));
60
           % Einlesen des bisherigen Signalverlaufs
61
62
               get (userData.hPastSigPlot, 'YData');
63
           % Setzen des neuen Wertes für den bisherigen Signalverlauf
64
           tmp(userData.pastSignalCounter) = tmpMax;
65
           % Aktualisierung des bisherigen Signalverlauf
66
           set (userData.hPastSigPlot, 'YData', tmp);
67
       else % Wenn der Zähler größer ist als die Länge des darzustellenden
68
            % Signalverlaufs werden nur die letzten aktuellen Daten
69
            % dargestellt. DEFAULT-Einstellung: Nur die letzten 15 Minuten
70
           % Ermittlung des größten Amplitudenwertes aller Kanäle des
71
           % Master-Moduls
72
73
           tmpMax
               max(max(get(userData.hLine(1,1),'YData')));
74
           % Einlesen des bisherigen Signalverlaufs
               get (userData.hPastSigPlot, 'YData');
77
           % Setzen des neuen Wertes für den bisherigen Signalverlauf
78
           tmpShifted
79
               [tmp(2:end),tmpMax];
80
           % Aktualisierung des bisherigen Signalverlauf
81
           set (userData.hPastSigPlot, 'YData', tmpShifted);
82
       end
83
84
       % legendString
                            = get(userData.master.Channel,'ChannelName');
       % legend(userData.hAxes(1),legendString);
       % set(userDatahLine(:,1),...
            'Visible','On');
88
       % set(hAxes(1),...
89
            'Visible','On');
       9
90
91
       drawnow:
92
       %% Wegschreiben der Ergebnisse
93
       set (gcobject, 'UserData', userData);
94
95 end
```

```
function plotData2(obj,~,gcobject)
%------
3 % Schnittstellenbeschreibung
4 %
5 % Autor: Rick Plescher, 30.04.2015
6 %
7 % Funktionsaufruf: plotData2(obj,~, gcobject)
8 %
```

```
Diese Funktion wird immer ausgeführt wenn der
9 % Fkt.-beschreibung:
10 %
                          SamplesAcquiredFcnCount des Slave1-Modul erreicht
11 %
                          wird.
12 %
13 % Eingabe:
                         : Objekt-Handle zu dem Slavel-Module mit seinen
14 % aObject
                           aktuellen Daten und EInstellungen
15 %
16 %
17 % Ausgabe:
                         keine direkte Ausgabe
18 %
19 %
20 % sontiges:
21 응
                          Zum korrekten Ablauf ist die Function calcSPl.m
22 응
                          notwendig. Außerdem muss das Fenster des bisherigen
                          Signalverlaufs geöffnet sein.
23
24 %-
25 %% Programmcode
26 % Einlesen der aktuellen Daten
27 userData = get(gcobject, 'UserData');
28 % Einlesen der aktuellen Mikrofondaten
29 readMicInput.file = fullfile(fullfile(cd,'microphoneData.mat'));
30 readMicInput.header = false;
31 userData.microphoneData = readMicrophoneData(readMicInput);
33 % Abfrage ob das Master-Module immer noch aktiv ist
34 if isrunning(obj)
35
                          = ... % Vorausschau der aktuellen erfassten Daten
          peekdata(userData.slave1, userData.slave1.SamplesAcquiredFcnCount);
36
      numActivechannels = ... % Ermittlung der aktuell angemeldeten Kanäle
         size(get(get(userData.slave1, 'Channel'), 'HwChannel'), 1);
39
      % Schleife zur Berechnung des pegelrichtige Zeitsignals
40
      for n = 1:numActivechannels % Schleife maximal 1 bis 4
41
          calcSplInput.signal = data(:,n);
42
          calcSplInput.sensitivity= userData.microphoneData{n+4,6};
43
          set(userData.hLine(n,2) , 'YData', calcSpl(calcSplInput));
44
      end
45
46 end
47 drawnow;
49 end
```

```
1 function plotData3(obj,~,gcobject)
3 % Schnittstellenbeschreibung
5 % Autor:
                         Rick Plescher, 30.04.2015
6 %
7 % Funktionsaufruf:
                        plotData3(obj,~, gcobject)
8 %
9 % Fkt.-beschreibung: Diese Funktion wird immer ausgeführt wenn der
10 %
                          SamplesAcquiredFcnCount des Slave3-Modul erreicht
11 %
                          wird.
12 %
13 % Eingabe:
14 % aObject
                          : Objekt-Handle zu dem Slave3-Module mit seinen
15 %
                            aktuellen Daten und EInstellungen
16 %
17 % Ausgabe:
                         keine direkte Ausgabe
```

```
18 %
19 %
20 % sontiges:
                         Zum korrekten Ablauf ist die Function calcSPl.m
21 응
22 %
                         notwendig. Außerdem muss das Fenster des bisherigen
23 응
                         Signalverlaufs geöffnet sein.
25 %% Programmcode
26 % Einlesen der aktuellen Daten
27 userData = get(gcobject, 'UserData');
28 % Einlesen der aktuellen Mikrofondaten
29 readMicInput.file = fullfile(fullfile(cd,'microphoneData.mat'));
30 readMicInput.header = false;
userData.microphoneData = readMicrophoneData(readMicInput);
33 % Abfrage ob das Master-Module immer noch aktiv ist
34 if isrunning(obj)
                         = ...% Vorrausschau der aktuellen erfassten Daten
35
          peekdata(userData.slave2, userData.slave2.SamplesAcquiredFcnCount);
      numActivechannels = ... % Ermittlung der aktuell angemeldeten Kanäle
37
        size(get(get(userData.slave2, 'Channel'), 'HwChannel'), 1);
38
39
     % Schleife zur Berechnung des pegelrichtige Zeitsignals
40
     for n = 1:numActivechannels % Schleife maximal 1 bis 4
41
          calcSplInput.signal = data(:,n);
42
          calcSplInput.sensitivity= userData.microphoneData{n+8,6};
43
          set(userData.hLine(n,3) , 'YData',calcSpl(calcSplInput));
44
45
      end
46 end
47 drawnow;
48 end
```

```
1 function plotData4(obj,~,gcobject)
  §_____
  % Schnittstellenbeschreibung
4 %
                         Rick Plescher, 30.04.2015
5 % Autor:
6 %
7 % Funktionsaufruf: plotData4(obj,~, gcobject)
8 %
9 % Fkt.-beschreibung: Diese Funktion wird immer ausgeführt wenn der
10 %
                         SamplesAcquiredFcnCount des Slave4-Modul erreicht
11 %
                          wird.
12 %
13 % Eingabe:
14 % aObject
                          : Objekt-Handle zu dem Slave4-Module mit seinen
15 %
                           aktuellen Daten und EInstellungen
16 %
                         keine direkte Ausgabe
17 % Ausgabe:
18 %
19 %
20 % sontiges:
21 %
                          Zum korrekten Ablauf ist die Function calcSPl.m
22 %
                         notwendig. Außerdem muss das Fenster des bisherigen
                         Signalverlaufs geöffnet sein.
23 %
25 %% Programmcode
26 % Einlesen der aktuellen Daten
27 userData = get(gcobject, 'UserData');
```

```
28 % Einlesen der aktuellen Mikrofondaten
29 readMicInput.file = fullfile(fullfile(cd,'microphoneData.mat'));
                       = false;
30 readMicInput.header
31 userData.microphoneData = readMicrophoneData(readMicInput);
33 % Abfrage ob das Master-Module immer noch aktiv ist
34 if isrunning(obj)
                        = ...% Vorrausschau der aktuellen erfassten Daten
      data
         peekdata(userData.slave3, userData.slave3.SamplesAcquiredFcnCount);
36
      numActivechannels = ... % Ermittlung der aktuell angemeldeten Kanäle
37
       size(get(get(userData.slave3,'Channel'),'HwChannel'),1);
39
      % Schleife zur Berechnung des pegelrichtige Zeitsignals
40
      for n = 1:numActivechannels % Schleife maximal 1 bis 4
41
         calcSplInput.signal = data(:,n);
42
         calcSplInput.sensitivity= userData.microphoneData{n+12,6};
43
         set(userData.hLine(n,4) , 'YData',calcSpl(calcSplInput));
44
45
46 end
47 drawnow;
48 end
```

```
1 function microphoneData = readMicrophoneData(aInput)
2 %-----
3 % Schnittstellenbeschreibung
4 %
5 % Autor:
                       Rick Plescher, 30.04.2015
6 %
7 % Funktionsaufruf: microphoneData = readMicrophoneData(aInput)
8 %
9 % Fkt.-beschreibung: Die Funktion liest die Daten der aktuell
10 응
                        eingestellten Mikrofone ein. Es ist möglich die
11 %
                        Daten mit oder ohne Header einzulesen.
12 %
13 % Eingabe:
14 % aInput.
15 % .file
                       : String mit dem Speicherort der
16 %
                         Mikrofondaten-Datei
                        : Stellt ein Flag zu Abfrage des Headers dar. Kann
17 응
     .header
18 %
                          die Werte 'true' oder 'false' haben
19 %
20 % Ausgabe:
    microphoneData : Cell-Array mit den Daten über alle aktuell
21
                         hinterlegten Mikrofone
24 % sontiges:
25 %
26 %-----
27 %% Programmcode
28 if aInput.header
     tmp = load(aInput.file); % Laden des aktuellen Mikrofon-Files
29
30
      microphoneData = tmp.microphoneData; % Einlesen der Mikrofondaten
                                       % inklusive Header
31
32 else
33
     tmp = load(aInput.file); % Laden des akutellen Mikrofon-Files
34
     microphoneData = tmp.microphoneData(2:end,:); % Einlesen der Daten ohne
                                                % Header
35
36 end
```

```
1 function refreshMicData_callback(aTableHandle,aTableInfo)
2 %-----
3
  % Schnittstellenbeschreibung
4 %
                        Rick Plescher, 30.04.2015
5 % Autor:
6 %
7 % Funktionsaufruf: refreshMicData_callback(aTableHandle,aTableInfo)
8 %
9 % Fkt.-beschreibung: Die Funktion ist ein Callback der
10 %
                        editMicrophoneData.m Funktion, wenn die
11 %
                        Seriennummer in der Tabelle geändert wurden.
12 %
13 % Eingabe:
                     : Struktur mit Informationen über die geänderte
14 % aTableInfo
15 %
                         Tabellen-Zelle
16 % .EditData
                       : Wert der editierten Tabellen-Zelle
17 % .Indices
                       : Vektor mit der relativen Position des editierten
18 %
                         Tabellen-Elements innerhalb der Tabelle
19 %
20 % Ausgabe:
                        keine direkte Ausgabe.
21 %
                        Nach Aufruf der Funktion wird die
22 %
                        microphoneData.mat im aktuellen Pfad mit den neuen
23 %
                        Daten aktualisiert
24 %
25 % sontiges:
                        Der Aufruf kann nur als Callback erfolgen und es
26 %
                        muss eine microphoneData.mat Datei im aktuellen
27 %
                        Pfad liegen.
29 %-----
30 %% Einlesen der Mikrofondaten der gesamten Datenbank
31 readMicInput.file = ...
  fullfile(cd,'microphoneDatabase','completeMicDatabase-DO NOT EDIT.mat');
33 readMicInput.header = true;
34
35 microphoneData = readMicrophoneData(readMicInput);
36 % Die Daten der Struktur microphoneData enthalten hier den Header mit den
37 % Items. Daher liegen die Daten der Mikrofone in den Zeilen 2:end
38 %-----
39 %% Programmcode
40 % Schleife über die Gesamt-Mikrofondatenbank
41 for n =2:size(microphoneData, 1)
      % Abfrage ob das editierte Element gleich einem Element in der
42
      % Datenbank ist.
43
     if (strcmp (microphoneData{n, 5}, aTableInfo.EditData))
44
         % Laden der editierten Tabelle
45
         oldTableData
                                              = get (aTableHandle, 'Data');
46
         % Initialisierung der neuen Tabellen-Matrix
47
         newTableData
                                              = oldTableData;
48
         % Einfügen der neuen editierten Daten in der Tabellen-Matrix++++++
49
         % Aktualisierung der Modell-Bezeichnung
50
         newTableData(aTableInfo.Indices(1),1) = microphoneData(n,4);
51
         % Aktualisierung des Mikrofon-Übertragungsfaktor
52
         newTableData(aTableInfo.Indices(1),3) = microphoneData(n,6);
53
         % Aktualisierung des Datums des Mikrofon-Übertragungsfaktor
54
         newTableData(aTableInfo.Indices(1),4) = microphoneData(n,7);
55
         56
         % Aktualisierung der Tabellen-Daten
57
         set (aTableHandle, 'Data', newTableData);
58
      elseif(strcmp(aTableInfo.EditData,' ')) % kein Mikrofon vorhanden
         % Laden der editierten Tabelle
```

```
oldTableData
61
                                               = get(aTableHandle, 'Data');
         % Initialisierung der neuen Tabellen-Matrix
62
         newTableData
                                               = oldTableData:
63
          % Einfügen der neuen editierten Daten in der Tabellen-Matrix++++++
64
         % Aktualisierung der Modell-Bezeichnung
65
         newTableData(aTableInfo.Indices(1),1)
                                               = { ' ' };
66
          % Aktualisierung des Mikrofon-Übertragungsfaktor
67
          newTableData(aTableInfo.Indices(1),3) = {NaN};
         % Aktualisierung des Datums des Mikrofon-Übertragungsfaktor
          newTableData(aTableInfo.Indices(1),4) = {' '};
         71
         % Aktualisierung der Tabellen-Daten
72
         set (aTableHandle, 'Data', newTableData);
73
74
      end
75 end
76
77 % Neue Initialisierung der Tabelle mit den neuen Daten und dem Header
78 tmp = cell(size(newTableData,1),7);
79 for n = 1:size(newTableData,1)
      tmp(n,:) = \dots
                            ,... % Lfd. Nr.
81
         { n
                            ,... % Kanalzahl
82
          n
                            ,... % Hardware-Kanalzahl
          mod(n-1,4)
83
          newTableData{n,1} ,... % Modell-Bezeichnung
84
         newTableData{n,2} ,... % Seriennummer
85
         newTableData{n,3} ,... % Mikrofon-Übertragungsfaktor
86
          87
88 end
90 % Header
91 microphoneItems = { ...
                                       ,'HwCh-Num' ,'Model',...
         'Num' ,'Ch-Num' ,'HwCh-Num' ,'Model',
'Serialnumber' ,'Sensitivity' ,'Last Calibration'};
         'Num'
93
94 microphoneData = [microphoneItems;tmp];
95 %-----
96 %% Wegschreiben der Ergebnisse
97 save(fullfile(cd, filesep, 'microphoneData.mat'), 'microphoneData');
99 end
```

```
1 function saveDAQMicrophoneData(aInput)
3 % Schnittstellenbeschreibung
5 % Autor:
                        Rick Plescher, 30.04.2015
6 %
7 % Funktionsaufruf:
                       saveDAQMicrophoneData(aInput)
8 %
9 % Fkt.-beschreibung: Soeichert die aktuelle Mikrofoneinstellung als mat
                         im cd Ordner
10 응
11 %
12 % Eingabe:
13 % aInput:
                     Mit oder ohne Grßenbeschreibung
      .header:
14 %
                        Speicherpfad
15 %
          .file:
17 %
18 % Ausgabe:
19 %
```

```
20 %
21 % sontiges:
22 %
23 %-----
24 %% Programmcode
25 if aInput.header
                          = fullfile(cd,'microphoneData.mat');
    readMicInput.file
26
     readMicInput.header = aInput.header;
    microphoneData
                           = readMicrophoneData(readMicInput);
29
    save(fullfile(aInput.saveFileStr) ,'microphoneData');
     save(fullfile(cd,'microphoneData.mat') ,'microphoneData');
31
     readMicInput.header = fullfile(cd, 'microphoneData.mat');
microphoneData = fullfile(cd, 'microphoneData.mat');
= aInput.header;
= road***
32 else
  readMicInput.file
33
34
35
36
   37
38
39 end
40 %-----
41 %% Wegschreiben der Ergebnisse
42
43 %-----
```

```
1 function savePresetMicData_mouseCallback(~,~,aTableHandle)
2 %-----
3 % Schnittstellenbeschreibung
4 %
                       Rick Plescher, 30.04.2015
5 % Autor:
6 %
7 % Funktionsaufruf: savePresetMicData_mouseCallback(~,~,aTableHandle)
8 %
9 % Fkt.-beschreibung: Speichert die in der aktuelle Mikrofontabelle
10 %
                        hinterlegt sind.
11 %
12 % Eingabe:
13 % aTabelHandle: Handle zu Tabelle der editMicrphoneData()-funktion
14 %
15 % Ausgabe:
                       keine direkte
16 %
                        indirekt wird eine neues Setup gespeichert.
17 %
18 %
19 % sontiges:
20 %
21 %-----
22 %% Programmcode
23 [fileName, pathName] = uiputfile(...
    '.mat',...
24
         'Please save your new microphone setup file');
25
26
     microphoneItems = { ...
27
                       ,'Ch-Num' ,'HwCh-Num','Model',...
         'Num'
28
          'Serialnumber' ,'Sensitivity' ,'Last Calibration'};
29
     if fileName~=0
30
                    = get(aTableHandle, 'Data');
31
                   = cell(size(data,1),7);
32
     for n = 1:size(data,1)
33
34
        tmp(n,:)
```

```
{n,n,mod(n-1,4),data{n,1},data{n,2},data{n,3},data{n,4}};
35
       end
36
      microphoneData = [microphoneItems;tmp];
37
38
      save([pathName, fileName], 'microphoneData');
39
40
41
      delete(aTableHandle);
42
           warndlg('No new Mic-Preset saved!');
44
46 %% Wegschreiben der Ergebnisse
47 %---
48 end
```